

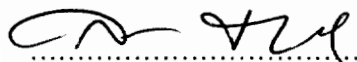
การศึกษาปัจจัยที่ส่งผลต่อความเรียนผิวและการสืบทรอดของมีดกลึง  
ในการกลึงเหล็กเครื่องมือ

นายปัญญาคม เจริญไชย ก.อ.บ. (เครื่องมือกล)

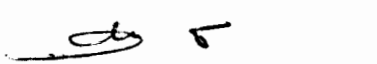
วิทยานิพนธ์นี้ เป็นส่วนหนึ่งของการศึกษาตามหลักสูตร  
ปริญญาครุศาสตร์อุตสาหกรรมมหาบัณฑิต สาขาวิชากรรมอุตสาหการ  
คณะครุศาสตร์อุตสาหกรรมและเทคโนโลยี  
มหาวิทยาลัยเทคโนโลยีพระจอมเกล้าธนบุรี

พ.ศ. 2549

คณะกรรมการสอบวิทยานิพนธ์

  
(ผศ. ดร. สมภพ ตั้นบันแก้ว)

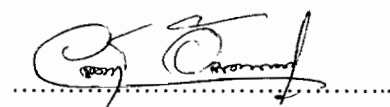
ประธานกรรมการสอบวิทยานิพนธ์

  
(ผศ. ดร. สิทธิชัย แก้วเกี้ยว)

กรรมการ

  
(ผศ. คณสัน พิรภัทรศิลป์)

กรรมการ

  
(ดร. อนุศิษฐ์ อันนาะตระกูล)

กรรมการ

ลิขสิทธิ์ของมหาวิทยาลัยเทคโนโลยีพระจอมเกล้าธนบุรี

หัวข้อวิทยานิพนธ์	การศึกษาปัจจัยที่ส่งผลต่อความเรียบผิวและการสักหรือของมีดกลึง ในการกลึงเหล็กเครื่องมือ
หน่วยกิต	6
ผู้เขียน	นายปัญญาคม เจริญไชย
อาจารย์ที่ปรึกษา	ผศ. ดร.สิทธิชัย แก้วเกื้อภูต ผศ. คอมสัน จิระภัทรศิลป
หลักสูตร	ครุศาสตร์อุตสาหกรรมนา้มันพืช
สาขาวิชา	วิศวกรรมอุตสาหการ
ภาควิชา	ครุศาสตร์อุตสาหการ
คณะ	ครุศาสตร์อุตสาหกรรมและเทคโนโลยี
พ.ศ.	2549

### บทคัดย่อ

การวิจัยครั้งนี้มีวัตถุประสงค์เพื่อศึกษาเปรียบเทียบอิทธิพลของน้ำมันพืชและน้ำมันหล่อลื่นชนิดผสมน้ำที่มีต่องานกลึงเหล็กเครื่องมือ ศึกษาปัจจัยที่มีผลกระทบต่อความเรียบผิวและการสักหรือของมีดกลึง โดยใช้วิธีการกลึงปอกผิวชิ้นงาน มีปัจจัยที่เกี่ยวข้องประกอบด้วย สารหล่อลื่นเย็น ความเร็วตัด และอัตราป้อน ตัวแปรตามคือคุณภาพของผิวงาน และการสักหรือของมีดกลึง เครื่องมือที่ใช้ในการทดลองประกอบด้วย เครื่องกลึงยันศูนย์ เวอร์เนียร์คัลิปเปอร์ เครื่องทดสอบหาค่าความเรียบผิว และอุปกรณ์ทางนาคารสักหรือของคอมตัดมีดกลึง ชิ้นงานทดลองคือ เหล็กเครื่องมือ AISI 4140 ผลการศึกษาพบว่า สารหล่อลื่นเย็น ไม่มีอิทธิพลต่อความเรียบผิว และการสักหรือของมีดกลึง ความเร็วตัดมีอิทธิพลต่อความเรียบผิว อย่างมีนัยสำคัญทางสถิติที่ระดับ 0.05 ความเร็วตัดมีอิทธิพลต่อการสักหรือของมีดกลึง อย่างมีนัยสำคัญทางสถิติที่ระดับ 0.01 อัตราป้อนมีอิทธิพลต่อความเรียบผิว และการสักหรือของมีดกลึง อย่างมีนัยสำคัญทางสถิติที่ระดับ 0.01

คำสำคัญ : น้ำมันพืช / น้ำมันหล่อลื่นชนิดผสมน้ำ / ความชุกระของพื้นผิว / การสักหรือ /  
อัตราป้อน

Thesis Title	The Study of Factors Affecting the Surface Smoothness and Tool Lathe Wear in Steel Turning
Thesis Credits	6
Candidate	Mr. Punyakom Jareanchai
Thesis Advisors	Asst.Prof. Dr. Sittichai Kaewkuekool Asst.Prof. Komson Jirapattarasilp
Program	Master of Science in Industrial Education
Field of Study	Production Engineering
Department	Production Technology Education
Faculty	Industrial Education and Technology
B.E.	2549

### Abstract

The objectives of this research were to study and compare the influence of vegetable oil and water soluble oil affecting to AISI 4140 steel turning in surface roughness and tool lathe wear. The factors studied were consisted of coolants, cutting speeds and feed rates. Dependent variables were the quality of surface turning by measuring surface roughness and tool lathe wear. The instruments used in the experiment were the center lathe, vernier caliper, surface roughness testing machine, and scanning electron microscope (SEM). The material used in the turning experiment was AISI 4140 steel. Results revealed that coolants had no affected influence to surface roughness and tool lathe wear. Cutting speeds were significantly affected to surface roughness at the level of 0.05, and to tool lathe wear at the level of 0.01. Finally, feed rates were significantly affected to surface roughness and tool lathe wear at the level of 0.01.

**Keyword :** Vegetable Oil / Water Soluble Oil / Surface Roughness / Tool Lathe Wear / Feed Rate

## กิตติกรรมประกาศ

การจัดทำวิทยานิพนธ์ในครั้งนี้ได้สำเร็จลุล่วงไปด้วยดี โดยได้รับความอนุเคราะห์และช่วยเหลือจาก ผศ. ดร.สิทธิชัย แก้วเกื้อกูล ที่ให้ความกรุณาเป็นประธานที่ปรึกษา ผศ. คณสัน จิระภัทรศิลป์ ให้ความกรุณาเป็นประธานที่ปรึกษาร่วม ซึ่งได้ให้คำแนะนำและชี้ข้อบกพร่องต่าง ๆ รวมทั้งตรวจสอบและแก้ไขเพื่อให้เกิดความสมบูรณ์และถูกต้องยิ่งขึ้น ขอขอบคุณ ผศ. ดร. สมกพ ตลอดแก้ว ที่ได้กรุณาเป็นประธานกรรมการวิทยานิพนธ์ และ ดร. อนุศิษย์ อันมานะตรากุล ที่กรุณาเป็นกรรมการสอบในครั้งนี้

ขอขอบคุณ อาจารย์ประพันธ์ ယาระ, อาจารย์สุเทพ คงทัน และ อาจารย์ชาญ ราชวงศ์ มหาวิทยาลัยเทคโนโลยีราชมงคลอีสาน วิทยาเขตขอนแก่น ที่อนุเคราะห์ให้ใช้ครุภัณฑ์ในการทำวิทยานิพนธ์ครั้งนี้ รวมทั้งบุคลากรอีกหลายคนที่ไม่ได้อ่านนาม และขอขอบคุณภาควิชาครุศาสตร์อุตสาหการ คณะครุศาสตร์อุตสาหกรรมและเทคโนโลยี มหาวิทยาลัยเทคโนโลยีพระจอมเกล้าธนบุรีที่สนับสนุนในการทำวิทยานิพนธ์ด้วย

สุดท้ายนี้ขอใช้งานวิทยานิพนธ์เล่มนี้ชี้แจงแทนความสำเร็จอีกกว่าหนึ่งเป็นการทดแทนพระคุณของบิดามารดา และ ครู อาจารย์ ผู้มีพระคุณทั้งหลาย ตลอดจนครอบครัวที่เคยให้กำลังใจและสนับสนุนต่อการศึกษาอย่างมั่นคงและสมำเสมอ จนทำให้งานวิทยานิพนธ์นี้เสร็จสมบูรณ์ด้วยดี

# สารบัญ

## หน้า

บทคัดย่อภาษาไทย	๔
บทคัดย่อภาษาอังกฤษ	๕
กิตติกรรมประกาศ	๖
สารบัญ	๗
รายการตาราง	๘
รายการรูปประกอบ	๙
รายการสัญลักษณ์	๑๐
ประมวลคำศัพท์และคำย่อ	๑๑

<b>1. บทนำ</b>	<b>1</b>
1.1 ความเป็นมา ความสำคัญและปัญหา (Research issue)	1
1.2 วัตถุประสงค์ของงานวิจัย (Objective)	1
1.3 สมมุติฐานของงานวิจัย (Hypothesis)	2
1.4 ประโยชน์ที่คาดว่าจะได้รับ	2
1.5 ขอบเขตของงานวิจัย	2
1.6 นิยามศัพท์	3
<b>2. ทฤษฎีและงานวิจัยที่เกี่ยวข้อง</b>	<b>5</b>
2.1 เทคโนโลยีงานผลิต (Production Technology)	5
2.2 น้ำมันหล่อลื่น	14
2.3 คุณภาพผิวงาน (Quality of Machine Surfaces)	24
2.4 การเกิดเศษโลหะจากการกลึงงานทั่วไป	27
2.5 การสึกหรอของเครื่องมือตัด (Tool Wear)	31
2.6 สถิติที่ใช้ในการวิเคราะห์	35
2.7 งานวิจัยที่เกี่ยวข้อง	38
<b>3. วิธีดำเนินการวิจัย</b>	<b>43</b>
3.1 ศึกษาข้อมูลของงานวิจัย	43

## สารบัญ (ต่อ)

	หน้า
3.2 วัสดุ อุปกรณ์ และเครื่องมือที่ใช้ในการทดลอง	44
3.3 ชิ้นงานและเครื่องมือตัด	46
3.4 ขั้นตอนในการเตรียมชิ้นงาน	47
3.5 ขั้นตอนการดำเนินการก่อนการทดลอง(Pilot Study)	48
3.6 ขั้นตอนการออกแบบการทดลอง	49
3.7 ขั้นตอนดำเนินการทดลอง	50
3.8 ขั้นตอนการทดลองและการเก็บรวบรวมข้อมูล	52
3.9 สถิติที่ใช้ในการวิเคราะห์ข้อมูล	53
<b>4. ผลการทดลองและวิเคราะห์ข้อมูล</b>	<b>54</b>
4.1 ผลการทดลองเบื้องต้น	54
4.2 ผลของการทดลอง	56
4.3 ปัจจัยของสารหล่อเย็น ความเร็วตัด และอัตราปืนอน ส่งผลต่อความเรียบผิวงานกลึง	57
4.4 ปัจจัยของสารหล่อเย็น ความเร็วตัด และอัตราปืนอน ส่งผลต่อการสึกหรอของมีดกลึง	62
<b>5. สรุปผลการวิจัยและข้อเสนอแนะ</b>	<b>70</b>
5.1 สรุปผลการทดลอง	70
5.2 อภิปรายผลการทดลอง	70
5.3 ข้อเสนอแนะ	72
<b>เอกสารอ้างอิง</b>	<b>73</b>
<b>ภาคผนวก</b>	
ก. ตารางบันทึกผลการทดลอง	77
ข. ตารางวิเคราะห์ผลข้อมูล	83
ค. ภาพประกอบขั้นตอนในการดำเนินงานวิจัย	93
<b>ประวัติผู้วิจัย</b>	<b>102</b>

## รายการตาราง

ตาราง	หน้า
2.1 มีดกลึงเหล็กเครื่องมือที่ใช้กลึงเหล็กเหนียวธรรมชาติ	11
2.2 สารประกอบที่สำคัญของน้ำมันหล่อลื่นชนิดน้ำมันล้วน	16
2.3 สารประกอบที่สำคัญของน้ำมันหล่อลื่นชนิดผสมน้ำ	17
2.4 ข้อแนะนำการตรวจสอบน้ำมันหล่อลื่นชนิดผสม	22
2.5 การวิเคราะห์ด้วย ANOVA	38
3.1 แผนการทดลองกำหนดให้เงื่อนไขละ 2 Replicates	49
3.2 การสุ่มเลือกชิ้นงานสำหรับการทดลอง	50
3.3 การเก็บผลการทดลอง	51
4.1 ระดับของคัวแปรและผลการทดลองเบื้องต้นของน้ำมันหล่อลื่นชนิดผสมน้ำ	54
4.2 ระดับของคัวแปรและผลที่ได้จากการทดลองเบื้องต้นของน้ำมันพืช	55
4.3 ข้อมูลค่าเฉลี่ยความเรียบของผิวงานกลึง ( $\mu\text{m}$ )	56
4.4 ข้อมูลค่าเฉลี่ยความสึกหรอของคนมีดกลึง ( $\mu\text{m}$ )	56
4.5 แสดงผลการวิเคราะห์ ANOVA ของคัวตัวแปรตอบสนองต่อความเรียบผิวงาน	58
4.6 แสดงความแตกต่างของระดับความเร็วตัด ที่มีอิทธิพลต่อความเรียบของผิวงานโดยวิธี LSD	59
4.7 สรุปผลการวิเคราะห์ความสัมพันธ์ของความเร็วตัดที่ระดับต่าง ๆ	59
4.8 แสดงความแตกต่างของระดับอัตราป้อน ที่มีอิทธิพลต่อความเรียบของผิวงานโดยวิธี LSD	60
4.9 สรุปผลการวิเคราะห์ความสัมพันธ์ของอัตราป้อนที่ระดับต่าง ๆ	60
4.10 แสดงผลการวิเคราะห์ ANOVA ของค่าตัวแปรตอบสนองต่อการสึกหรอของมีดกลึง	63
4.11 แสดงความแตกต่างของระดับความเร็วตัด ที่มีอิทธิพลต่อการสึกหรอของมีดกลึงโดยวิธี LSD	64
4.12 สรุปผลการวิเคราะห์ความสัมพันธ์ของความเร็วตัดที่ระดับต่าง ๆ	65
4.13 แสดงความแตกต่างของระดับอัตราป้อน ที่มีอิทธิพลต่อการสึกหรอของมีดกลึงโดยวิธี LSD	66
4.14 สรุปผลการวิเคราะห์ความสัมพันธ์ของอัตราป้อนที่ระดับต่าง ๆ	66

## รายการตาราง (ต่อ)

ตาราง	หน้า
ก.1 ลำดับการเก็บผลการทดลองที่ได้จากการสุ่มการทดลอง	78
ก.2 ลำดับการเก็บผลการทดลองที่ได้จากการสุ่มการทดลอง	79
ก.3 ลำดับการเก็บผลการทดลองที่ได้จากการสุ่มการทดลอง	80
ก.4 ลำดับการเก็บผลการทดลองที่ได้จากการสุ่มการทดลอง	81
ก.5 ข้อมูลค่าเฉลี่ยความเรียบของผิวงานกลึง ( $\mu\text{m}$ )	82
ก.6 ข้อมูลค่าเฉลี่ยความสึกหรอของคมมีดกลึง ( $\mu\text{m}$ )	82
ข.1 แสดงการวิเคราะห์ปัจจัยที่มีอิทธิพลต่อความเรียบของผิวงานกลึง	85
ข.2 ความแตกต่างของระดับความเร็วตัด ที่มีอิทธิพลต่อความเรียบของผิวงาน โดยวิธี LSD	85
ข.3 ความแตกต่างของระดับอัตราป้อน ที่มีอิทธิพลต่อความเรียบของผิวงาน โดยวิธี LSD	86
ข.4 แสดงการวิเคราะห์ปัจจัยที่มีอิทธิพลต่อการสึกหรอของมีดกลึง	86
ข.5 แสดงความแตกต่างของระดับความเร็วตัด ที่มีอิทธิพลต่อการสึกหรอของมีดกลึง โดยวิธี LSD	87
ข.6 แสดงความแตกต่างของระดับอัตราป้อน ที่มีอิทธิพลต่อการสึกหรอของมีดกลึง โดยวิธี LSD	87

## รายการรูปประกอบ

รูป	หน้า
2.1 ชนิดของเศษโลหะ	6
2.2 เศษกลึงที่เกิดเป็นชิ้นเลื่อน	6
2.3 คมมีดกลึง	7
2.4 นูนตั้งมีด	9
2.5 แรงตัด	9
2.6 พิกัดอุณหภูมิงานกลึง	11
2.7 กระบวนการปาดผิวโลหะต่างๆ	12
2.8 แรงจับยึดชิ้นงานให้มั่นคง	14
2.9 ภาพสามมิติผิวงานหลังการตัดเฉือนและภาพด้านข้างผิวงาน	24
2.10 ภาพขยายลักษณะผิวงานที่เกิดจากการตัดเฉือนด้วยมีดกลึงแบบปลายมน (Single Point Radius Tool)	26
2.11 ลักษณะผิวงานที่เกิดจากการตัดเฉือนด้วยมีดกลึงแบบปลายแหลม (Single Point Tool)	26
2.12 ลักษณะผิวงานที่เกิดจากการตัดเฉือนด้วยมีดกลึงปลายแบบคอมเพล็ก	27
2.13 แสดงลักษณะของเศษแบบต่าง ๆ	29
2.14 แสดงขั้นตอนการเย็บติดที่คุมตัด	30
2.15 แสดงการเกิดเศษโลหะไม่ต่อเนื่อง	30
2.16 ปรากฏการณ์ในการเกิดการสึกหรอของเครื่องมือตัด	32
2.17 การเปลี่ยนแปลงความลึกของแอล์ KT และความกว้าง KB ต่อหน่วยเวลา	33
2.18 (a) รูปทรงเรขาคณิตอย่างง่ายของแอล์ (b) นูนในการเจริญเติบโตของแอล์	34
2.19 การทดลองร่วมปัจจัยของการออกแบบ $3^2$	37
2.20 การทดลองร่วมปัจจัยของการออกแบบ $3^2$ ในลักษณะ 3 มิติ	37
3.1 หล่อเย็นสำหรับการทดลอง (a) น้ำมันพืช (b) น้ำมันหล่อเย็นชนิดผสมน้ำ	43
3.2 เครื่องกลึงยันศูนย์ (Center Lathe)	44
3.3 เครื่องทดสอบหาค่าความแข็ง	44
3.4 อุปกรณ์สำหรับการวัดขนาดความเรียบผิวงาน	45
3.5 อุปกรณ์ทางนาคการสึกหรอของคมตัดมีดกลึง	45
3.6 เครื่องลับนูนมีดขันสำเร็จ	46

## รายการรูปประกอบ (ต่อ)

รูป

หน้า

3.7 การเตรียมชิ้นงานทดสอบ	47
3.8 มีดกลึงสำหรับการทดสอบ	47
3.9 การวัดหาค่าความเรียบผิวงานกลึง	52
3.10 การวัดหาค่าการสึกหรอของมีดกลึง	52
4.1 กราฟแสดงการแจกแจงของข้อมูลแบบปกติของความเรียบผิว	57
4.2 กราฟแสดงความแตกต่างของระดับความเร็วตัด ที่มีอิทธิพลต่อกำลังเรียบของผิวงาน	59
4.3 กราฟแสดงความแตกต่างของระดับอัตราปืน ที่มีอิทธิพลต่อกำลังเรียบของผิวงาน	61
4.4 กราฟแสดงอิทธิพลร่วม (Interaction) ของสารหล่อเย็นที่มีความสัมพันธ์กับ ความเร็วตัดส่งผลกระทบต่อกำลังเรียบของผิวงาน	61
4.5 กราฟแสดงการแจกแจงปกติค่าความคลาดเคลื่อน ความขรุขระของผิวงานกลึง (Surface Roughness)	62
4.6 กราฟแสดงการแจกแจงข้อมูลแบบปกติของการสึกหรอของมีดกลึง	63
4.7 กราฟแสดงความแตกต่างของระดับความเร็วตัด ที่มีอิทธิพลต่อการสึกหรอของ มีดกลึง	65
4.8 กราฟแสดงความแตกต่างของระดับอัตราปืน ที่มีอิทธิพลต่อการสึกหรอของมีดกลึง	67
4.9 กราฟแสดงอิทธิพลร่วม (Interaction) ของ สารหล่อเย็น*ความเร็วตัด ที่มีอิทธิพล ต่อการสึกหรอของมีดกลึง	67
4.10 กราฟแสดงอิทธิพลร่วม (Interaction) ของ ความเร็วตัด*อัตราปืน ที่มีอิทธิพล ต่อการสึกหรอของมีดกลึง	68
4.11 แสดงการทดสอบการแจกแจงปกติค่าความคลาดเคลื่อนของค่าการสึกหรอ ของมีดกลึง (Tool Wear)	69
4.1 กราฟแสดงข้อมูลความเรียบของผิวงานกลึง เป็นการแจกแจงแบบปกติ ค่า P-Value มากกว่า 0.05	84
4.2 กราฟแสดงข้อมูลการสึกหรอของมีดกลึง เป็นการแจกแจงแบบปกติ ค่า P-Value มากกว่า 0.05	84
4.3 กราฟแสดงการแจกแจงปกติ ค่าความคลาดเคลื่อนของ ความขรุขระ ค่า P-Value มากกว่า 0.05	88

## รายการรูปประกอบ (ต่อ)

รูป	หน้า
ฯ.4 กราฟแสดงการแยกแข่งข้อมูลแบบปกติ ค่าความคลาดเคลื่อนของการสึกหรอของมีดกลึง ค่า P-Value มากกว่า 0.05	88
ฯ.5 แสดงปัจจัยหลัก (Main effect) ที่มีอิทธิพลต่อการสึกหรอของมีดกลึง	89
ฯ.6 แสดงปัจจัยหลัก (Main effect) ที่มีอิทธิพลต่อความเรียบของผิวงานกลึง	89
ฯ.7 แสดงปัจจัยร่วม (Interaction) ที่มีอิทธิพลต่อการสึกหรอของมีดกลึง	90
ฯ.8 แสดงปัจจัยร่วม (Interaction) ที่มีอิทธิพลต่อความเรียบของผิวงานกลึง	90
ค.1 ลับมีดกลึง HSS ให้ได้มุมดังนี้ มุมพรีค้านข้าง(Side Relieve Angle, $\alpha$ ) 8 องศา, มุมลิ่ม (Wedge Angle, $\beta$ ) 70 องศา, มุม cavity slope 12 องศา และมุมพรีค้านหน้า (End flank) 8 องศา	94
ค.2 การลับมีดกลึงให้ได้มุมตามที่กำหนดไว้ในการทดลอง	94
ค.3 มีดกลึงที่ลับเสร็จแล้ว	94
ค.4 สารหล่อเย็นที่ใช้ในการทดลอง (1) น้ำมันพืช, (2) น้ำมันหล่อเย็น และ น้ำมันหล่อเย็นผสมกับน้ำสะอาดในอัตราส่วน 1:20	95
ค.5 ผิวของชิ้นงานจากการทดลองเบื้องต้น (1) $V = 40 \text{ m/min}$ , $F = 0.1 \text{ mm/round}$ (2) $V = 40 \text{ m/min}$ , $F = 0.2 \text{ mm/round}$ , $V = 40 \text{ m/min}$ , $F = 0.3 \text{ mm/round}$ ป้อนลีก 1 นม. หล่อเย็นด้วยน้ำมันหล่อเย็นชนิดผสมน้ำ	95
ค.6 ผิวของชิ้นงานจากการทดลองเบื้องต้น (1) $V = 40 \text{ m/min}$ , $F = 0.1 \text{ mm/round}$ (2) $V = 40 \text{ m/min}$ , $F = 0.2 \text{ mm/round}$ , $V = 40 \text{ m/min}$ , $F = 0.3 \text{ mm/round}$ ป้อนลีก 1 นม. หล่อเย็นด้วยน้ำมันพืช	95
ค.7 ชิ้นงานที่ถูกเตรียมไว้สำหรับการทดลอง	96
ค.8 ตั้งระบบมีดกลึงโดยใช้ Filler gauge สำหรับการป้อนลีก 1 นม.	96
ค.9 การกลึงงานเมื่อหล่อเย็นด้วยน้ำมันพืช	96
ค.10 การกลึงงานเมื่อหล่อเย็นด้วยน้ำมันหล่อเย็นชนิดผสมน้ำ	97
ค.11 ชิ้นงานที่ถูกกลึงตามเงื่อนไขการทดลองเดิม	97
ค.12 เตรียมวัดความเรียบผิวชิ้นงาน	97
ค.13 ลักษณะของแผ่นเทียบผิวมาตรฐานขนาด $R_a = 2.95 \mu\text{m}$ .	98
ค.14 การปรับเทียบเครื่องวัดค่าความเรียบของพื้นผิวกับแผ่นมาตรฐาน	98

## รายการรูปประกอบ (ต่อ)

รูป

หน้า

ค.15 วัดค่าความเรียบของพื้นผิวงานกลึงที่ตำแหน่งแรก	98
ค.16 วัดค่าความเรียบของพื้นผิวงานกลึงที่ตำแหน่งที่สอง	99
ค.17 เครื่องทดสอบความแข็งแบบ Rockwell scale C	99
ค.18 ทดสอบหาค่าความแข็งของชิ้นงานมีความแข็งที่ 27-30 HR <sub>C</sub>	99
ค.19 ทดสอบหาค่าความแข็งของมีดกลึง ทดสอบได้ 58-62 HR <sub>C</sub>	100
ค.20 เครื่องทดสอบหาค่าส่วนผสมของชิ้นงาน	100
ค.21 ชิ้นงานมีส่วนผสมประกอบด้วย Fe = 97.3329 %, S = 0.011 %, C = 0.396 %, Cr = 0.915 %, Si = 0.215 %, Ni = 0.120 %, Sn = 0.011 %, Mn = 0.634 %, Mo = 0.157 %, Al = 0.019 %, Cu = 0.167 % และอื่นๆ = 0.0221 %	101
ค.22 เครื่องวัดค่าการสึกหรอของมีดกลึง	101
ค.23 การสึกหรอของมีดกลึง และตำแหน่งการวัดความลึกการสึกหรอคุณภาพมีดกลึง	101

## รายการสัญลักษณ์

$d$	=	ความลึกในการปีอน
$f$	=	อัตราปีอน
P-Value	=	ค่าความน่าจะเป็นทางสถิติ
$r_c$	=	รัศมีปลายเครื่องมือตัด
$s$	=	ความเร็วตัด
$S$	=	ค่าเบี้ยงเบนมาตรฐาน
$V$	=	ความเร็วตัด
$\bar{X}$	=	ค่าเฉลี่ยของกลุ่มตัวอย่าง
$\beta^k$	=	การออกแบบเชิงแฟกตอร์เรียล
$\alpha$	=	นัยสำคัญทางสถิติ
$\mu$	=	ค่าเฉลี่ยของประชากร
$\rho$	=	แผนกรตั้งสมมติฐานทางสถิติ
$\sigma$	=	ความแปรปรวนของประชากร
$\sum$	=	การรวมข้อมูลทางตัวเลข
$\lambda$	=	ช่วงความยาวรอยตัด/ช่วงความยาวเศษกลึง
$\alpha$	=	มุมฟรี
$\beta$	=	มุมลิม
$\gamma$	=	มุมคาย
$\delta$	=	มุมตัด
$n$	=	ความเร็วอบ
$s$	=	ช่วงปีอนมีด
$a$	=	ระยะที่กัดมีดลึก
$\phi$	=	มุมคมตัดด้านข้าง (Side Cutting Edge Angle) ของ Scha
$\phi_1$	=	มุมคมตัดปลายมีด (End Cutting Edge Angle) ของ Scha
$R$	=	รัศมีปลายคมตัด (มิลลิเมตร)

## ประมวลคำศัพท์และคำย่อ

Production Technology	=	เทคโนโลยีงานผลิต
Production Technology	=	เทคโนโลยีงานผลิต
Manufacturing Process	=	กระบวนการผลิต
Emulsifiable or Water Soluble	=	น้ำมันหล่อลื่นชนิดผสมน้ำ
Emulsifier	=	สารตัวทำลาย
Tramp Oil	=	น้ำมันปนเปื้อน
Quality of Machine Surfaces	=	คุณภาพผิวงาน
Surface	=	ผิวงาน
Drawing	=	รูปภาพ
Profile	=	รูปทรงผิว
Roughness	=	ความหยาบของผิว
Waviness	=	คลื่นของผิวงาน
Flaw	=	ฟลอ
Lay	=	เลเย่
Built Up Edge	=	BUE
Single Point Radius Tool	=	มีดกลึงปลายมน
Single Point Turning Tool	=	มีดกลึงแบบปลายแหลม
Complex Point Tool	=	มีดกลึงปลายคอมเพล็ก
Guard	=	อุปกรณ์ป้องกัน
Shearing Process	=	กระบวนการตัดเนื้อง
Friction Process	=	กระบวนการความผิด
Continuous Chips	=	เศษโลหะต่อเนื่อง
Primary Deformation Zone	=	เขตการแปรรูปหลัก
Secondary Deformation Zone	=	เขตการแปรรูปรอง
Continuous Chips with built-up Edge	=	เศษโลหะต่อเนื่องที่มีการเข้มติดที่คมตัด
Critical Size	=	ขนาดวิกฤต
Discontinuous Chip	=	เศษโลหะไม่ต่อเนื่อง
Tool Wear	=	การสึกหรอของเครื่องมือตัด
Rake Face	=	ผิวภายใน

## ประมวลคำศัพท์และคำย่อ (ต่อ)

Flank	=	ผิวหลบด้านข้าง
Flank Face	=	ผิวหลบด้านข้าง
High Speed Steel	=	เครื่องมือตัดที่เป็นเหล็กรอบสูง
Crater Wear	=	การลึกหรอแบบแอล์บิวนผิวคาย
Major Cutting Edge	=	คมตัดหลัก
Parameters	=	ตัวแปร
Cutting Edge Chipping	=	การพอกหน้ามีด
Plastic Deformation	=	การเปลี่ยนรูปร่างจากการหลอมละลาย
Measure of Variability	=	การวัดการกระจายของข้อมูล
Standard Deviation	=	ส่วนเบี่ยงเบนมาตรฐาน
Orthogonal	=	รูปแบบในเชิงตั้งฉาก
Experiments Research	=	การวิจัยเชิงทดลอง
Center Lathe for Experimental	=	เครื่องกลึงยันศูนย์สำหรับการทดลอง
Hardness Testing Machine	=	เครื่องทดสอบหาค่าความแข็ง
Calibrate	=	การสอบเทียบ
Reference Surface	=	ผิวงานอ้างอิงมาตรฐาน
Finish Tool Grinding Machine	=	เครื่องกลับมุนนีดชน์สำเร็จ
Accessories	=	อุปกรณ์ช่วยงานอื่นๆ

บทที่ 1 บทนำ

### 1.1 ความเป็นมา ความสำคัญและปัญหา (Research issue)

น้ำมันตัดสำหรับงานซ่างโลหะ (Cutting fluid) หรือน้ำมันหล่อลื่น ที่ใช้ในการตัด การกลึง การเจาะ การเจียร์ใน ฯลฯ มีใช้งานกันอย่างแพร่หลาย ถึงวันละประมาณ 2,000 ลิตร[1] ทำให้ต้องเสีย งบประมาณในการกำจัดน้ำเสีย สารเคมีเหล่านี้ก่อให้เกิดมลพิษในแหล่งน้ำค้างๆและดินบริเวณ ใกล้เคียงกับแหล่งใช้น้ำหล่อลื่น น้ำมันพืชนิคุณสมบัติใกล้เคียงกับน้ำมันตัดที่ใช้อยู่ในปัจจุบัน จาก การวิเคราะห์อิทธิพลของ Cutting Fluid ในกระบวนการเจียร์ใน ทำให้ได้ทราบว่า น้ำมันตัด(Integral oil) ให้ผลตัดสำหรับ แรงตัดเฉือน และ G ratio ส่วนใหญ่ให้การหล่อลื่นดี น้ำมันพืชช่วยระบายน้ำ ร้อนบริเวณเจียร์ในได้ดี ส่วนสารสังเคราะห์ (Synthetic solution) ให้ผลไม่แตกต่างกับน้ำมันพืช สามารถนำน้ำมันพืชมาใช้กับการตัด การกลึง การเจาะ การเจียร์ใน ฯลฯ ได้[2] นอกจากนี้น้ำมันพืช ที่ใช้แล้วสามารถนำมาปรับปรุงให้ใช้งานได้อีก โดยทดลองเปลี่ยนน้ำมันพืชใช้แล้วให้เป็นเชื้อเพลิง เหลวบนตัวเร่งปฏิกิริยา HZSM-5 และชัลเฟเกทเซอร์ โโคเนีย ซึ่งเป็นผลที่ได้จากการเติมตัวเร่งปฏิกิริยา ทั้งสอง มีส่วนช่วยปรับปรุงประสิทธิภาพการแตกตัวของน้ำมันพืชใช้แล้วเป็นแก๊สโซลีนได้มากขึ้น[3]

ดังนั้นการศึกษาอิทธิพลของน้ำมันพืช (Vegetable oil) ที่มีต่อการตัดเฉือนโลหะชนิดต่างๆ จึงมีความจำเป็นอย่างเร่งด่วน เพื่อนำข้อมูลไปพัฒนาน้ำมันพืชใหม่มีประสิทธิภาพสูงสุดต่อการงานในอุตสาหกรรมการผลิต และนำไปใช้ในการตัดเฉือนโลหะชนิดต่างๆอย่างเหมาะสม เพื่อช่วยลดค่าพิษที่เกิดจากการใช้น้ำมันตัดชนิดต่างๆ ด้วย

## 1.2 วัตถุประสงค์ของงานวิจัย (Objective)

1.2.1 เพื่อศึกษาปัจจัยที่มีผลกระทบต่อความเรียบผิวและการสึกหรอของมีดกลึง ที่มีต่องานกลึง เหล็กเครื่องมือ AISI 4140

1.2.2 เพื่อเปรียบเทียบอิทธิพลของน้ำมันพืชและน้ำมันหล่อลื่นชนิดสมน้ำที่มีต่องานกลึงเหล็กเครื่องมือ AISI 4140

### 1.3 สมมุติฐานของงานวิจัย (Hypothesis)

1.3.1 ปัจจัยทางด้าน ความเร็วตัด สารหล่อลื่น และอัตราป้อน ส่งผลต่อความเรียบผิวและการสึกหรอของมีดกลึงในการกลึงเหล็กเครื่องมือ

1.3.2 ความเรียบผิวและการสึกหรอของมีดกลึงในการกลึงเหล็กเครื่องมือ ไม่มีความแตกต่างระหว่างสารหล่อลื่น น้ำมันพืช (Vegetable oil) และน้ำมันหล่อลื่นชนิดสมน้ำ (Water Soluble Oil)

### 1.4 ประโยชน์ที่คาดว่าจะได้รับ

ผลจากการศึกษาจะนำไปเป็นแนวทางในการทำงานดังนี้

1.4.1 ทำให้ทราบถึงปัจจัยที่ส่งผลต่อความเรียบผิวและการสึกหรอของมีดกลึงในการกลึงเหล็กเครื่องมือ

1.4.2 นำข้อมูลที่ได้จากการวิจัยไปใช้เป็นแนวทางในการดำเนินการวิจัยแบบอื่นที่เกี่ยวข้อง

### 1.5 ขอบเขตของงานวิจัย

1.5.1 การทดลองใช้กับเครื่องกลึงแบบกึ่งอัตโนมัติ โดยวิธีการกลึงปอกผิวชิ้นงาน

1.5.2 วัสดุงานเป็นเหล็กเครื่องมือ AISI 4140 ขนาดเส้นผ่านศูนย์กลาง 26 มิลลิเมตร ยาว 250 มิลลิเมตร มีดกลึงทำจากเหล็กความเร็วอบสูง (High Speed Steel, HSS)

1.5.3 สภาพการตัดเฉือนอื่นๆ ได้แก่ ความลึกการตัด มีค่าคงที่ เปลี่ยนแปลงเฉพาะค่าความเร็วตัด สารหล่อลื่น และอัตราการป้อน

1.5.4 ทดลองในโรงงานแบบเปิด ไม่มีการควบคุมอุณหภูมิ และความชื้น

### 1.5.5 ตัวแปรที่ใช้ในการทดลอง

#### 1. ตัวแปรต้นประกอบด้วย

- น้ำมันหล่อลื่นชนิดผสมน้ำ (Water Soluble Oil)
- น้ำมันพืช (Vegetable oil)
- ความเร็วตัด = 20 , 28 และ 36 ม/นาที
- อัตราการป้อน = 0.08, 0.11 และ 0.14 มม./รอบ
- ความรีวรอบ = 250, 355 และ 500 รอบ/นาที
- ความลึกรอยกัด = 1 มม. (คงที่)

#### 2. ตัวแปรตามประกอบด้วย

- ความเรียบผิวของชิ้นงาน
- การสึกหรอของคมมีดกลึง

## 1.6 นิยามศัพท์

การศึกษาการทดลองเบื้องต้น (Pilot Study) หมายถึงการศึกษาให้รู้แนวทางที่เหมาะสมของตัวแปรที่ใช้ในการทดลองก่อนการทดลองจริงเพื่อเก็บข้อมูล

**สารหล่อลื่น** คือของเหลวที่ใช้สำหรับการระบายความร้อน การหล่อลื่น ชะoduleชิ้นงาน เศษคอมเครื่องมือให้ออกจากบริเวณตัดเฉือน และป้องกันไม่ให้เกิดสนิมชิ้นงานและเครื่องจักร

**น้ำมันพืช** (Vegetable Oil) คือสารประกอบเชิงอินทรีย์เคมีที่พืชสังเคราะห์ขึ้น และถูกนำไปสักดัดออกน้ำใช้บริโภค เพื่อเพิ่มรสชาติอาหารให้หวานรับประทานยิ่งขึ้น และเพื่อใช้ในงานอื่นๆ

**น้ำมันหล่อลื่นชนิดผสมน้ำ** (Water Soluble Oil) คือ น้ำมันแร่และสารประกอบอื่นผสมกับน้ำสะอาดโดยไม่เกิดการแยกระหว่างน้ำและน้ำมันหล่อลื่น เพื่อใช้ในการหล่อลื่นและรักษาเครื่องมือตัด เครื่องจักร และชิ้นงาน

**ความเร็วตัด** (Cutting Speed) คือ ระยะความยาวของเศษโลหะที่ถูกตัดเฉือนต่อเวลา (เมตร/นาที)

**อัตราป้อน** (Feed Rate) คือ การเคลื่อนที่ของมีดกลึงเข้าหาชิ้นงานในแนวขนานกับแกนชิ้นงาน มีหน่วยเป็น ระยะทางต่อรอบ (มม./รอบ)

ระยะป้อนลึก (Cutting Depth) คือ การเคลื่อนที่ของมีดกลึงเข้าหาชิ้นงานในแนวตั้งจากกับแกนชิ้นงาน มีหน่วยเป็นระยะทาง (มม.)

ความขรุขระของผิวงาน (Surface Roughness) หมายถึงความผิดปกติของผิวงานที่ผ่านกระบวนการตัดเฉือนอันเนื่องมาจากการตัดของมีด และจากอัตราป้อน

การสึกหรอของมีดกลึง (Tool Wear) หมายถึงการเปลี่ยนแปลงของรูปร่างของเครื่องมือตัด จากรูปร่างก่อนการใช้งานและหลังการใช้งาน ซึ่งเป็นผลมาจากการทำเครื่องมือตัดเกิดความเสียหายอย่างค่อยเป็นค่อยไป

มีดกลึง (Tool Bit Material) หมายถึงเหล็กเครื่องมือทำจากเหล็ก High Speed Steel ขนาดพื้นที่หน้าตัด  $6.4 \times 6.4$  มิลลิเมตร มีความแข็งประมาณ  $58 - 62$  HR<sub>C</sub> นำมาลับให้ได้มุมต่างๆ ดังนี้ มุมฟรีด้านข้าง 8 องศา, มุมลิ่ม 70 องศา, มุมภายในโดย 12 องศา และมุมฟรีด้านหน้า 8 องศา

ชิ้นงาน หมายถึง วัสดุที่ใช้ในการทดลองเป็นเหล็กกล้าเครื่องมือ AISI 4140 ขนาดเส้นผ่าศูนย์กลาง 26 มม. ยาว 250 มม. มีค่าความแข็งระหว่าง 27-30 HR<sub>C</sub> มีส่วนผสมดังนี้ Fe = 97.3329 %, S = 0.011 %, C = 0.396 %, Cr = 0.915 %, Si = 0.215 %, Ni = 0.120 %, Sn = 0.011 %, Mn = 0.634 %, Mo = 0.157 %, Al = 0.019 %, Cu = 0.167 % และอื่นๆ = 0.0221 %

## บทที่ 2 ทฤษฎีและงานวิจัยที่เกี่ยวข้อง

### 2.1 เทคโนโลยีงานผลิต (Production Technology)[4]

เทคโนโลยีงานผลิต (Production Technology) คือการใช้เครื่องมือกล ทำงานปั๊บผิวโลหะขึ้นรูป พลิตกับตัวโลหะขึ้นรูปจากวัสดุดิบ ในกระบวนการผลิตลักษณะนี้ต้องใช้ความรู้ทางเทคโนโลยี ความชำนาญงาน ความคิดและประสบการณ์ประกอบกัน ขอให้เข้าใจโดยแท้จริงว่างานเทคโนโลยีการผลิต เป็นกระบวนการผลิตที่ต้องปั๊บผิวโลหะขึ้นรูปเป็นส่วนใหญ่ ดังนั้นเครื่องมือกลที่ใช้งานผลิต ต่างๆ ที่จะเกิดขึ้นตามมาหรือที่เราจะต้องเกี่ยวข้องด้วยงานนี้ จะเป็นเครื่องจักรงานผลิตชนิดส่วนโลหะ เพื่ออุตสาหกรรมเท่านั้น

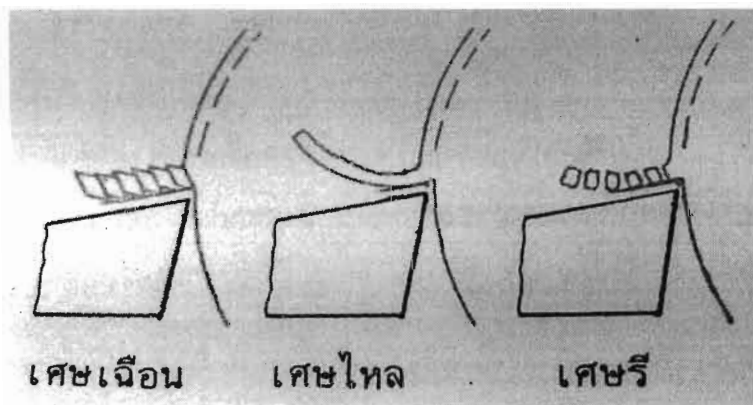
**2.1.1 กระบวนการผลิต (Manufacturing Process)** สถาบันกระบวนการผลิตโดยส่วนรวม หมายถึงงานผลิตที่แปรรูปขึ้นรูปโลหะ ด้วยกระบวนการทั้งงานปั๊บผิวโลหะและขึ้นรูปโลหะ เหตุที่แยกกระบวนการไว้ให้ชัดเจนเป็นสองประการ ก็เพื่อให้สามารถแยกกล่าวและศึกษาว่าเป็นงานคนและประเภทให้ชัดเจนมากขึ้น งานขึ้นรูปโลหะมีลักษณะต่างๆ ได้แก่ งานหล่อ, งานรีด, งานตีเหล็ก, งานตอกดูกษา, งานเชื่อม เป็นต้น ให้สังเกตงานต่างๆ ดังกล่าวไม่ต้องใช้เครื่องปั๊บผิวโลหะแต่อย่างใด

#### 2.1.1.1 เทคโนโลยีงานปั๊บผิวโลหะออกเป็นเศษ

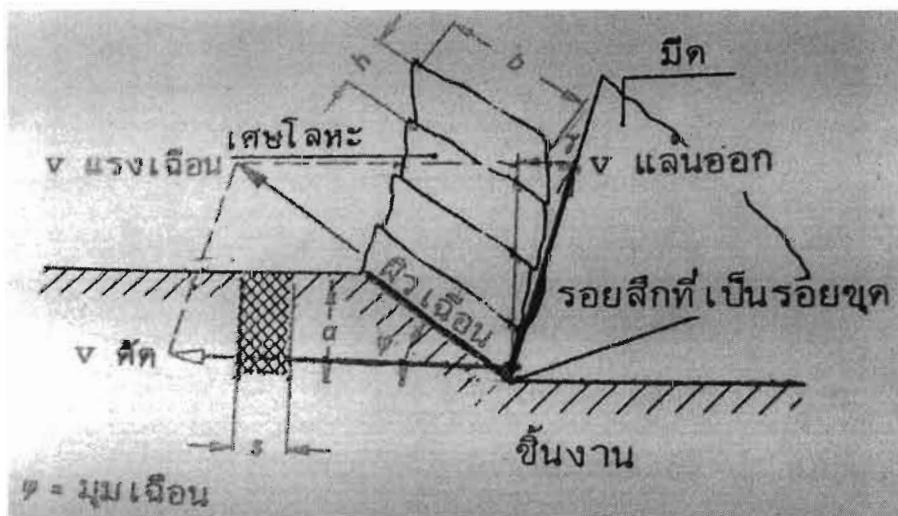
1. ลักษณะของเศษโลหะ ในที่นี้หมายถึง เศษกลึง, เศษกัด หรือ เศษไส ซึ่งมีลักษณะเป็นชิ้นๆ ที่ถูกปั๊บผิวออกมา เพราะฉะนั้นต่างกับงานขึ้นรูปโลหะซึ่งไม่มีเศษแต่อย่างใด พึงสังเกตเพิ่มเติมไว้ด้วยอีกว่า วัสดุงานไม่ใช่ทุกชนิดที่สามารถนำมารีดขึ้นรูปได้ เช่น หิน และไม้ ย้อมทำไม้ได้ แต่วัสดุงานทุกชนิดทำให้เกิดเศษได้ นี้เป็นประการหนึ่ง

ประการที่สอง มีคือที่ใช้ปั๊บผิวโลหะ ปั๊ดได้เพราะมีคือเป็นคอมลิ่ม ลักษณะทำงานของคอมลิ่มกระทำได้ 2 ลักษณะ สองลักษณะนี้เป็นพื้นฐานสำคัญสำหรับงานของเรา เพราะเมื่อมีคือซึ่งมีคอมลิ่มเข้ากระบวนการ ลักษณะที่เข้ากระบวนการเพื่อทำงานกับระยะเบี่ยงระหว่างสองสิ่งนั้น มีบทบาทสำคัญมาก ลักษณะที่หนึ่ง เรียกว่า ตัดแยก เกิดขึ้นเมื่อคอมมีคีกดลงในแนวเดียวกันผิวงาน ลักษณะที่สองเรียกว่า ปั๊บผิว เกิดขึ้นเมื่อคอมลิ่มแล่นปั๊บผิวงานไปกับผิวงาน แน่นอนที่สองงานทั้งสองลักษณะต้องใช้แรงกระทำ เป็นจำนวนมากด้วย แรงที่ใช้กระทำการทั้งสองลักษณะ จะต้องประสบความด้านท่าน ทำให้มีคืนน้ำ อาจคงอยู่หรือสึกหรอได้ ดังนั้นดังที่ทราบกันอยู่แล้ว มีค่าต้องแจ้งกว่าชิ้นงาน และคอมมีคือที่yan จะสามารถแทรกทະลุผิวงานได้ยากกว่าคอมมีคือที่ปาน ในทางปฏิบัติ กำหนดให้ใช้คอมมีคือที่มีขนาดและลักษณะพอดีเหมาะสมและหากคอมมีคือความไม่แข็งแรง, มีน้ำหนักมากเกินไป กำลังของมีค

จะลดลงมาก กล่าวโดยสรุป การเกิดเศษโลหะ เกิดขึ้นจากทิศทางแอลเอ็นสัมพัทธ์ระหว่างชิ้นงานกับมีดชิ้นงานกับมีดอาจแอลเอ่นพร้อมๆ กับสวนทางกัน, มีดแอลเอ็นชิ้นงานอยู่กับที่ หรือชิ้นงานแอลเอ็นมีดอยู่กับที่ ถ้าได้ทั้งสิ้น สำคัญที่จะต้องมีทางแอลเอ็นหลักหรือ ทางแอลเอ็นตัด และทางแอลเอ็นด้านข้าง(ทางแอลเอ็นป้อมมีด และทางแอลเอ็นปรับ) จะต้องทราบและเข้าใจตั้งแต่ต้น เพราะเมื่อศึกษาเรื่องเครื่องมือกลจะต้องมีหลักสังเกต ได้ว่า อันใดเป็นทิศทางส่งแรงส่งกำลังซึ่งเป็นทางแอลเอ็นตัด และทิศทางใดเป็นทางป้อมมีด ลักษณะสร้างของเครื่องมือกลทั้งหมดจะต้องมีทิศทางทั้งสองนี้สร้างติดตั้งไว้ ถ้าเข้าใจจะสามารถใช้เครื่องมือกลนั้นๆ ได้ถูกต้อง รูปทรงของเศษโลหะอย่างง่ายๆ ดูได้จากรูป 2.1 รูปร่างของเศษจะออกมาอย่างไรนั้นไม่ขึ้นอยู่กับทิศทางการแอลเอ็นอย่างเดียวเท่านั้น ยังขึ้นอยู่กับลักษณะที่แอลเอ็นตัดหรือปอดินนั้นด้วย อีกแฟลเตอร์หนึ่งที่จะต้องศึกษาให้เข้าใจโดยเร็วคือ “อายุคมมีด”



รูปที่ 2.1 ชนิดของเศษโลหะ

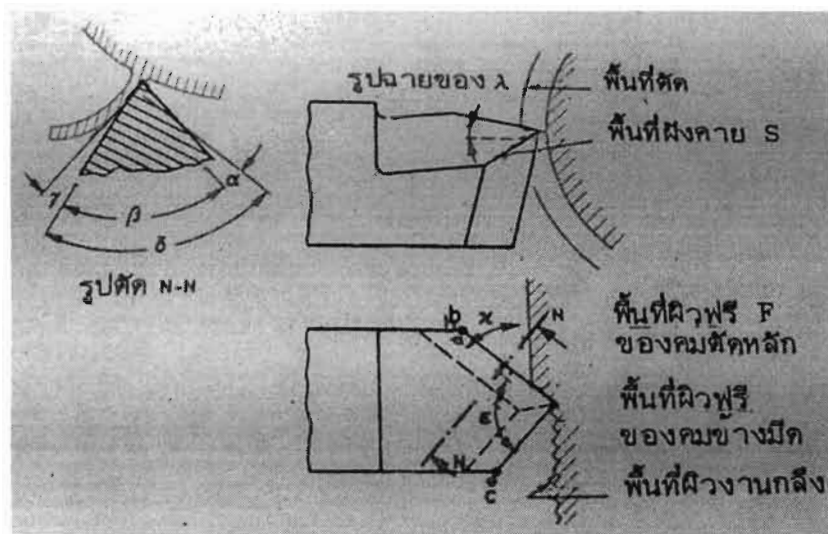


รูปที่ 2.2 เศษกลึงที่เกิดเป็นชิ้นเฉือน

ถ้าต้องการใช้มีดที่มีอายุการใช้งานได้นาน เพราะการลับมีดแต่ละครั้งต้องเสียเวลา วัสดุงานที่ประเมื่อปีกดันคือก็จะได้เศษ ถ้าวัสดุงานนั้นเหนียว จะได้เศษเนื่องหรือเศษไอล ขณะกลึงปอก มีดปอกจะถูกขัดให้แน่นมั่นคงดี แต่ขณะกลึงจะถูกขัดไม่ดีอาจมีแรงมากทำให้คมมีดเบนออกไปได้บ้าง แต่อย่าไรก็ตาม ความจริงสิ่งหนึ่งที่ประจักษ์ และพึงให้ความสำคัญ คือเศษกลึงที่เกิดขึ้น หากเป็นเศษโลหะจะมีอาการกระโดดได้ดังแสดงไว้ในรูปที่ 2.2 ซึ่งเกิดเป็นเศษเลื่อนเป็นชั้นๆ ในกรณีเช่นนี้เรียกว่ามีเฟกเตอร์ชั้นกระโดดของเศษกลึง λ เกิดขึ้นซึ่งมีค่าจำกัดความเป็นสูตรต่อไปนี้ และปกติ  $\lambda > 1$  คือ

$$\lambda = \frac{\text{ช่วงความยาวรอยตัด}}{\text{ช่วงความยาวเศษกลึง}}$$

ค่าจำกัดความนี้เป็นสมมุติฐานที่ได้จากผลการทดลอง ซึ่งสรุปได้ดังนี้ๆ คือหากหารือเฟกเตอร์กระโดดของเศษกลึงที่ยิ่งโต งานแปรรูปโลหะจะยิ่งโตตามและในงานของเราจำเป็นต้องหาค่า λ ที่ทำให้ประโยชน์สูงสุดควรต้องมีค่าเท่าไรด้วย รูปทรงเรขาคณิตของมีดกลึง จากรูปร่างของมีดกลึงจะเห็นว่า โดยหลักการรูปทรงของมีดกลึงเป็นรูปทรงปิรามิดสามด้าน ซึ่งมีพื้นที่ผิวเส้นขอบและมุมต่างๆ เป็นค่ากำหนดให้ ทั้งพื้นผิว เส้นขอบ และมุมต่างๆ เหล่านี้ประสานกัน ทำให้มีบทบาทส่งอิทธิพลต่อมีดกลึงและงานกลึงเป็นอันมาก (รูปที่ 2.3)



รูปที่ 2.3 คมมีดกลึง

นิยามต่าง รูป 4 มีๆ ของดังนี้

พื้นที่ผิวภายใน S: เป็นพื้นที่บนผิวลิ่มของมีด ส่วนที่ช่วยให้คมเศษกลึงออกไป

พื้นที่ผิวฟริ F: เป็นพื้นที่ข้างคมลิ่มมีดด้านที่ต้องลื่นไปจากคมตัด เหตุที่ทำเป็นผิวฟริเพื่อให้คมตัดเป็นเส้นตัดชัดเจน และให้เป็นผิวที่หลบพื้นผิวงาน

คณตัดผลลีก a-b: เป็นสันคณตัดของมีดที่ถูกป้องเข้ากลึงผิวงาน คณตัดเส้นนี้เป็นตัวตัดเศษกลึงด้วยความกร้าง

คณข้างตัด a-c: เป็นคณอีกข้างของคณมีดหลัก คณนี้มิได้เป็นคณที่ป้องเข้ากลึง ช่วยแยกเศษกลึงให้ขาดออกจากกัน

มุนฟรี  $\alpha$ : เป็นมุนระหว่างผิwtัดและผิวฟรี

มุนลิ่ม  $\beta$ : เป็นมุนระหว่างผิวฟรีและผิวภายใน

มุนภายใน  $\gamma$ : เป็นมุนระหว่างผิวภายในกับแนวเส้นดิ่งของผิwtัด

มุนตัด  $\delta$ : เป็นมุนระหว่างผิwtัดและผิวภายใน

มุนจุดแหลม เป็นมุนระหว่างคณตัดหลักกับคณข้างตัด

มุนคาด  $\lambda$ : เป็นมุนระหว่างคณตัดหลักกับแนวบนนานะนาบ

มุนตั้งมีด X: เป็นมุนตั้งมีดที่คณมีดหลักกระทำกับทิศทางแนวปื้อนมีด

ขนาดของมุน  $\alpha, \beta, \gamma$  และ  $\delta$  นี้ต้องจัดในพื้นนานะ N-N ซึ่งยังเป็นแนวเส้นดิ่งกับคณตัดหลักของมีดกลึงนั้น ๆ

มุนฟรี  $\alpha$ : มีหน้าที่หลบผิวฟรีให้พ้นออกไปจากการสัมผัสกับผิวงาน เพราะมีจะนั้นจะมีความร้อนจากการเสียดทานเกิดขึ้น ทำให้สูญเสียแรงกลึงไปเปล่า ๆ

มุนลิ่ม  $\beta$ : ขนาดของมุนลิ่มนี้กำหนดขึ้นจากความแข็งและความแหลมของมีดกลึง กับชิ้นงานกลึงนั้น ๆ

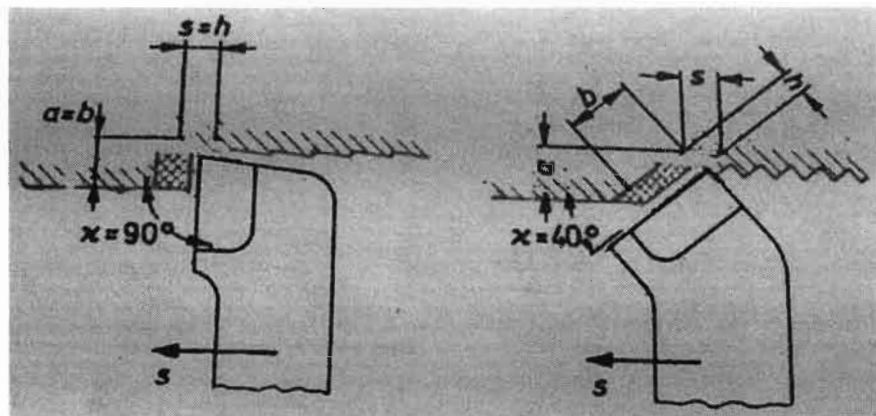
มุนภายใน  $\gamma$ : เป็นมุนที่ช่วยให้ภายในด้วยแรงกลึงพ้นออกไปจากจุดงาน โดยเร็ว วิธีการไม่ต้องการให้เศษกลึงกระโดดมาก แต่ต้องการค่อย ๆ เวนเศษกลึงให้แล่นหนีออกไปพื้น โดยแล่นสม่ำเสมอ

มุนตัด  $\delta$ : ปกติควรเล็กกว่า 90 องศา จึงจะก่อให้แรงทะลุเข้าไปในผิวงานได้ง่าย ถ้ามุนตัดนี้แหลมมากไป จะใช้เป็นขอเกี่ยวได้ดีกว่า ถ้าโตกว่า 90 องศา ควรใช้เป็นเหล็กขุดดีกว่า ทั้งสองกรณีใช้เป็นมีดกลึงไม่ได้ดี

มุนตั้งมีด X: เป็นมุนที่ใช้ตั้งตำแหน่งคณมีด เพื่อป้องกลึง ควรปีที่ 2.4 ประกอบ ในรูปข้างซ้ายใช้มุนตั้งมีดค่อนข้างโตกว่า 90 องศา และรูปข้างขวา 40 องศา ให้สังเกตว่าหากพื้นที่ภาคตัดเศษกลึง (q) เท่ากัน งานกลึงที่ใช้มุนตั้งมีดเล็กลงมา ความกว้างของเศษกลึง b จะยาวขึ้น แต่ความหนาของเศษกลึง s จะเล็กลงมา ความร้อนในงานกลึงก็เกิดขึ้นน้อยกว่า เศษกลึงมีน้ำหนักตัวออกไปได้ง่ายกว่า และใช้แรงปื้อนกลึงน้อยกว่าด้วย ถ้าด้วยมุนตั้งมีด k เด็กมากไป ชิ้นงานจะถูกดันໄกง์ได้ง่ายขึ้น แต่จะกลึงผิวละเอียดได้ร้าบเรียบดีกว่า

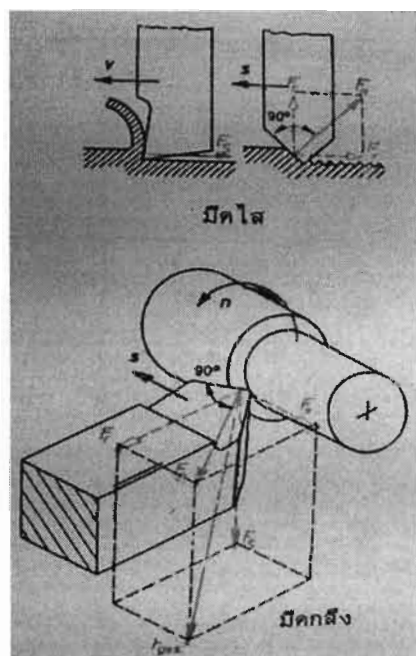
### ข้อสังเกต

มุนตั้งมีดนี้ไม่เกี่ยวข้องใด ๆ กับมุนในขณะลับมีดหรือมุนเรขาคณิตต่าง ๆ ของตั้งมีด บทบาทของมุนตั้งมีดมีความสำคัญเกี่ยวกับแรงที่ใช้กลึงจริง ๆ เท่านั้น



รูปที่ 2.4 นูนตั้งมีด

2. แรงตัด กระบวนการปิดผิดโลหะลักษณะต่างๆ เป็นตัวกำหนดลักษณะสร้างของเครื่องมือกลแบบต่าง ๆ ก่อว่าคือ จะต้องทำงานให้ได้ตามลักษณะสัมพันธ์ในงานระหว่างมีดกับชิ้นงาน ว่าจะต้องให้เศษลักษณะใด และคอมหลักตัดกับคอมข้างตัดจะต้องปฏิบัติงานร่วมกันอย่างใด สิ่งสำคัญสิ่งแรกที่สุดคือจะต้องกำหนดความเร็วแล่นจะต้องไปในทิศทางไหน และจะต้องทราบล่วงหน้าว่าต้องใช้แรงตัดและสมรรถนะกำลังตัดขนาดเท่าไร จึงจะพอกันงานด้วย เครื่องมือกลนั้นในประการที่หนึ่ง จะต้องมีขีดความสามารถ ป้อนมีดให้แรงตัดโดยเคลื่อนในทิศทางที่ถูกต้อง และในประการที่สอง จะต้องสามารถปฏิบัติงานให้สัมพันธ์กันทั้งหมดใน 3 มิติ ด้วยแกนโคออดิเนต 3 แกน ครบถ้วน สภาพสามมิติเช่นนี้เป็นเรื่องที่เราควรต้องศึกษาให้เข้าใจโดยถ่องแท้เสียแต่แรกเช่นในขณะนี้ และดังแสดงในรูปที่ 2.5



รูปที่ 2.5 แรงตัด

ในรูปนี้  $F_v$  เป็นแรงตัวหลัก และในทิศทางหลักของงาน ถ้าเป็นงานกลึงในทางหลักคือทิศทางหมุน หากเป็นงานไส ทิศทางหลักคือทิศทางที่ชิ้นงานแล่น แรงตัวหลักนี้จะต้องแล่นในทิศทางตัวเศษไปทุกครั้ง แรงนอร์มัลหรือแรงคลายเศษกลึง เป็นแรงที่แล่นในแนวตั้งจากกับคณิตศาสตร์ แต่ตั้งจากกับผิวตัดด้วย แรงนี้คือแรง  $F_n$  ขอให้สังเกตว่าทั้ง  $F_v$  และ  $F_n$  จะมีทิศทางอย่างไรนี้ จึงขึ้นอยู่กับตั้งมุมมีค่ามาก่อน เพราะมุมตั้งมีค่าเป็นตัวแปรลักษณะการป้อนตัด แรงนอร์มัล  $F_n$  นี้อาจแตกเป็นแรงที่ตั้งจากต่อ กันได้ 2 แรง คือแรง  $F_r$  และ แรง  $F_t$  ดังรูป จะเห็นว่าแรง  $F_r$  คือแรงป้อนมีค่าเข้ากลึง และแรง  $F_t$  เป็นแรงปฏิกิริยาจากชิ้นงานที่กระทำต่อลำตัวมีค่าออกมานะ ในรูปนี้ชื่นกัน คณิตศาสตร์ป้อนกลึงเข้าไปที่ชิ้นงานด้วยค่ามุมตั้งมีค่า  $k$  เป็นบวก ทำให้ความกดดันมีค่าสามารถลดลงได้และชิ้นงานเข้าด้วยกันได้ ทำให้กลึงได้อายุมีกำลัง เมื่อศึกษาคลื่นสั่นจะเห็นว่า กรณี  $k$  เท่ากับ 90 องศา ดังนั้น  $F_r = F_t$  และกรณี  $k$  เท่ากับ 0 องศา ดังนี้  $F_r = 0$  สิ่งที่ควรสังเกตได้ในงานกลึงนี้คือ เศษกลึงจะเกิดขึ้นได้ต่อมื่อเมื่อทิศทางแล่นหลักของงานกลึง ควบคู่กับทิศทางป้อนมีค่า ในลักษณะที่ประสานกันแล้ว เกิดเศษกลึงขึ้น แต่กับงานไสไม่จำเป็นต้องเป็นชิ้นนั้น คือเพียงแต่มีทิศทางแล่นหลักเพียงอันเดียวก็พอแล้ว ทิศทางป้อนมีค่าไสเป็นเพียงแต่บัญมีค่าไสให้ไสในรอบไสตัดไปได้เท่านั้น แรงป้อนมีค่าไส  $F_v$  จึงมิได้เป็นแรงป้อนมีค่าเหมือนกับป้อนมีค่ากลึง แต่เป็นแรงป้อนบัญมีค่าตามมุมตั้งมีค่านั้นเอง

3. อายุคนมีค่า “อายุคนมีค่า” หมายถึงอายุใช้งานคณิตตั้งแต่ลับคุณกระทั้งที่ต้องลับคุณใหม่ครั้งต่อไป อายุคนมีค่าที่ยาวถือว่าประยุกต์เพรำไม่ต้องลับคุณมีค่าบ่อย ๆ เครื่องกลึงอัตโนมัติลูกโมซี่ใช้มีค่ากลึงหลาย ๆ อัน ผลลัพธ์ก็จะตามลำดับงาน ควรต้องมีอายุมีค่าเท่า ๆ กัน เพราะมีจะน้ำหนักที่มีอายุคนมีค่าสั้นที่สุดจะเป็นตัวจำกัดการใช้งาน ค่าของอายุคนมีค่ามีอายุใช้งานนานหรือเร็ว อยู่ที่คุณมีค่านั้นที่ห้าหรือเร็ว วิธีที่จะกำหนดให้มีมาตรฐานการแน่ชัดมากขึ้นวิธีหนึ่งคือ หากเรากำหนดความประณีตของงานและลักษณะผิวสำเร็จของงานที่ต้องการได้ เราจะสามารถกำหนดความสึกหรอ VB ของคุณมีค่าที่ต้องสึกหรอไปในการทำงานให้ได้ผลดังกล่าวได้ สิ่งนี้วัดได้ที่ผิวฟริของมีค่ากลึงอันนั้นเอง ตัวอย่างเช่น ด้วย  $T_{0.2} = 100$  นาที หมายความว่าหากกลึงด้วยความเร็วตัดที่เหมาะสม  $v$  เป็นเวลานาน 100 นาที มีค่าสึกหรอ ณ ผิวฟริ 0.2 มน. และเมื่อถึงขนาดนี้ให้หยุดใช้มีค่ากลึงนี้ได้ เพราะที่อ่อนแล้วต้องนำไปลับใหม่ ดังนี้เป็นต้น จะเห็นว่าวิธีการเขียนกำหนดเช่นนี้เป็นการประณีตประเมินอย่างใช้ล้อจิตระห่วงสาเหตุกับผลงาน

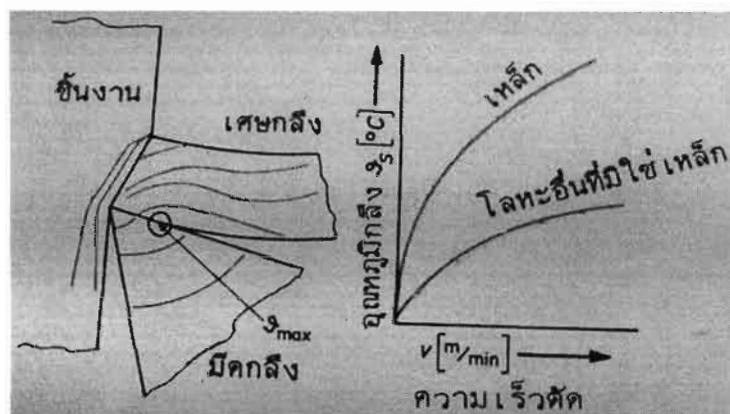
กฎธรรมชาติคังกล่าวข้างบนนี้เปลี่ยนไปบ้างหากชิ้นงานนั้นผิวแข็งหรือใช้มีค่าแข็ง หมายความว่าการสึกหรออาจช้าลงได้บ้าง กล่าวโดยสั้น ๆ อายุคนมีค่าจะขึ้นอยู่กับความเร็วตัดอยู่นั้นเอง เพื่อเป็นมาตรฐานเรานิยมพูดพึงอายุคนมีค่า  $T$  ที่กำหนดไว้เลยว่าเป็น 60 นาที และถ้ากำหนดลงไปเลยว่าวัสดุมีค่ากลึงเป็นอะไร และวัสดุงานเป็นอะไร เราจะได้ค่าความเร็วตัดที่แนะนำให้ใช้เพื่อให้ได้อายุคนมีค่า

60 นาที ได้ชัดเจน ความเร็วตัดค่าเฉลี่ยเป็นสัญลักษณ์ว่า  $v_{\text{av}}$  (m/min) เมื่อเราทดลองใช้  $v_{\text{av}}$  เป็นรากฐาน คราวนี้อุตสาหกรรมต่าง ๆ ที่ใช้มีดกีว่า และงานลักษณะต่าง ๆ จะอาศัยหลักเกณฑ์ เช่นเดียวกันนี้ กำหนด  $v_{240}$  และ  $v_{480}$  ต่อไปอีกได้  $v_{240}$  และ  $v_{480}$  ก็คือมีดกลึงที่มีอายุคมมีด 4 และ 8 ชั่วโมง ตามลำดับ สำหรับมีดกลึงเหล็กเครื่องมือที่ใช้กลึงเหล็กหนาขั้วธรรมด้า St34 .. 42 จะใช้งานกลึงให้ได้  $v_{60}$  ถึง  $v_{480}$  (m/min) ได้โดยกำหนดค่าต่าง ๆ ตามตารางที่ 2.1

ตารางที่ 2.1 มีดกลึงเหล็กเครื่องมือที่ใช้กลึงเหล็กหนาขั้วธรรมด้า

$S(\text{mm}/\text{รอบ})$	0.2	0.4
T(min)	60 240 480	60 240 480
$v(\text{m}/\text{min})$	60 43 36	45 32 27

หากใช้ความเร็วตัดสูง ๆ อุณหภูมิกลึงจะเป็นตัวจำกัดการใช้มีด ทำงานของเดียวกัน งานกลังวัสดุที่มีค่า  $k_s$  โต ๆ อุณหภูมิกลึงก็จะร้อนเร็วมากขึ้นด้วย จุดที่จะร้อนที่สุดคือบริเวณจุดที่รับแรงชนมากที่สุด หรือจุดที่ร้อนที่สุด (ดูรูปที่ 2.6) แต่ ณ จุดร้อนหรือจุดที่สึกหромากที่สุดจุดนี้คือจุดที่เศษกลึงเริ่มแยกแตกออกไปจากคมมีด เศษกลึงจะพากวนร้อนหนอนอกไปได้ด้วย แต่เพียงประมาณ 80% ของความร้อนทั้งหมด ความร้อนที่บังคับค้างอยู่อีก 20% จะคงค้างอยู่บนมีดและบนชิ้นงาน



รูปที่ 2.6 พิกัดอุณหภูมิงานกลึง

อายุคมมีดของมีดเหล็กเครื่องมือถึงมีดเพชร ไม่เพียงแต่เพื่อความแข็งของวัสดุตัวมีเป็นสำคัญเท่านั้น ข้อพึงจัดความสามารถในการคงความแข็งไว้ได้แม้อุณหภูมิจะร้อนอีก索คหนึ่งด้วย เหล็กเครื่องมือ: เป็นเหล็กคาร์บอนที่ไม่ประสม จะคงความแข็งไว้ไม่เกิน  $200-300^{\circ}\text{C}$

1. เหล็กอบสูง: เป็นเหล็กประสานสูงที่มี Cr และ W ประสานอยู่ด้วย คงความแข็งได้ถึง  $500\text{--}600^{\circ}\text{C}$
2. โลหะแข็ง: เป็นโลหะประสานที่ไม่มีเหล็กเลย ขึ้นรูปด้วยกรรมวิชีชินเตอร์ คงความแข็งไม่ถึง  $900\text{--}1000^{\circ}\text{C}$
3. คอมมีดօอกไซด์เชอร์ามิก: มีอายุคมมีด 5 – 10 เท่าของโลหะแข็ง
4. เพชร: อันบุรุษของการนับอน มีอายุคมมีด 50 เท่าของโลหะแข็ง (สามารถกลึงเศษโลหะได้ยาว 2 400... 3 000 กม.)

อายุคมมีดนี้เป็นเรื่องจำเป็นแก่นักช่างที่ต้องกลึงอัตโนมัติ ซึ่งใช้ชุดมีดลูกโม่ผลักกันเข้ากลึงตามลำดับ โหลดที่มีดแต่ละตัวอาจไม่เท่ากัน หนักบ้าง เบาบ้าง แท้จริงเราต้องการมีดทุกอันที่มีอายุคมมีดเท่า ๆ กัน เพราะจะต้องเปลี่ยนมีดพร้อมกันทั้งชุด ดังนั้นการเลือกคู่สวิตมีดกับวัสดุชิ้นงาน จึงมีบทบาทยิ่ง และยิ่งมีมากขึ้นไปอีก เพราะเราต้องการใช้ค่าความเร็วตัดค่าต่อไว้เสมอ

2.1.1.2 กระบวนการปาดผิวโลหะ กระบวนการปาดผิวโลหะลักษณะต่าง ๆ ได้เจียนรวมไว้ด้วย ๆ ดังแสดงในรูป 2.7 ทิศทางแล่นหลักจำแนกได้เป็นหมุนกลมและแล่นเป็นเส้นตรง ที่หมุนกลมได้แก่ งานกลึง งานคว้าน งานเจาะ งานกัด และงานเจียร์ไน ที่แล่นเป็นเส้นตรงได้แก่ งานไสเม็ด งานไสแท่น

กระบวนการงาน		ตัวการณ์อ่อนตัว	ตัวการณ์ปั๊บตัว
กัด		ชันงานเดือน m/min	ปั๊บตัว mm/min
เจาะ		เดือนเดือน m/min	เดือนเดือน mm/min
คว้าน		เดือนเดือน m/min	ชันงานเดือน mm/min
เจียร์ไน		เดือนเดือน m/s	ชันงานป้อน
เจียร์ไนแบบ		เดือนเดือน m/s	วงกลมเดือน ชันงานป้อน 2 หรือ ชันงาน 2+2 (แบบการวางแผน)
แล่นเดือน เดือน		ชันงานเดือน (a) เดือนเดือน (b) m/min	เดือนเดือน (a) เดือนเดือน (b) เดือนเดือนเดือน
แล่นเดือน เดือนเดือน		เดือนเดือน m/min	เดือนเดือน เดือนเดือนเดือน

รูป 1.16 กระบวนการปาดผิวโลหะต่างๆ

รูปที่ 2.7 กระบวนการปาดผิวโลหะต่างๆ

งานแทงเจาะ และงานเลื่อย งานเครื่องมือกลแต่ละอย่างมีการกิจและลักษณะพิเศษเฉพาะตนเอง สิ่งที่เหมือนกันคือต่างก็เป็นงานผลิตเศษโลหะอุปกรณ์ทั้งนั้น วิธีทางแรงตัด และสรรคนะกำลังในงานกลึงซึ่งพอสรุปได้คือ

$$\text{แรงตัด } F_s = q - k_s \quad (\text{kN})$$

$$\text{กำลังตัด } P_s = F_s - V_s / 60 \quad (\text{kN})$$

หน่วยสมรรถนะกำลังวัดเป็น kW แรง  $F_s$  เป็น kN และ  $V_s$  เป็น m/min แรงป้อนมีด  $F_v$  คำนวณได้ด้วยสูตรเอมไฟริกาด หรือสูตรสังเคราะห์ หรือจะใช้วิธีวัดแรงโดยตรงก็ได้ ค่าอัตราส่วน  $F_s$  ต่อ  $F_v$  นั้นขึ้นอยู่กับมุมแรงเสียดทาน  $\rho$  กับมุมตั้งมีด  $k$  และกับมุมชาย  $Y$  รายละเอียดจริง ๆ นั้นลึกซึ้งมาก ซึ่งจะขอผ่านไปไม่ถูกถ่วงถึง แต่จะขอยกกรณีที่ปกติขึ้นตั้งเป็นหลักไว้ ณ ที่นี่ว่า หากตั้งมุมตั้งมีด  $k = 60^\circ$  มุมชาย  $Y = 8^\circ$  และ  $n = 0.8$  ค่าอัตราส่วนของแรงจะเป็นดังนี้

$$F_s : F_v : F_r = 10 : 5 : 3$$

กำลังขับป้อนมีด  $P_v$  มีได้คำนวณโดยตรงจากความเร็วป้อนมีด  $V_v$  (mm/min) แต่คำนวณได้โดยทางอ้อมจากช่วงป้อนมีด  $s$  (mm/รอบ)

$$\text{ความเร็วป้อนมีด } V_v = n, s \text{ (mm/min)}$$

$n$  = ความเร็วรอบของเมนสปินเดลหรือของเพลางานกลึง ( $\text{min}^{-1}$ )

$s$  = ช่วงป้อนมีด (mm/รอบ) และระยะป้อนมีดนี้ควบคุมส่งแรงไปจากเพลางานกลึงด้วย

$a$  = ระยะที่ก้มีดลึก (mm)

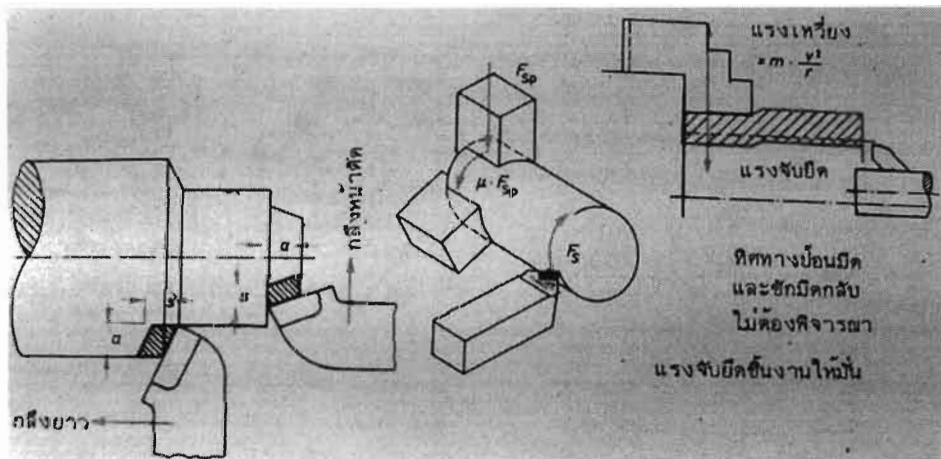
ดังนั้นขนาดพื้นที่ภาคตัดของเศษกลึง ตามยาวเท่ากับ  $a \cdot s$  ซึ่งจะไม่เท่ากันกับขนาดเศษกลึง  $b \cdot h$  แต่ใกล้เคียงกันส่วนงานกลึงหน้าตัด (รูป 2.8) ขนาดของเศษกลึง คือ  $a \cdot s$  อย่างเดียว เครื่องงานกลึงนี้มีปัญหางานประการที่ควรกล่าวไว้ว่า ณ ที่นี่คือ โดยที่ชิ้นงานกลึงเป็นตัวหมุนหลัก ลักษณะหมุนของชิ้นงานมีบ่อยครั้งที่หมุนได้ไม่เที่ยงศูนย์ เมื่อไม่เที่ยงศูนย์ เช่นนี้จะเกิดลักษณะกลึงจะสั่นมาก ยิ่งกว่านั้นหากกลึงด้วยความเร็วตัดสูง ชิ้นงานก็จะสั่นเขย่าสร้างปัญหามากขึ้นไปตามลำดับ เพื่อที่จะให้เตรียมลดปัญหารือความสั่นเขย่าล่วงหน้าไว้ก่อน มี 3 สิ่งที่จะต้องปฏิบัติตัวยความระมัดระวังในงานกลึงคือ

1. ลักษณะออกแบบสร้างของเครื่องและอุปกรณ์ประกอบต่าง ๆ เป็นตัวกำหนดลักษณะงานกลึงโดยตรงเลยว่า ควรใช้กับงานลักษณะใด ว่าเหมาะสมใช้กับงานกลึงยาวชิ้นงานบาง ชิ้นงานสั้น หรือเป็นชิ้นงานหนา หรือหนาจะใช้กับชิ้นงานขนาดโตกnak ๆ และเครื่องกลึงพิเศษอื่น ๆ ยังมีอีก ได้แก่

เครื่องกลึงแบบโต๊ะหมุนカラูเซล หรือเครื่องกลึงลับคมหลบคมหลังของมีดกัด แต่ละอย่างแต่ละประเภทมีความเหมาะสมกับงานต่าง ๆ กัน การเลือกใช้เครื่องจึงต้องให้เหมาะสมกับงานต่าง ๆ กัน การเลือกใช้เครื่องจึงต้องให้เหมาะสมกับลักษณะงานนั้น ๆ

2. วัสดุงาน สำคัญที่งานตัดหรือปัดผิว สิ่งสำคัญที่ต้องระวังได้แก่ การเลือกใช้สิ่งต่อไปนี้ ให้ถูกต้อง ความเร็wtัด ช่วงป้อนมีด วัสดุคมมีด น้ำมันตัด และอื่น ๆ ทั้งนี้ เพื่อให้อาชญาณมีความปลอดภัย

3. วิธีจับชิ้นงานให้มั่น การจับชิ้นงานทำได้หลายลักษณะ คือ จับให้มั่นเฉย ๆ จับให้ดีสนิย และจับพาหนุน หัวจับแบบมีสามเหลี่ยมจะทำงานได้ทั้ง 3 ลักษณะ ข้างต้นได้พร้อมกัน และจะใช้จับบันสนิยหัวท้าดดวยกีดีเรงจับยึดชิ้นงานให้มั่นสามารถวัดได้ เพราะจะต้องสามารถจับได้มั่นและรับกำลังกัดได้ดีด้วย โดยชิ้นงานนั้นไม่สีหาย หรือโกร姆 แต่อย่างใด รูปที่ 2.8 การจับชิ้นงาน จะต้องพยายามจับให้มั่นและให้หมุนได้ไม่สั่นหรือเขย่า ลักษณะสร้างของเครื่องกลึงเองก็จะพยายามช่วยให้ลดแรงสั่น และเขย่าลงให้มากด้วยอยู่แล้ว โดยจะสร้างให้เครื่องมี เรโซแนซ์กับแรงเขย่า และใช้วัสดุสร้างในลักษณะที่รับแรงไม่สมดุลย์ที่เกิดขึ้นได้พอประมาณ



รูปที่ 2.8 แรงจับยึดชิ้นงานให้มั่นคง

## 2.2 น้ำมันหล่อลื่น [5]

2.2.1 หน้าที่ของน้ำมันหล่อลื่น ในกระบวนการตัดกลึงวัสดุ ไม่ว่าจะเป็นโลหะเช่น เหล็กcarbon เหล็กไร้สนิม หรือโลหะ เช่น เซรามิก แก้ว เป็นต้น จุดประสงค์ที่สำคัญคือ ชิ้นงานที่ถูกต้อง ทั้งขนาดและความเรียบของผิวชิ้นงานนั้น ชนิดของเครื่องจักร ชนิดของชิ้นงาน ความเร็wในการตัด ชนิดของคมเครื่องมือ จนกระทั่งน้ำมันหล่อลื่นที่ใช้ล้วนแต่มีผลกระทบ และมีหน้าที่แตกต่างกันไป การระบายความร้อนและการหล่อเย็น คือหัวใจของหน้าที่ของน้ำมันหล่อลื่น ซึ่งจะสำคัญมากหรือ น้อยขึ้นอยู่กับลักษณะของงานและชิ้นงานนั้น ๆ หน้าที่ของน้ำมันหล่อลื่นมีดังนี้

1. ระบบความร้อนที่เกิดขึ้นกับการตัดเนื้อวัสดุออกจากชิ้นงานและระบบความร้อนที่เกิดจากแรงเสียดทานของเศษชิ้นงานกับคอมเครื่องมือ
2. หล่อลีนเพื่อลดแรงเสียดทานที่เกิดขึ้น
3. ชะพาเศษชิ้นงาน และเศษคอมเครื่องมือให้ออกจากบริเวณตัดเนื้อ
4. ป้องกันสนิมชิ้นงานและเครื่องจักร

### **2.2.2 คุณสมบัติของน้ำมันหล่อลื่นเย็น**

1. ระบบความร้อนชิ้นงาน
2. มีประสิทธิภาพการหล่อลีนสูง
3. ชะพาเศษโลหะออกจากชิ้นงาน
4. ทนต่อแรงกดอัด
5. ต้านทานการเสื่อมสภาพ
6. ต้านทานการเปลี่ยนแปลงทางชีวภาพ
7. ป้องกันการเกิดสนิม
8. รวมตัวกันแน่ได้
9. ไม่เกิดฟองระหว่างใช้งาน
10. มีประสิทธิภาพในการแทรกซึม
11. สามารถถ่ายออกได้
12. ไม่ติดไฟ หรือทำให้ไฟติด
13. ไม่ทำปฏิกิริยากับวัสดุอื่น
14. ไม่มีกลิ่นหรือกลิ่นน้อย
15. ไม่อันตรายต่อสิ่งแวดล้อม
16. สามารถรองหรือนำกลับมาใช้ใหม่ได้
17. ไม่ระคายเคืองผิวน้ำ

### **2.2.3 ประเภทของน้ำมันหล่อลื่นงานแปรรูปโลหะ น้ำมันหล่อลื่นงานแปรรูปโลหะ จำแนกเป็น 2 ชนิด คือ ชนิดน้ำมันล้วน (ไม่ผสมน้ำ) และชนิดผสมน้ำแต่ละชนิดใช้ประโยชน์ต่างกัน ดังต่อไปนี้**

1. ชนิดน้ำมันล้วน มีประสิทธิภาพการหล่อลีนดี
2. ชนิดน้ำมันผสมน้ำ ประสิทธิภาพในการระบบความร้อนดี เป็นการรวมประสิทธิภาพของทั้งน้ำมันและน้ำไว้ด้วยกัน

**2.2.4 น้ำมันหล่อลื่นชนิดน้ำมันล้วน (Neat Cutting Oils)** น้ำมันหล่อลื่นชนิดน้ำมันล้วน คือ น้ำมันหล่อลื่นสำหรับงานแปรรูปโลหะที่ผสมสำเร็จ สามารถใช้งานได้ทันที โดยไม่ต้องละลายน้ำ หรือทำให้เจือจาง มีส่วนประกอบที่สำคัญดังตารางที่ 2.2

ตารางที่ 2.2 สารประกอบที่สำคัญของน้ำมันหล่อลื่นชนิดน้ำมันล้วน

1. สารหล่อลื่น (Boundary Lubricant)	กรดและไขมันช่วยในการลดแรงเสียดทานบนผิวโลหะ ในรูปของพิล์ม น้ำมันหล่อลื่น
2. สารรับแรงกด <sup>(EP Additive)</sup>	สารคลอไรด์และสารกำนัณะถัน ในรูปของสารประกอบต่างๆช่วยในการสร้างพิล์มเคมีขึ้นที่คิวของโลหะ โดยสัมพันธ์กับอุณหภูมิที่สูงขึ้นในบริเวณของการสัมผัส
3. สารต้านทานการสึกหล่อ <sup>(Anti-wear Additive)</sup>	สารฟอสเฟตอเลสเตอร์หรือสารประกอบของมัน เป็นส่วนเพิ่มประสิทธิภาพของสารรับแรงกด
4. สารต้านทานการรวมตัวกับออกซิเจน <sup>(Anti-oxidants)</sup>	สารต้านทานการเกิดปฏิกิริยากับออกซิเจน ช่วยป้องกันการเกิดเมือกเหนียว (Sludge) การเปลี่ยนแปลงความหนืด และการเกิดสภาพความเป็นกรดของน้ำมัน
5. สารต้านทานการกัดกร่อน <sup>(Anti-corrosion Additive)</sup>	สารซัลโฟเนตต่างๆใช้เพื่อป้องกันสนิมของชิ้นงานและเครื่องจักร
6. สารต้านทานการเป็นละออง <sup>(Anti-mist Additive)</sup>	เพื่อเพิ่มสารเกาะติดของโมเลกุล ชี้งช่วยลดละอองน้ำมัน
7. สารละลายน้ำ <sup>(Water Washable Agents)</sup>	เพิ่มคุณสมบัติการล้างออกด้วยน้ำให้กับน้ำมันล้วนได้ถ้าต้องการ

น้ำมันหล่อลื่นชนิดน้ำมันล้วน บางครั้งแบ่งตามปฏิกิริยาต่อโลหะอ่อนที่มีส่วนผสมของทองแดง เป็น 2 ประเภท คือ

- ชนิดที่ทำปฏิกิริยากับโลหะทองแดง ทำให้ทองแดงเปลี่ยนสี (Active)
- ชนิดที่ไม่ทำปฏิกิริยาต่อโลหะทองแดง

**2.2.5 น้ำมันหล่อลื่นชนิดผสมน้ำ (Emulsifiable หรือ Water Soluble Oil)** น้ำมันหล่อลื่นชนิดผสมน้ำ ประกอบด้วยน้ำแร่ ตั้งแต่ 0.95% และสารตัวทำลาย (Emulsifier) และเซอร์แฟคแทนต์ (Surfactants) เพื่อที่ทำให้ออนุภาคของน้ำมันสามารถที่จะลอยตัวอยู่ในน้ำได้ เมื่อหั่นหมดผสมในน้ำ สารตัวทำลายเป็นสารเพิ่มคุณภาพที่สำคัญมากในน้ำมันหล่อลื่นชนิดผสมน้ำ ปริมาณและชนิดของสารตัวทำลาย เป็นตัวแปรที่กำหนดชนิดและคุณสมบัติของน้ำมันหล่อลื่นนั้นๆ หน้าที่หลัก คือการ

ลดแรงตึงผิวของอนุภาคนำมันเมื่อถูกตัวในน้ำ ซึ่งจะทำให้เกิดฟล์มน้ำมันอย่างมีเสถียรภาพ โดยไม่ทำให้เกิดการแยก หรือรวมตัวของน้ำมันออกเป็นอนุภาคอิสระ มีส่วนประกอบด้วยตารางที่ 2.3

### ตารางที่ 2.3 สารประกอบที่สำคัญของน้ำมันหล่อลื่นชนิดผสมน้ำ

1.สารหล่อลื่น (Lubricity Additives)	เพื่อหล่อลื่นและลดความร้อน ที่เกิดขึ้นบริเวณตัดเฉือนชิ้นงาน
2.สารต้านทานการสึกหรอ (Anti-Wear-Additive)	เพื่อลดการสึกหรอและการหลอมตัวของผิวสัมผัส
3.สารต้านทานการสัมผัส (EP Additive)	เพื่อลดความร้อนและการหลอมตัว โดยการสร้างฟล์มนเคลือบผิวของโลหะชิ้น
4.สารต้านทานการสึกกร่อน (Corrosion Inhibitors)	เพื่อป้องกันการสึกกร่อนของชิ้นงานและเครื่องจักร รวมทั้งชิ้นส่วนทางแสง ทองเหลือง
5.สารตัวทำละลาย (Emulsifiers)	เพื่อทำให้ออนภาคของน้ำมันหล่อลื่นอยู่ในน้ำอย่างมีเสถียรภาพ
6.สารตัวทานการตึงผิว (Surface Active Agent)	เพิ่มประสิทธิภาพการแทรกซึม และทำให้สารทั้งหมดสามารถตัวเข้ากันได้ดี
7.สารต้านทานการเกิดฟอง (Anti-foam)	สารลดการเกิดฟองอากาศ
8.สารต้านทานแบคทีเรีย (Bacteriostare)	เพื่อลดการเจริญเติบโตของสิ่งมีชีวิตเด็กๆ เช่น แบคทีเรีย เชื้อร้าย
9.สารแต่งกลิ่น (Deodorant)	แต่งกลิ่น ไม่ให้กลิ่นเหม็น

2.2.6 การเก็บรักษาน้ำมันหล่อลื่น วิธีเก็บรักษาผลิตภัณฑ์หล่อลื่นที่ดีที่สุดคือ เก็บไว้ในโรงเก็บที่สามารถป้องกันడีดและฝนโดยโรงเก็บจะต้องมีที่ระบายน้ำที่ดี ไม่ร้อนอบอ้าวจนเกินไป ซึ่งสาเหตุทำให้น้ำมันเสื่อมคุณภาพ

2.2.7 น้ำมันหล่อลื่นสัมผัสผิวน้ำหนังหรือร่างกาย โดยปกติผิวน้ำของมนุษย์จะมีไขมันตามธรรมชาติเคลื่อนอยู่ เพื่อเป็นเกราะป้องกันเชื้อโรคให้เข้าสู่ร่างกายทางผิวน้ำหนังได้โดยง่าย ผลิตภัณฑ์น้ำมันปิโตรเลียมมีอำนาจในการละลาย ฉะล้างไข มันธรรมชาติออกจากผิวน้ำหนัง เมื่อสัมผัสรือล้างด้วยน้ำมันปิโตรเลียม จะทำให้ผิวน้ำหนังมีความด้านทานเชื้อโรคและด้านทานการแพ้น้อยลง น้ำมันปิโตรเลียมเบา เช่น น้ำมันเบนซินและน้ำมันก๊าด มีอำนาจการละลายการฉะล้างที่รุนแรงกว่า แต่น้ำมันปิโตรเลียมหนักปานกลาง เช่นน้ำมันโซล่าและน้ำมันปิโตรเลียมหนัก เช่น น้ำมันเตา สารเพิ่มคุณภาพที่เป็นอันตรายต่อผิวน้ำหนังได้ เช่น กันดังนั้นมีผิวน้ำหนังสัมผัสน้ำมันปิโตรเลียมต่างๆ ได้ เช่น ระคายเคือง เป็นผื่นแดง ผิวน้ำหนังแตก หรือเป็นมะเร็งผิวน้ำหนัง ทั้งนี้ขึ้นอยู่กับระยะเวลาการสัมผัส ชนิดของน้ำมันที่สัมผัสและสภาพของผิวน้ำหนังว่าไวยากรณ์การแพ้เพียรไร

### ข้อแนะนำสำหรับผู้ปฏิบัติงาน

1. เครื่องจักรกลต่าง ๆ ควรมีอุปกรณ์ป้องกันติดตั้งไว้ เพื่อป้องกันมิให้มีน้ำมันกระเด็นสัมผัสกับช่างที่ปฏิบัติงานอยู่ หากยังมีการกระเด็นหรือมีหมอกน้ำมันเกิดขึ้น ควรนำอุปกรณ์ป้องกันสำหรับพนักงาน เช่น แวนต้า ที่สวมปีดจนูก และผ้ายางกันเปื้อน
2. ควรเมที่สำหรับให้พนักงานได้ล้างทำความสะอาดร่างกายได้สะอาดๆ พร้อมทั้งสนับสำหรับชำระล้าง ไม่ควรใช้ผงซักฟอก
3. หลีกเลี่ยงการสัมผัสกับน้ำมันปิโตรเลียมบ่อย ๆ หรือนาน ๆ หากไม่อาจหลีกเลี่ยงได้ให้ทาครีมป้องกัน (Barrier Cream) ก่อนลงมือปฏิบัติงาน และล้างด้วยสนับทันทีเมื่อเสร็จงาน
4. ไม่ควรล้างมือด้วยน้ำมันเบนซิล น้ำมันก้าด หรือน้ำมันโซล่า ควรใช้สนับในการชำระล้าง
5. ระวังเสื้อผ้า ถุงมือ ถุงเท้า และรองเท้า มิให้เปียกน้ำมัน และเมื่อเปียกต้องเปลี่ยนทันที ไม่ควรใส่เสื้อผ้า ถุงมือ ถุงเท้า และรองเท้า ที่เปียกน้ำมัน
6. ผ้าเช็ดมือที่ขึ้นด้วยน้ำมันไม่ควรเก็บไว้ในกระเป๋า
7. หลีกเลี่ยงการสูดลมไอน้ำมัน
8. หลีกเลี่ยงการคุกน้ำมันด้วยสายยาง โดยใช้ปากคุก

### 2.2.8 การเลือกใช้น้ำมันหล่อลื่น การเลือกใช้น้ำมันหล่อลื่นที่เหมาะสมกับงาน มีหลักเกณฑ์ตามตารางด้านล่าง โดยที่ลักษณะการทำงาน เช่น ลักษณะงาน และชนิดของวัสดุงานเป็นตัวแปรที่สำคัญ ตารางเลือกน้ำมันหล่อลื่นทั้งชนิดผสมน้ำและชนิดน้ำมันล้วน จะช่วยให้สามารถเลือกน้ำมันหล่อลื่นได้เหมาะสมง่ายขึ้น มีหลักเกณฑ์การเลือกใช้น้ำมันหล่อลื่น ดังนี้

1. การใช้งาน, ลักษณะงาน, ความเร็ว, อัตราการป้อน, ความลึกการตัดและวิธีใช้น้ำมันหล่อลื่น
2. ชนิดและขนาดชิ้นงาน
3. ชนิดวัสดุคงมีดและมุนคงมีด
4. ชนิดเครื่องจักรและความสมของเครื่องจักร
5. การต้องการของผู้ใช้งาน
6. ความปลอดภัยในการใช้งาน
7. สิ่งแวดล้อม
8. ต้นทุน

### 2.2.9 การใช้น้ำมันหล่อลื่นชนิดผสมน้ำและชนิดน้ำมันล้วน

1. น้ำมันผสม น้ำมันส่วนมากสำคัญมากในการใช้น้ำมันชนิดผสมน้ำ และผู้ใช้มักไม่ให้ความสำคัญเท่าที่ควร ทั้ง ๆ ที่การใช้น้ำที่ไม่ได้คุณภาพจะทำให้เกิดผลเสียอย่างมาก และยังทำให้น้ำมันชนิดผสมน้ำใช้ไม่ได้คุณภาพอย่างที่ควรจะเป็นด้วย การใช้น้ำมันที่มีการปนเปื้อนของครอร์ด

หรือกำมะถัน จะทำให้คุณสมบัติการป้องกันสนิมลดลง โดยเฉพาะอย่างยิ่งเมื่อผ่านการใช้งานไประยะหนึ่ง การใช้น้ำ DI (Deionized water) จะทำให้น้ำมันผสมน้ำ สามารถละลายในน้ำและมีการอยู่ตัวในน้ำได้ดี แต่อาจทำให้เกิดฟองได้ง่าย โดยเฉพาะการใช้งานที่มีแรงจีบน้ำมันสูง น้ำที่มีความกระด้างสูงจะทำให้เกิดคราบสนุ่ลลอยบนผิวน้ำ (Scum) และการแยกชั้นของน้ำมันออกจากน้ำ ซึ่งเป็นสาเหตุให้เกิดการเสื่อมคุณภาพก่อนเวลาอันควร การเลือกใช้น้ำมันที่เหมาะสม และการเติมสารบางชนิดเพื่อปรับปรุงคุณภาพให้เหมาะสม และการเติมสารบางชนิด เพื่อปรับปรุงคุณภาพให้เหมาะสมอาจเป็นสิ่งที่จำเป็น

#### คุณสมบัติเหมาะสมของน้ำมันหล่อลื่น

- ลักษณะทางกายภาพของน้ำ	ใส ไม่มีกลิ่น
- รสของน้ำ	จืด ไม่มีรส
- ค่าความเร็วกรด ด่าง	6 – 7.5
- ค่าความกระด้าง	0 – 350 mg/ CaCO <sub>3</sub>
- ปริมาณ SO <sub>2</sub> , NO <sub>3</sub>	< 30 ppm
- การปนเปื้อนพังชักฟอก	ไม่มี
- ปริมาณแบคทีเรีย หรือเชื้อราก	< 100 ml

**2.2.10 การล้างเปลี่ยนน้ำมันหล่อลื่นชนิดผสมน้ำ** การล้างเปลี่ยนน้ำมันหล่อลื่น เป็นขั้นตอนที่มีการให้ความสนใจอย่างสุด แล้วไม่ว่าจะล้างเปลี่ยนด้วยสาเหตุใดก็ตาม เช่น เปลี่ยนล้าง เพราะการเกิดการเหม็นเน่า หรือล้างเพื่อเปลี่ยนการบำรุงรักษาเครื่องในขณะที่น้ำมันหล่อลื่นที่ใช้ยังอยู่ในสภาพดี การล้างเปลี่ยนที่ถูกต้อง คือ การทำความสะอาดให้ปราศจากสิ่งเจือปนเพื่อให้น้ำมันหล่อลื่นที่จะเติมลงไปสามารถใช้งานได้เต็มประสิทธิภาพ โดยทั่วไปการเปลี่ยนถ่ายน้ำที่มันเก่าออกแล้วเติมน้ำมันลงไป จะไม่สามารถกำจัดเชื้อแบคทีเรียและเชื้อรากออกไปจากระบบน้ำมันหล่อลื่นได้ แต่ยังทำให้อาชญากรรมใช้งานของน้ำมันหล่อลื่นที่ผสมใหม่สันลงด้วย ดังนั้น การเปลี่ยนที่ถูกวิธีจึงเป็นสิ่งที่ควรทำให้คุ้มค่าและเวลาที่เสียไปมากกว่าการเปลี่ยนถ่ายเพียงอย่างเดียว

##### 1. ขั้นตอนการล้างเปลี่ยนน้ำมันหล่อลื่น

ก. ตรวจสอบสภาพน้ำมันหล่อลื่น การเจือปนของแบคทีเรีย กลิ่น สี และสภาพการเจือปนของสารอื่นๆ

ข. เติมน้ำยาล้างเครื่องประมาณ 2 % ลงในน้ำมันหล่อลื่นที่กำลังทำงาน และใช้งานหรือเดินระบบให้หมุนเวียนให้ทั่วอย่างน้อย 6 ชั่วโมง(คุณแนะนำการใช้งานของน้ำยาล้างเครื่องประกอบ)

ค. ถ่ายน้ำมันหล่อลื่นทิ้ง และทำความสะอาดเครื่องด้วยผ้าหรือแปรง

ง. เติมน้ำมันหล่อลื่นผสมเพื่อการใช้งานด้วยอัตราส่วนที่ถูกต้อง

## 2. การทดสอบน้ำมันหล่อลื่น

- ก. กำหนดอัตราส่วนที่ต้องการใช้งาน
- ข. กำหนดปริมาณของน้ำสะอาดทั้งหมดที่ต้องการใช้แล้วเติมลงในเครื่อง
- ค. คำนวณปริมาณของน้ำมันหล่อลื่นชนิดทดสอบน้ำที่ต้องใช้
- ง. ค่อยๆ เก็บน้ำมันหล่อลื่นลงในน้ำอย่างช้าๆ และสังเกตว่า น้ำมันหล่อลื่นรวมตัวกันน้ำได้อย่างสมบูรณ์
- จ. ตรวจสอบอัตราส่วนทดสอบด้วยกล้องรีเฟลก โคมิเตอร์ทุกครั้งหลังจากทดสอบเข้ากันดีแล้ว และควรตรวจสอบอย่างสม่ำเสมอ

### 2.2.11 การดูแล และปัญหาในขณะใช้งานน้ำมันหล่อลื่น

1. น้ำมันปนเปื้อน (Tramp Oil) คือน้ำมันอื่น ๆ ทั้งหมดที่ไม่ใช่น้ำที่ปะปนเข้าไปในระบบน้ำมันหล่อลื่น อาจโดยการรั่วของระบบน้ำมันหล่อลื่น หรือโดยการฉลางคราบน้ำมันต่าง ๆ ในเครื่องหรือชิ้นงานที่มีกราบน้ำมันติดอยู่ของน้ำมันหล่อลื่น หรืออื่น ๆ ที่ทำให้เกิดการปนเปื้อนของน้ำมันหล่อลื่น ผลกระทบจากน้ำมันปนเปื้อน

- ก. อัตราส่วนการรวมตัวของน้ำมันทดสอบน้ำไม่ถูกต้อง
- ข. แบคทีเรียเจริญเติบโตได้ดี
- ค. ระบบการไหลของน้ำมันหล่อลื่นติดขัด
- ง. เกิดสนิมที่เครื่องจักร และอาจเกิดที่ชิ้นงาน
- จ. มีกลิ่นเหม็น เนื่องจากแบคทีเรีย
- ฉ. คุณภาพความเรียบของชิ้นงานลดลง
- ช. สูญเสียประสิทธิภาพการผลิต เนื่องจากต้องหยุดเครื่องเพื่อเปลี่ยนถ่ายน้ำมัน
- ซ. ต้นทุนการผลิตเพิ่มขึ้น

2. แบคทีเรียและเชื้อรา น้ำมันหล่อลื่นชนิดทดสอบน้ำ มีโอกาสที่จะพบกับเชื้อแบคทีเรียและเชื้อราอยู่ตลอดเวลา มีเชื้อเหล่านี้อยู่ในโลกมากหมายหลายชนิดแต่ละชนิดสามารถเจริญเติบโตได้ดีในสภาพแวดล้อมแตกต่างกัน ที่พบน้ำมันหล่อลื่นต่อมนุษย์ โดยกว้างๆ สามารถแบ่งแบคทีเรียได้ 2 ชนิด คือ แบคทีเรียที่ใช้ออกซิเจนในการเพิ่มจำนวน และที่ไม่ต้องใช้ออกซิเจนในการเพิ่มจำนวน ซึ่ง แบคทีเรียนิดหลังจะใช้ในโตรเจน หรือกำมะถัน และเป็นตัวการที่ทำให้เกิดกลิ่นเน่าเหม็นขึ้น โดยเฉพาะเมื่อระบบมีออกซิเจนอย่างน้อย นอกจากนี้ยังมีแบคทีเรียอีกชนิดหนึ่ง ซึ่งสามารถมีชีวิตอยู่ในน้ำมัน โดยเฉพาะในสภาพที่เป็นคราลดบน้ำมันโดยอยู่บนน้ำ และเป็นชนิดที่ตายอย่างมาก

## ข้อควรจำ

เมื่อน้ำมันมีโอกาสสัมผัส กับร่างกายและเกิดอาการระคายเคือง ให้รับถังด้วยสนู๊ฟ์ไม่ควรถังด้วย พงซักฟอก ซึ่งมีความเป็นค่าสูง เพราะจะยิ่งฉะถังไข้มันธรรมชาติออกໄปอึก อาจช้ำโอมด้วยไข้น้ำ คลาไมน์เพื่อลดอาการคัน หลีกเลี่ยงการเกา และควรปรึกษาแพทย์เมื่อเกิดอาการ วิงเวียน คลื่นไส หรือปวดศีรษะเนื่องจากสูดลมไอน้ำมันเข้าไปมาก ควรพักผ่อนในที่โล่ง ที่มีอากาศบริสุทธิ์และได้รับ ความอบอุ่นเพียงพอ หากอาการรุนแรง อาจต้องพยายามปอดหรือให้ออกซิเจน ถ้าไม่ดีขึ้นให้ไปพบแพทย์ ทันที ผลกระทบแบบที่เรียและเชื้อร้า

1. ตัวทำลายเมื่อเปลี่ยนประสิทธิภาพ ทำให้เกิดการแยกชั้นของน้ำมันกับน้ำ
2. สีของน้ำมันกับน้ำเปลี่ยน
3. ค่าความเป็นกรด ค่าลดลง
4. ประสิทธิภาพของการป้องกันสนิมลดลง
5. เกิดกลิ่นเหม็น
6. เกิดการอุดตันของระบบฉีดน้ำมันหล่อเย็น
7. อาจเกิดผลกระทบด้านความปลอดภัยแก่ผู้ใช้งาน
8. ประสิทธิภาพการหล่อลื่นและการรับแรงกดลดลง
9. ตันทุนการผลิตเพิ่มขึ้น
10. ประสิทธิภาพการผลิตลดลง

## วิธีการควบคุมแบบที่เรียและเชื้อร้า

1. ใช้น้ำสะอาดและอุปกรณ์ที่สะอาดเมื่อต้องการผสมน้ำมันหล่อเย็น
2. กำจัดเศษโลหะ น้ำมันloyหน้า และคราบสกปรกต่าง ๆ อยู่สม่ำเสมอ
3. อย่านำสิ่งสกปรกที่เน่าเสียได้ แปบปนลงในระบบนำหล่อเย็น
4. นำเชื้อในระบบนำน้ำมันหล่อเย็นก่อนผสมน้ำมันหล่อเย็นลงในระบบทุกครั้ง
5. ใช้น้ำมันหล่อเย็นที่มีการควบคุมแบบที่เรียและเชื้อร้า
3. ควันและการเกิดความร้อนสูง การเกิดความร้อนสูง หรือควันในขณะใช้งานนำน้ำมันหล่อเย็น อาจเกิดจาก
  - ก. การปิดเนื่องชื้นงานเกินกำลังของเครื่องมือหรือของเครื่อง ( Overloadig )
  - ข. นำน้ำมันหล่อเย็นที่ใช้ไม่เหมาะสม
  - ค. อัตราการไหลของนำน้ำมันหล่อเย็น ไม่เพียงพอ
  - ง. ระดับนำน้ำมันหล่อเย็นต่ำเกินไป
  - จ. ความดันนำน้ำมันหล่อเย็นสูงเกินไป

4. พองน้ำมันหล่อลื่น การเกิดฟองในน้ำมันหล่อลื่น อาจเกิดขึ้นได้ทั้งน้ำมันหล่อลื่นชนิดผสมน้ำและชนิดน้ำมันล้วน ซึ่งมีสาเหตุจาก

ก. มีพองอากาศภายในปืน เนื่องจากระดับน้ำมันหล่อลื่นในระบบต่ำเกินกำหนด หรือเกิดการปั่นในน้ำมันหล่อลื่นภายในปืน

ข. แรงดึงของน้ำมันหล่อลื่นสูงเกินไป

ค. อัตราส่วนผสมน้ำมันหล่อลื่นกับน้ำมากเกินไป

ง. น้ำที่ใช้ผสมเป็นน้ำอ่อนมาก

5. การคุ้แลรักษาน้ำมันหล่อลื่นชนิดผสมน้ำและใช้งาน การคุ้แลรักษาน้ำมันหล่อลื่นชนิดผสมน้ำและใช้งาน มีความสำคัญอย่างยิ่งต่อประสิทธิภาพที่ผู้ใช้ได้รับ การคุ้แลรักษาน้ำมันหล่อลื่นดังที่แนะนำดังตารางที่ 2.4 จะทำให้อายุการใช้งานของน้ำมันใช้งานยืดอายุการใช้งานของเครื่องจักรและคอมเครื่องมือ ตลอดดึงมิตอคุณภาพของชิ้นงานและสภาพแวดล้อมในการทำงานที่ดีขึ้น เกิดของเสียงน้อย ช่วยลดต้นทุนในการผลิตทั้งหมดลง

#### ตารางที่ 2.4 ข้อแนะนำการตรวจสอบน้ำมันหล่อลื่นชนิดผสม

สิ่งที่ตรวจสอบ	ความถี่ที่ตรวจสอบ	ระดับที่ควบคุม	ระดับที่ควรเปลี่ยนถ่าย
ลักษณะทางกายภาพ	ทุกวัน	เปรียบเทียบกับน้ำมันผสมใหม่	การเปลี่ยนสภาพอย่างมาก
กลิ่น	ทุกวัน	เปรียบเทียบกับน้ำมันผสมใหม่	มีกลิ่นเน่าเหม็นเหมือนกลิ่นไข่เน่า
การอุดตันของน้ำมันหล่อลื่น	ทุกสัปดาห์	ไม่มีการแยกตัว หรือคราบจาง ๆ	มีการแยกตัวของน้ำมันอย่างมาก
อัตราส่วน	ทุกวัน	ช่วง +/-10% จากค่าที่กำหนด	มีการเปลี่ยนสภาพอย่างผิดปกติ
PH	สัปดาห์ละ 2 ครั้ง	8.5 ถึง 9.5	ต่ำกว่า 7.5
ปริมาณแบททีเรีย และเชื้อร้า	เดือนละครั้งหรือตามความจำเป็น	สูงสุดไม่เกิน $10^3$	มากกว่า $10^7$
น้ำมันอื่นเจือปน	ทุกวัน	คราบน้ำ ฯ หรือไม่มี	ค่อนข้างมาก

#### หมายเหตุ

รายละเอียด “สิ่งที่ตรวจสอบ” จากตารางที่ 1.3

ก. ลักษณะทางกายภาพ การตรวจที่ง่ายที่สุดคือ การตรวจโดยการสังเกตลักษณะของน้ำมันหล่อลื่น เช่น สี คราบน้ำมันลอยหน้า ลักษณะของคราบสนุ่น ตะกรันซึ่งสู่ปฏิบัติงานที่เครื่องครารที่จะดับน้ำที่ลักษณะของน้ำมันหล่อลื่นและแหล่งที่มาของปัญหาหนึ่ง ๆ ไว้

**ข. กลิ่น การตรวจลิ่นเป็นวิธีแสดงถึงระดับของปริมาณแบบที่เรียกว่าเป็นอย่างดี ควรบันทึกและเก็บไว้ทันที**

ก. ลักษณะการอยู่ตัว การตรวจการอยู่ตัวของน้ำมันหล่อลื่น ทำได้ง่าย ๆ โดยการเก็บตัวอย่างน้ำมันหล่อลื่นที่ใช้งาน และสังเกตลักษณะที่เป็นคราบที่ผิว และลักษณะความเข้มข้นจาง ๆ ที่ด้านล่างของตัวอย่างที่เก็บ ซึ่งจะแสดงระดับการอยู่ตัวของน้ำมันหล่อลื่น

**6. การคุ้นเคยน้ำมันหล่อลื่น ชนิดน้ำมันล้วนขณะใช้งาน**

ก. สังเกตลักษณะทางกายภาพ เช่น กลิ่น และการไหลของน้ำมันหล่อลื่นทุก ๆ วัน ควรสังเกตและจดบันทึกลักษณะของสารหล่อลื่นที่งานจะมีการผลิตปริมาณลง เนื่องจากการติดไปกับเศษโลหะและชิ้นงาน ซึ่งจำเป็นที่จะต้องมีการเติมน้ำมันใหม่เพิ่มลงไปอย่างสม่ำเสมอ ซึ่งการเติมน้ำมันใหม่เข้าไปในระบบจะมีส่วนช่วยให้น้ำมันมีคุณสมบัติที่เหมาะสมอยู่ได้เป็นระยะเวลานาน ทั้งนี้ ขึ้นอยู่กับปริมาณน้ำมันที่ต้องเติมเพิ่ม อุณหภูมิของน้ำมันในอ่าง อุณหภูมิของน้ำมันในขณะตัดกึ่งสภาพความสกปรกของชิ้นงานประสีทิชิภาพของการกรองน้ำและความละเอียดของชิ้นงานที่ต้องการหักหมุดนี้ล้วนมีผลอย่างมาก และปัจจัยการกำหนดการคุ้นเคยน้ำมัน

ข. หมั่นกำจัดเศษโลหะและสิ่งสกปรกอื่น ๆ ออกจากระบบน้ำมันหล่อลื่น โดยทั่วไปทุก ๆ สัปดาห์ควรตรวจสอบการกรองน้ำมันหล่อลื่น และทำความสะอาดทันทีที่เห็นว่าระบบกรองน้ำมันหล่อลื่นสกปรก

ก. หมั่นตรวจสอบความเย็น และ ระบบคุณภาพของน้ำมัน โดยทั่วไปทุก ๆ เดือน ควรจัดให้มีการตรวจสอบความเย็นของน้ำมัน(ถ้ามี) และระบบคุณภาพของน้ำมัน(ถ้ามี) เพื่อให้แน่ใจว่าอุณหภูมิของน้ำมันหล่อลื่นไม่สูงมากจนเป็นสาเหตุให้เกิดการเสื่อมสภาพของน้ำมันหล่อลื่น

ง. หากพบสิ่งปนเปื้อนหรือไม่แน่ใจว่าน้ำมันหล่อลื่นอยู่ในสภาพที่เหมาะสม อาจส่งตัวอย่างของน้ำมันเพื่อทำการวิเคราะห์คุณสมบัติ ซึ่งสามารถทราบรายละเอียดได้ โดยติดต่อแผนกเทคนิค น้ำมันหล่อลื่นของบริษัทผู้ผลิตน้ำมันนั้น

**7. ปริมาณน้ำมันหล่อลื่นในระบบ      ปริมาณน้ำมันหล่อลื่นทั้งหมดในระบบ      มีผลต่อประสิทธิภาพของน้ำมันหล่อลื่น ดังนี้**

ก. ใน การใช้งาน น้ำมันหล่อลื่นจะมีการสูญเสียไปเนื่องจากการกระเด็นออกจากระบบ และการเกิดละอองจากการติดไปกับชิ้นงานและเศษโลหะ

ข. ในกรณีใช้งาน จะต้องมีการเติมน้ำมันหล่อลื่นเพิ่มเข้าไปในระบบ และระดับของน้ำมันหล่อลื่นไม่ควรต่ำกว่าที่กำหนดไว้ในเครื่อง เนื่องจากทำให้การระบายความร้อนต่ำลง อาจทำให้เกิดฟองอากาศขึ้น ทำให้เกิดควันฟองอากาศ และประสิทธิภาพลดลงได้

### 2.3 คุณภาพผิวงาน (Quality of Machine Surfaces) [6]

การขึ้นรูปโดยการตัดเฉือน เพื่อให้ได้รูปแบบชิ้นงานตามที่ต้องการ จะต้องคำนึงถึงปัจจัยและผลที่จะเกิดขึ้นกับงานที่ทำสำเร็จ ซึ่งผลที่เกิดขึ้นหลังการตัดเฉือนอย่างหนึ่งคือคุณภาพผิวงาน โดยปกติของการผลิตทั่วๆไปมักจะต้องการงานที่มีคุณภาพผิวที่ดี เนื่องจากชิ้นงานที่มีคุณภาพผิวงานที่ดี จะมีผลต่อความสวยงามเมื่อมีการประกอบชิ้นส่วน และต่อความเสียดทานเมื่อต้องมีการเคลื่อนที่ของชิ้นส่วนที่สัมผัสกัน ลักษณะทั่วไปของผิวงานที่ผ่านการแปรรูปและผ่านการตัดเฉือน รวมทั้งองค์ประกอบหลักๆของสภาพผิวงาน เป็นดังรูปที่ 2.9 ได้แก่

1. ผิวงาน (Surface) หมายถึงขอบเขตหรือบริเวณ ที่แยกออกจากส่วนเนื้อวัสดุงาน รูปร่างและลักษณะผิวงาน ระบุได้ด้วยรูปภาพ (Drawing) หรือคำอธิบายคำจำกัดความ (Descriptive Specifications)
2. รูปทรงผิว (Profile) หมายถึงเส้นที่แสดงลักษณะพื้นผิวงาน ตลอดภาคหน้าตัดที่ถูกนำมาพิจารณา
3. ความหยาบของผิว (Roughness) หมายถึงความผิดปกติของผิวงานที่ผ่านกระบวนการตัดเฉือนอันเนื่องมาจากการตัดของมีด และจากอัตราปีオン
4. คลื่นของผิวงาน (Waviness) หมายถึง ความผิดปกติของผิวงาน ที่มีระยะในการพิจารณา กว้างกว่าช่วงความหยาบผิว เกิดขึ้นจากการ ก่อตัวของทั้งชิ้นงาน และการหลุมคลอนของชิ้นส่วนเครื่องจักรกล รวมทั้งการสั่นสะเทือนขณะทำการตัดเฉือน
5. ฟลอ (Flaw) หมายถึงความผิดปกติของผิวงาน ที่เกิดขึ้นที่จุดใดจุดหนึ่งบนผิวงาน เช่นรอยขีดข่วน รอยแตก รูพรุน เป็นต้น
6. เลย (Lay) หมายถึง แนวทิศทางของรอยสัน ส่วนยอดความหยาบของผิวที่ตรวจสอบ



รูปที่ 2.9 ภาพสามมิติผิวงานหลังการตัดเฉือนและภาพด้านข้างผิวงาน

อัตราส่วนระหว่าง  $l_1 / h_1$  จะเป็นตัวกำหนดลักษณะความผิดปกติของผิวงานดังต่อไปนี้  
 $l_1 / h_1 > 1000$  หมายถึง งานชิ้นนี้ไม่มีลักษณะกลม (Out of Roundness)  
 $l_2 / h_2 \geq 150 \leq 500$  หมายถึง ผิวงานมีลักษณะเป็นคลื่น (Waviness)  
 $l_3 / h_3 \leq 50$  หมายถึง ผิวงานที่สามารถตรวจสอบหาความเรียบของผิวงานได้

### 2.3.1 องค์ประกอบที่มีผลต่อความเรียบผิวงาน

คุณภาพผิวงานที่จะทำการตัดเนื้อน สามารถกำหนดได้ว่าต้องการให้ผิวงานที่ได้ มีลักษณะอย่างไร จึงจะเหมาะสมกับการใช้งาน ซึ่งสมบัติดังกล่าวจะขึ้นอยู่กับองค์ประกอบดังต่อไปนี้

1. ความแข็งแรงของเครื่องจักร และความเที่ยงตรงของวัสดุรองลื่น (Bearing)
2. คุณสมบัติที่เหมาะสมต่อการตัดเนื้อนเป็นผิวสำเร็จของวัสดุงาน
3. ชนิด ประเภท และลักษณะของวัสดุมีด
4. การเลือกใช้วัสดุน้ำมันตัดเนื้อน
5. ลักษณะของการเกิดเศษ
6. มนุษย์ที่ใช้
7. ตัวแปรที่ใช้ในการตัดเนื้อน ได้แก่ อัตราป้อน ความลึกรอยตัด และความเร็วตัด

### 2.3.2 ลักษณะของการเกิดเป็นคลื่น (Waviness) ของผิวงาน

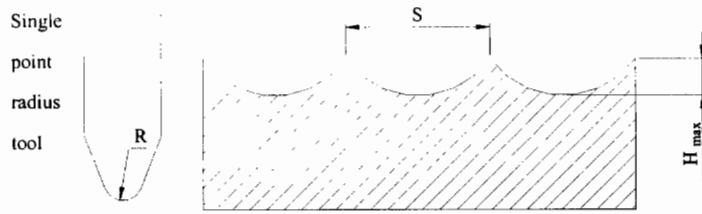
โดยปกติความผิดปกติของผิวงานดังกล่าว จะเกิดจากการสั่นสะเทือนระหว่างทำการตัดเนื้อน ซึ่งมีสาเหตุมาจากการปัจจัยต่างๆดังนี้

1. การสั่นสะเทือนจากภายนอกเครื่องจักร
2. จากการเหวี่ยงหนีศูนย์ของชิ้นส่วนภายในของเครื่องจักร
3. ความบกพร่องจากระบบการทำงานของเครื่องจักร
4. เกิดจากการสั่นสะเทือนภายในของวัสดุเอง

### 2.3.3 องค์ประกอบของความเรียบของผิวงาน

จะเกิดจากปัจจัยที่สำคัญหลัก 2 ประการคือ อัตราป้อน และ ลักษณะของส่วนคงตัว เมื่อพิจารณาจาก การตัดเนื้อนที่ไม่มีการเกิดพอกมีดที่คงตัว (Built Up Edge, BUE) ความสูงของยอดผิวงานที่ขรุขระหาได้จากการตัดเนื้อน

1. ในการนีของมีดกลึงปลายมน (Single Point Radius Tool) ผิวงานจะมีลักษณะดังรูปที่ 2.10



รูปที่ 2.10 ภาพขยายลักษณะผิวงานที่เกิดจากการตัดเฉือนด้วย  
มีคกึ่งแบบปลายมน (Single Point Radius Tool)

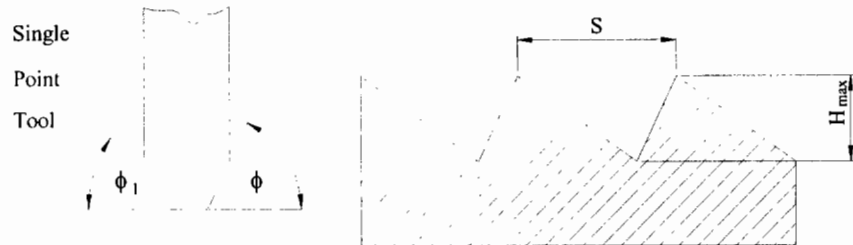
$$H_{max} = s^2 / 8R \quad \text{มิลลิเมตร} \quad (2-1)$$

$H_{max}$  = ยอดสูงสุดผิวงานที่ขรุขระ มิลลิเมตร

$s$  = อัตราป้อน/รอบ มิลลิเมตรต่อรอบ

$R$  = รัศมีปลายคมตัด มิลลิเมตร

2. ในกรณีของมีคกึ่งแบบปลายแหลม (Single Point Turning Tool, Nose Radius = 0) ผิวงานจะมีลักษณะดังรูปที่ 2.11



รูปที่ 2.11 ลักษณะผิวงานที่เกิดจากการตัดเฉือนด้วยมีคกึ่งแบบปลายแหลม (Single Point Tool)

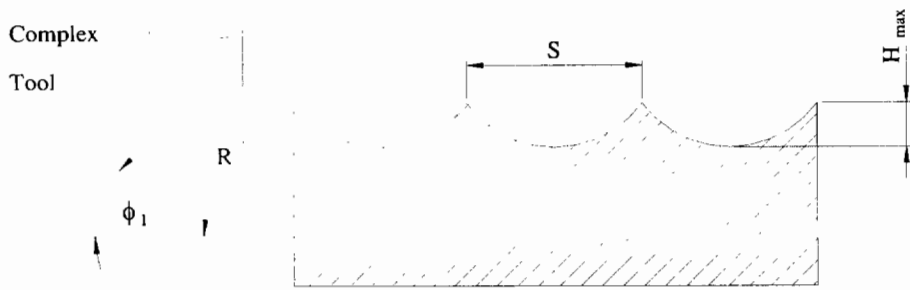
$$H_{max} = s / (\cot\phi + \cot\phi_1) \quad \text{มิลลิเมตร} \quad (2-2)$$

$s$  = อัตราป้อน / รอบ มิลลิเมตรต่อรอบ

$\phi$  = นูนคมตัดค้านข้าง (Side Cutting Edge Angle) องศา

$\phi_1$  = นูนคมตัดปลายมีค (End Cutting Edge Angle) องศา

3. ในกรณีของมีคกึ่งปลายคอมเพล็ก(Complex Point Tool) ผิวงานจะมีลักษณะดังรูปที่ 2.12



รูปที่ 2.12 ลักษณะผิวงานที่เกิดจากการตัดเฉือนด้วยมีดกลึงปลายแบบคอมเพล็ก

$$H_{max} = stan\phi_1 + (R/2tan^2\phi_1) - (2sRtan^3\phi_1)^{0.5} \quad (2-3)$$

$s$  = อัตราป้อน/รอบ มิลลิเมตรต่อรอบ

$R$  = รัศมีปลายคมตัด มิลลิเมตร

$\phi_1$  = นุ่นคมตัดปลายมีด องศา

2.3.4 ปัจจัยอื่นที่มีผลกระทบต่อความเรียบผิวงาน นอกเหนือนี้ยังมีปัจจัยอื่นๆ ที่มีผลต่อความเรียบผิวงาน จากการศึกษาเพื่อทำความเรียบผิวงานที่ได้จากการตัดเฉือน ที่อัตราป้อน 0.15 มิลลิเมตรต่อรอบ ความลึกรอยตัด 3.8 มิลลิเมตร ที่ความเร็วตัดขนาดต่างๆ จะได้ความเรียบผิวงาน ปัจจัยสำคัญที่มีผลต่อความเรียบของผิวงาน อีกประการหนึ่งคืออัตราการป้อน(Feed Rate) ซึ่งโดยปกติแล้วอัตราการป้อนต่ำ จะให้ค่าความเรียบผิวงานดีกว่าอัตราป้อนที่มากกว่า

$$R_A = f^2 / (32-R) \text{ ไมครอน} \quad (2-4)$$

$f$  = อัตราป้อน/รอบ มิลลิเมตรต่อรอบ

$R$  = รัศมีปลายมีด มิลลิเมตร

## 2.4 การเกิดเศษโลหะจากการกลึงงานทั่วไป [7]

การเกิดของเศษโลหะ เป็นผลมาจากการเฉือนของชิ้นงานบนระนาบเฉือน แต่เศษโลหะที่เกิดขึ้นอาจจะเป็นเส้นยาว หรืออาจจะเป็นท่อนสั้น ๆ โดย

2.4.1 การเกิดของเศษโลหะเส้นยาว จะทำให้เกิดแรงตัดที่สม่ำเสมอ เม็ดมีดและชิ้นงานสั่น สะเทือน น้อย ซึ่งน่าจะเป็นสิ่งที่ดี แต่เศษโลหะยาวกำจัดยาก และอาจจะเป็นอันตราย เพราะอาจบาดช่างคุณเครื่อง หรือ พันรอบชิ้นงาน ทำให้เป็นอุปสรรคในการทำงาน

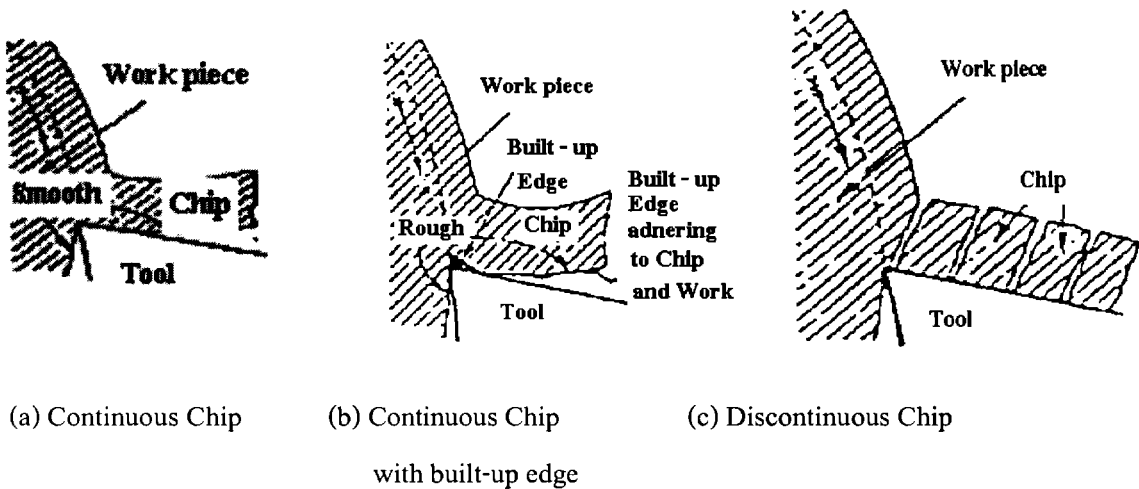
**2.4.2 การเกิดเศษโลหะท่อนสั้นๆ** นั้นทำให้เกิดแรงตัดที่ไม่สม่ำเสมอ คือสูงๆ ต่ำๆ เมื่อมีดและชิ้นงานสั่นสะเทือนมาก แต่เศษโลหะกำจัดง่ายและไม่เป็นอันตราย การควบคุมให้เศษโลหะมีลักษณะตามความต้องการ บางครั้งก็มีความจำเป็น โดยอาจจะเลือกใช้มีดมีลักษณะที่ช่วยหักเศษให้เป็นท่อนสั้น ๆ และอาจจะต้องใช้อุปกรณ์ป้องกัน(Guard) สำหรับป้องกันเศษไม่ให้ออกมาจากบริเวณที่จำกัดไว้ จะได้ไม่ทำอันตรายหรือรบกวนการทำงาน

#### **2.4.3 กระบวนการตัดโลหะ มี 3 กระบวนการ เกิดขึ้นพร้อมกันคือ**

1. กระบวนการตัดเฉือน (Shearing Process) เกิดบริเวณแคน ๆ ต่อเนื่องตั้งแต่คมมีดไปจนถึง Unmachined Work Surface บริเวณนี้อาจแสดงได้โดยเห็นบาง ๆ ที่เรียกว่า Shear Plane (ระนาบเฉือน) หรือ Thin Shear Zone
2. กระบวนการความตื้น (Friction Process) เกิดในบริเวณผิวสัมผัสของเศษโลหะและ Rake Face บางที่เรียกว่า Secondary Shearing Process
3. กระบวนการที่เข้าใจกันว่าเป็นการขัดตีระหง่านพื้นผิวของ Machined Work Surface กับ Clearance Face ซึ่งเกิดจากมีดตัดไม่อาจจะคมโดยสมบูรณ์ที่เรียกว่า Edge Effect

#### **2.4.5 ชนิดของเศษโลหะเกิดขึ้นแบ่งออกได้ 3 ลักษณะ คือ**

1. เศษโลหะต่อเนื่อง (Continuous Chips) รูปที่ 2.13 (a) เกิดขึ้นในกรณีที่วัสดุชิ้นงานเป็นวัสดุหนึบ เช่น เหล็กกล้าคาร์บอนต่ำ อลูминิียมผสมและ Stainless ลักษณะของเศษโลหะจะเป็นเส้นยาว เคลื่อนที่สัมผัสกับผิวคายเศษโลหะเป็นระยะทางเล็กน้อย จากนั้นก็จะเคลื่อนที่พ้นผิวคายเศษโลหะออกไป การแปรรูปของเศษโลหะเกิดขึ้นในสองบริเวณ คือ เขตการแปรรูปหลัก(Primary Deformation Zone) หรือตามสมมติฐานก็คือ ระนาบเฉือน เพราะเนื่องจากการแปรรูปจากวัสดุชิ้นงานกล้ายเป็นเศษโลหะเกิดขึ้นเพราการเฉือน บริเวณที่สองเกิดการแปรรูปโดยความดันระหว่างผิวคายเศษโลหะกับเศษโลหะ ส่วนที่สัมผัสกับผิวคายเศษโลหะ เรียกว่า เขตการแปรรูปรอง (Secondary Deformation Zone)

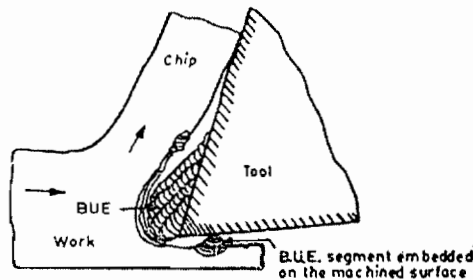


รูปที่ 2.13 แสดงลักษณะของเศษแบบต่าง ๆ

2. เศษโลหะต่อเนื่องที่มีการเย็บติดที่คมตัด (Continuous Chips with built-up Edge) รูปที่ 2.13 (b) เนื่องจากผลของการตัดบริเวณผิวสัมผัสระหว่างเศษโลหะและเครื่องมือตัดมีอุณหภูมิสูงประกอบกับความดันขนาดมหาศาลในบริเวณนั้น ทำให้มีเนื้อบางส่วนของเศษโลหะเย็บติดอยู่ที่บริเวณคมตัดและผิวภายใน โลหะ มีผลให้ความเสียดทานในบริเวณนั้นเพิ่มสูงขึ้น รูปที่ 2.14 (a) ซึ่งขัดขวางการเคลื่อนที่ของเศษโลหะ จึงเกิดการพอกตัวเพิ่มของส่วนที่เย็บติดรูปที่ 2.14 (b) เมื่อส่วนนี้พอกตัวเพิ่มสูงขึ้นจนถึงขนาดที่เรียกว่า ขนาดวิกฤต (Critical Size) รูปที่ 2.14 (c) ชิ้นส่วนนี้ก็จะหลุดออกมารีบบ้างส่วนจะติดไปกับเศษโลหะและบางส่วนจะฝังตัวอยู่บนผิวสำเร็จ ซึ่งจะทำให้คุณภาพของผิวสำเร็จแลวลดลง

การเย็บติดที่คมตัดจะเกิดเป็น วัฏจักร คือ เกิดขึ้นแล้วหลุดออกไปแล้วก็เกิดขึ้นใหม่ ซึ่งจะเพิ่มอัตราการสึกหรอของเครื่องมือตัด เนื่องจากส่วนที่หลุดออกไปนี้จะมีเนื้อของเครื่องมือตัดติดอยู่ไปด้วย การเพิ่มความเร็วตัดให้สูงขึ้น มีผลให้ส่วนที่เย็บติดอ่อนตัวลง จึงทำให้ขนาดวิกฤตเล็กลงด้วย ซึ่งเมื่อเพิ่มความเร็วตัดขึ้นสูงเพียงพอ จะไม่พบส่วนที่เย็บติดนี้

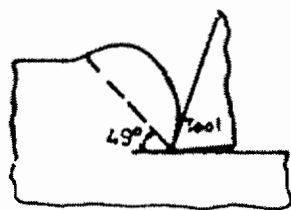




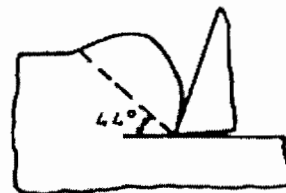
( c ) BUE grown to a critical size

### รูปที่ 2.14 แสดงขั้นตอนการเยิ่มติดที่คัมตัด

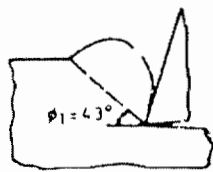
3. เศษโลหะไม่ต่อเนื่อง (Discontinuous Chip) เศษโลหะชนิดนี้เกิดขึ้นเมื่อวัสดุชิ้นงานเป็นวัสดุประจำ เช่น เหล็กกล่อง ทองเหลืองที่มีส่วนผสมของสังกะสีอยู่มาก กลไกของการเกิดเศษโลหะชนิดนี้จะแตกต่างจากกลไกที่เกิดขึ้นเมื่อวัสดุชิ้นงานเป็นวัสดุเหนียว เนื่องจากวัสดุประจำมีคุณสมบัติไม่สามารถรับความเค้นเฉือนที่บริเวณเขตการแปรรูปหลัก จึงเกิดการแตกออกเป็นชิ้นเล็ก ๆ ดังแสดงในรูปที่ 2.15 (a), (b), (c) และ (d)



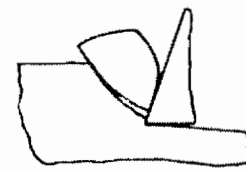
( a ) build-up starts



( b ) build-up continues



( c ) maximum build-up



( d ) crack propagation and

Formation of chip segment

### รูปที่ 2.15 แสดงการเกิดเศษโลหะไม่ต่อเนื่อง

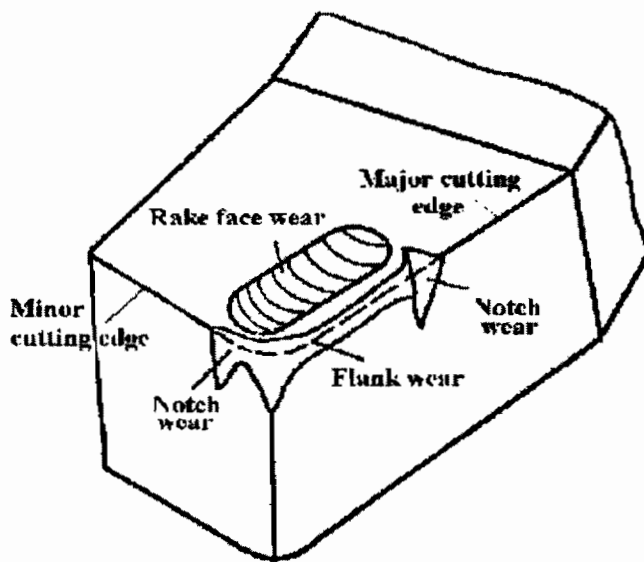
เนื่องจากช่วงเวลาที่เศษโลหะสัมผัสถับเครื่องมือตัดเป็นช่วงเวลาสั้น ๆ ดังนั้นความร้อนที่เกิดขึ้นจึงติดไปกับเศษโลหะเสียเป็นส่วนมาก อุณหภูมิของเครื่องมือตัดจึงต่ำลง ทำให้อายุการใช้งานของเครื่องมือตัดสูงขึ้นได้

## 2.5 การสึกหรอของเครื่องมือตัด (Tool Wear) [7]

การสึกหรอของเครื่องมือตัด หมายถึงการเปลี่ยนแปลงของรูปร่างของเครื่องมือตัด จากรูปร่างก่อน การใช้งานและหลังการใช้งาน ซึ่งเป็นผลมาจากการสึกหรอของเครื่องมือตัดเกิดความเสียหายอย่างค่อยเป็นค่อยไป ขณะใช้งานมีสาเหตุหลายอย่างที่ทำให้เกิดการสึกหรอของเครื่องมือตัด ซึ่งความเข้าใจโดยทั่วไปการสึกหรอของเครื่องมือตัดเกิดจาก การสึกหรอ มักจะเกิดโดยเกิดกระบวนการกระจายของโลหะสมรรถว่าง วัสดุงานกับวัสดุเครื่องมือตัด ในบริเวณที่เกิดสภาวะของการสัมผัสนั้นของวัสดุงานและวัสดุเครื่องมือตัดจะสังเกตเห็นได้ วัสดุงานจะแสดงปฏิกิริยาต่อตัวกับวัสดุเครื่องมือที่เป็นสาเหตุให้เกิดการสึกกร่อนเนื่องจากการเสียดสีของวัสดุเครื่องมือตัด อัตราของการสึกกร่อนเนื่องจากการเสียดสีนี้ขึ้นอยู่กับอุณหภูมิในบริเวณของการสัมผัส และปฏิกิริยาของเครื่องมือตัดกับวัสดุงานซึ่งกันและกัน การกระจายหรือการเกิดโลหะสมยังเกิดขึ้นที่ซึ่งอนุภาคของวัสดุงานถูกหลอมละลายบนพื้นผิวของเครื่องมือตัด การหลอมละลายเหล่านี้จะทับถมกันจนมองเห็นเป็นลักษณะพอกพูนบนผิวน้ำ เครื่องมือตัด เนื่องจากอนุภาคหรือชั้นของวัสดุงานภายในแข็งของผิวน้ำเครื่องมือตัด การเกิดการกระจายหรือโลหะสม ระหว่างการทับถมและความอ่อนตัวของเครื่องมือตัดต่ำกว่าการหลอมละลาย ปอยครั้งการทับถมเหล่านี้จะมีการ ใต้ตอบอิกครั้งจากเศษ โดยการหลอมละลายหรือเกิดการแตกหัก ออกจากแรงของการชนของเศษที่หลุดออกมาน

ปฏิกิริยาเคมีระหว่างองค์ประกอบในการทำงานโดยการใช้สารหล่อเย็นในบางครั้งอาจจะเร่งอัตราของการสึกหรอของเครื่องมือตัด การเกิดออกซิเดชัน (Oxidation) ของโลหะที่มีความร้อนใกล้เคียงตัด จะมีการกระจายทำให้เกิดการสึกหรอของเครื่องมือตัดอีกด้วย โดยเฉพาะการใช้ความเร็วตัดที่สูงเกินไป ร่วมกับอุณหภูมิในการตัดเนื่องที่สูง การแตกหักของคอมตัดเป็นสาเหตุให้เกิดการรับกระในการตัด เนื่องที่มากเกินไป หรือเกิดการกระแสไฟฟ้ากระแทกอย่างกะทันหัน หรือการออกแบบเครื่องมือตัดที่ไม่เหมาะสม ตามมาตรฐานส่วนจะต้องแก้ไขให้ถูกต้อง

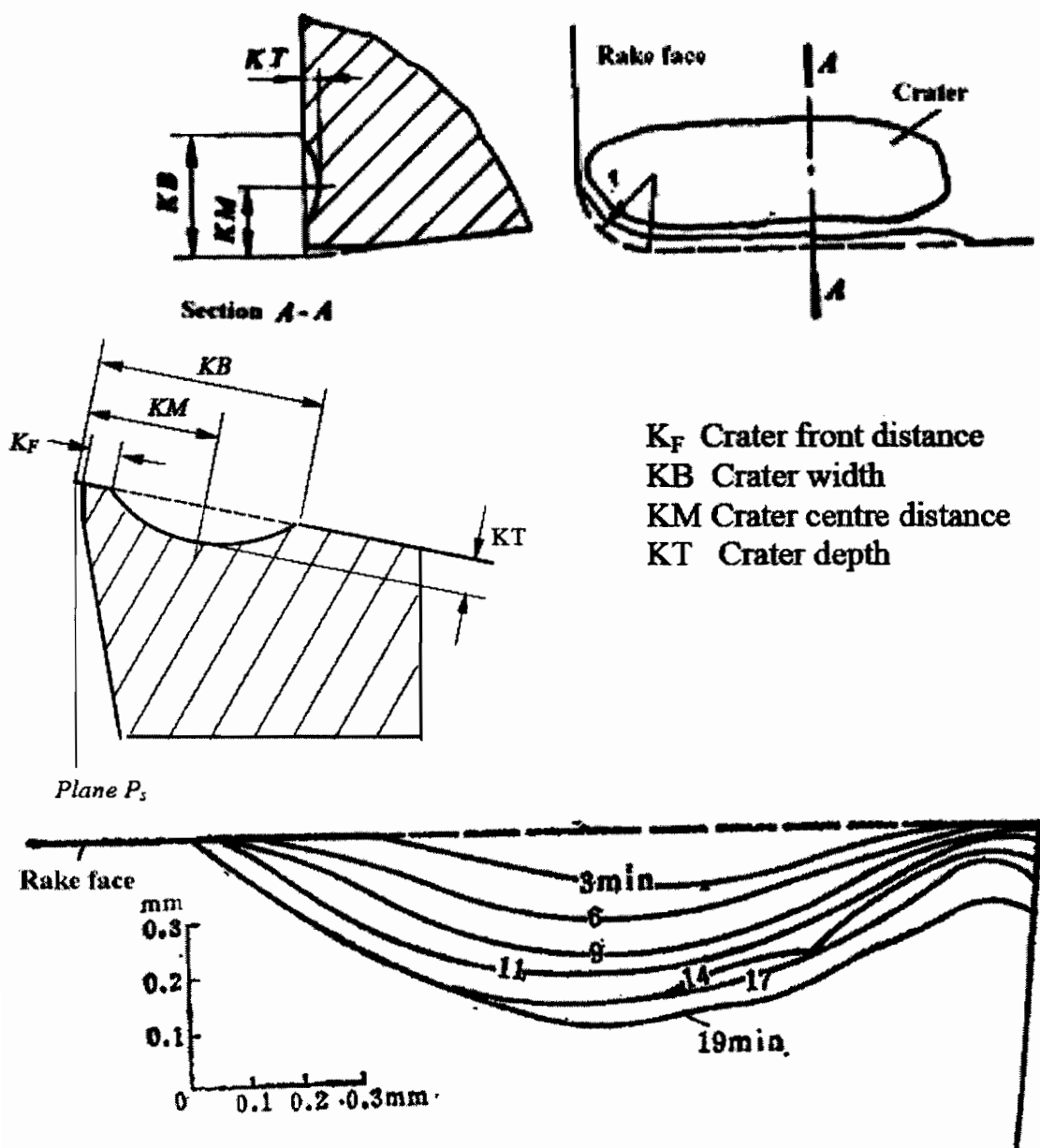
ปรากฏการณ์ในการเกิดการสึกหรอของเครื่องมือตัด เนื่องจากความเกินที่สูงที่เกิดจากการสัมผัสระหว่างผิวかい (Rake Face) กับเศษของวัสดุงาน เป็นสาเหตุในการเกิดการเสียดสีรุนแรงที่ผิวかい เนื่องจากความเสียดทานระหว่างผิวหนาด้านข้าง (Flank) กับผิวที่ถูกตัดเนื่อง ดังนั้นผลลัพธ์ที่เกิดขึ้น ทั้งหมดอาจจัดอันดับการสึกหรอของเครื่องมือตัดได้คือบริเวณผิวかい(Rake Face) และผิวหนาด้านข้าง (Flank Face) ดังแสดงในรูปที่ 2.16



รูปที่ 2.16 ปรากฏการณ์ในการเกิดการสึกหรอของเครื่องมือตัด

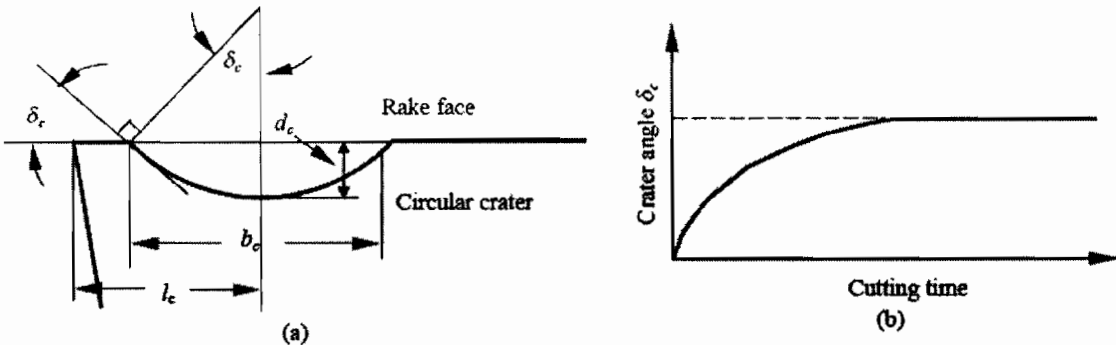
**2.5.1 การสึกหรอผิวહลบด้านข้าง (Flank Wear)** การสึกหรอลักษณะนี้จะเกิดที่ผิวહลบด้านข้างของเครื่องมือตัดด้านล่างของคอมตัด ซึ่งจะเกิดขึ้นตลอดเวลาของการตัดเฉือนและไม่สามารถหลีกเลี่ยงได้ ซึ่งไม่ควรจะเพิ่มน้ำยาอย่างรวดเร็วหรือมีขนาดของบริเวณของการสึกหรอที่มากเกินไป ขนาดของการสึกหรอผิวહลบด้านข้างนี้สามารถวัดได้จากระยะห่างขอบบนสุดของคอมตัดและขอบด้านล่างของการสึกหรอ ในทางปฏิบัติ โดยปกติจะใช้วิธีการสังเกตโดยประมาณแทนการวัดที่ต้องการความเที่ยงตรง ถึงแม้ว่าการสึกหรอผิวહลบด้านข้างจะไม่สนใจการสึกหรอโดยการวัดจากการสูญเสียขนาดของส่วนดังกล่าว เครื่องมือตัดที่ดีที่สุดของการสึกหรอของเครื่องมือตัด อย่างไรก็ตามยังถือว่าการสึกหรอประเภทนี้เป็นตัววัดที่ดีที่สุด เมื่อบริเวณการสึกหรอมีขนาดมากขึ้นเรื่อยๆ จะเกิดการถูกของผิวที่เกิดการสึกหรอกับผิวของชิ้นงานเพิ่มขึ้น เช่นกัน จำเป็นจะต้องทำการเปลี่ยน หรือลับคอมตัดใหม่เนื่องจากมีสภาพที่หลากหลายจึงเป็นไปไม่ได้ที่จะกำหนดขนาดบริเวณของการสึกหรอประเภทนี้ให้มีค่าแน่นอนที่จะซึ่งได้ว่าจะทำการเปลี่ยนหรือลับเครื่องมือตัดเมื่อไหร่ ถึงแม้ว่าจะมีข้อยกเว้นมากมายในการทำงานในลักษณะผิวที่มีความหยาบ โดยใช้เครื่องมือตัดที่เป็นเหล็กอบสูง (High Speed Steel) ควรจะต้องนำไปลับใหม่มื่อความกว้างของการสึกหรอประเภทนี้ถึงระยะ 0.005 นิ้ว ถึง 0.010 นิ้ว การลับเครื่องมือตัดสำหรับผิวละเอียดอยู่ระหว่าง 0.030 นิ้ว ถึง 0.060 นิ้ว ส่วนเครื่องมือตัดที่เป็นซีเมนต์คาร์ไบด์ (Cemented Carbides) 0.005 นิ้ว ถึง 0.010 นิ้วสำหรับผิวละเอียดและ 0.020 นิ้ว ถึง 0.040 นิ้วสำหรับผิวหยาบ การสึกหรอบริเวณผิวહลบด้านข้างนี้สามารถวัดได้โดยขนาดเฉลี่ยและขนาดสูงสุดของบริเวณที่เกิดการสึกหรอ ( $VB$  และ  $VB_{max.}$ )

2.5.2 การสึกหรอแบบแอลจิบริเวณผิวคาย (Crater Wear) เกิดจากการไหลดของเศษงานบนผิวคาย มีการเสียดสีที่รุนแรงที่เกิดจากแรงเสียดทานระหว่างเศษงานกับผิวคาย จะเกิดการสึกหรอซึ่งโดยปกติจะเกิดเป็นแนววนนานกับคอมตัดหลัก (Major Cutting Edge) การสึกหรอแบบแอลจิบริเวณผิวคายที่ใช้ในการทำงานเพิ่มขึ้น เป็นสาเหตุให้ความแข็งแรงของคอมตัดลดลง ตัวแปร (Parameters) ที่ใช้วัดค่าการสึกหรอแบบแอลจิบริเวณผิวคายนี้ ดูได้จากรูปที่ 2.17 แผนภาพความลึกของแอลจ์ KT ปกติส่วนมากแล้วจะเป็นตัวแปรในการประเมินค่าการสึกหรอของผิวคายและรูปที่ 2.18 เป็นรูปทรงเรขาคณิตอย่างง่าย



Change of the crater depth KT and width KB with cutting time

รูปที่ 2.17 การเปลี่ยนแปลงความลึกของแอลจ์ KT และความกว้าง KB ต่อหน่วยเวลา



รูปที่ 2.18 (a) รูปทรงเรขาคณิตอย่างง่ายของแอง (b) นูนในการเจริญเติบโตของแอง

การสึกหรอแบบแองบนผิวน้ำ สามารถเกิดจากการเสียดสีและกลไกการกระจายในการขุดลอก การเกิดของแองนี้เป็นการขุดลอกจากผิวน้ำของเศษงานซึ่งมีสภาพเป็นอนุภาคที่มีความแข็ง悍 หน้าที่คือการเจียรนัย หรือส่วนที่ร้อนที่สุดที่มีการกระจายระหว่างเศษตัดกับผิวน้ำของเครื่องมือตัด ความแข็งและความแข็งที่ประกอบด้วยความร้อนและค่าความดึงดูดที่น้อยที่สุดระหว่างวัสดุจะมีแนวโน้มที่ลดลงในการเกิดการสึกหรอแบบแองนี้ ขนาดของแองที่มากเกินไปนี้จะเปลี่ยนรูปทรงของคมตัดและทำให้การตัดเนื่องมีประสิทธิรูปที่แย่ลงด้วย รวมทั้งการเปลี่ยนทิศทางของแรงในการตัด เนื่องซึ่งทำให้คมตัดอ่อนตัวลง

แองที่มีความลึกบางครั้งจะมีรูปแบบบนผิวน้ำของเครื่องมือตัดซึ่งง่ายต่อการจดจำรูปแบบของแองที่มีระยะที่สั้นหลังด้านข้างของคมตัดที่ถูกยกขึ้นเล็กน้อยระหว่างคมตัดกับของของแองดังกล่าว ซึ่งผิวส่วนนี้อาจปักลุมด้วยเศษที่หลอมละลายและในเวลาอื่น ๆ อาจจะไม่เกิดสภาพเช่นนี้ บ่อยครั้งที่บริเวณก้นของแองนี้จะถูกปักลุมด้วยวัสดุงานที่เกิดการหลอมละลาย ภายใต้สภาพการปฏิบัติปกติ แองจะขยายออกจนกระทั่งเกิดการแตกหักบริเวณคมตัด โดยปกติเหตุการณ์เหล่านี้จะเกิดขึ้นบนปลายของคมตัดหลังปลายเครื่องมือตัด เมื่อเกิดเหตุการณ์เหล่านี้ การสึกหรอบริเวณผิวน้ำด้านข้างจะเพิ่มขึ้นอย่างรวดเร็วและเกิดความเสียหายต่อเครื่องมือตัดในเวลาอันสั้น บางครั้งการสึกหรอแบบแองนี้ไม่สามารถหลีกเลี่ยงและมีการเพิ่มขนาดของแองอย่างช้า ๆ อย่างไรก็ตามถ้าอัตราของการขยายตัวของแองเป็นไปอย่างรวดเร็ว จะนำไปสู่อุปกรณ์ใช้งานที่สั้นของเครื่องมือตัด จำเป็นต้องมีการใช้การวัดขนาดของแองเพื่อการแก้ไขขึ้นต่อไป

**2.5.3 การพอกหน้ามีด (Cutting Edge Chipping)** เพียงชื่อก็สามารถสื่อให้เห็น ถึงลักษณะที่เกิดขึ้นกับ คุณตัด รวมถึงการเคลื่อนข้ายอนุภาคซึ่งแยกกันค่อนข้างมากของวัสดุเครื่องมือ เป็นสาเหตุที่ทำให้คุณตัดไม่สามารถทำงานได้อย่างต่อเนื่อง ในบางครั้งการแตกหักของเศษจากการตัดเฉือนของคุณตัดที่มี อัตราการเร่งของการสึกหรอของเครื่องมือตัด แต่ไม่ใช่สาเหตุใหญ่ในการทำให้เกิดความเสียหายใน ทันทีทันใด การพอกหน้ามีดสามารถสังเกตเห็นได้โดยการเกิดเศษตัดที่ทับกันกับบริเวณคุณตัดและผิว การสึกหรอบริเวณผิวหลบด้านข้าง การเกิดผิวที่ต่ออย่างมากบริเวณที่ต่ำกว่าบริเวณของการสึกหรอ แสดงว่าเกิดการพอกหน้ามีดของเศษและถ้าข้อมูลของการสึกหรอนี้มีรอยรุขประปากฎูอยู่ก็จะแสดงว่า มีปริมาณของเศษจำนวนมากที่ปักกลุ่มอยู่ เคยสถานที่ที่ใช้ บ่อยครั้งที่เกิดความว่าเปล่าหรือร่อง บริเวณคุณตัดซึ่งเป็นผลมาจากการเติมเศษงานที่หลอมละลายติดกันกับคุณเครื่องมือตัด การเกิด เหตุการณ์นี้จะเกิดขึ้นอย่างรวดเร็วเมื่อเกิดบริเวณผิวน้ำของเครื่องมือตัด ในลักษณะนี้ความเสียหายที่ คุณตัดควรจะมีการรักษา อย่างไรก็ตาม โดยปกติความกังวลบริเวณของการสึกหรอใต้ผิวการเคลื่อนที่ ของเศษจะเพิ่มขึ้นตลอดและจะทำให้อาชญาการใช้งานของเครื่องมือตัดสั้นลง

**2.5.4 การเปลี่ยนรูปร่างจากการหลอมละลาย (Plastic Deformation)** เกิดขึ้นเพราะผลของอุณหภูมิสูง และความกดดันที่สูงบนคุณตัด การใช้ความเร็วตัดและอัตราป้อนที่สูงสำหรับวัสดุงานที่มีความแข็ง เป็นสาเหตุของการเกิดเหตุการณ์ดังกล่าว การเปลี่ยนรูปร่างจากการหลอมละลาย (Plastic Deformation) นักจะเกิดกับเครื่องมือตัดที่เป็นคาร์ไบด์ (Carbide) เมื่ออุ่นในสภาพการทำงานที่หนัก โดยใช้ความเร็วตัดที่ต่ำ ๆ และใช้อัตราป้อนที่อยู่ในระดับสูง คุณตัดส่วนมากจะเริ่มมีความร้อนที่ สะสมขึ้นเรื่อย ๆ และมีความกดดันที่ปลายเครื่องมือตัด ด้วยเหตุนี้ผิวน้ำด้านล่างของเครื่องมือตัดใน พื้นที่ของปลายคุณตัด จะลดลง และเพิ่มความกังวลของบริเวณของการสึกหรอซึ่งทำให้อาชญาการใช้งาน ของเครื่องมือตัดสั้นลงด้วย

## 2.6 สถิติที่ใช้ในการวิเคราะห์ [7]

**2.6.1 ทฤษฎีทางสถิติ การหาค่าเฉลี่ยของความเรียบผิวและค่าการสึกหรอของมีดกลึง สถิติที่ใช้ในการวิเคราะห์ข้อมูลคือ**

$$\text{จากสูตร } \bar{X} = \frac{\sum_{i=1}^n X}{N} \quad (2.5)$$

เมื่อ  $\bar{X}$  = ค่าเฉลี่ยของข้อมูลทั้งหมด

$$\sum_{i=1}^n X = \text{ผลรวมของข้อมูลทั้งหมด}$$

N = จำนวนของข้อมูล

### 2.6.2 การวัดการกระจายของข้อมูล (Measure of Variability)

ส่วนเบี่ยงเบนมาตรฐาน (Standard Deviation) สัญลักษณ์ S คือการกระจายของข้อมูลชุดนั้น

สูตร คำนวณจากถ่วงตัวอย่าง ที่ไม่แยกแจงความถี่

$$S = \sqrt{\frac{\sum_{i=1}^n (x_i - \bar{x})^2}{n-1}} \quad (2.6)$$

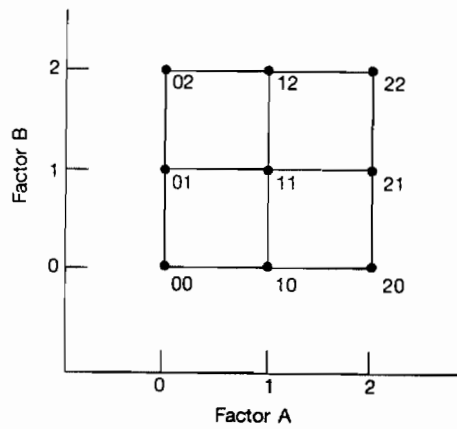
$$S = \sqrt{\frac{\sum_{i=1}^n x_i^2 - (\sum x)^2}{n(n-1)}} \quad (2.7)$$

สูตร คำนวณจากประชากร

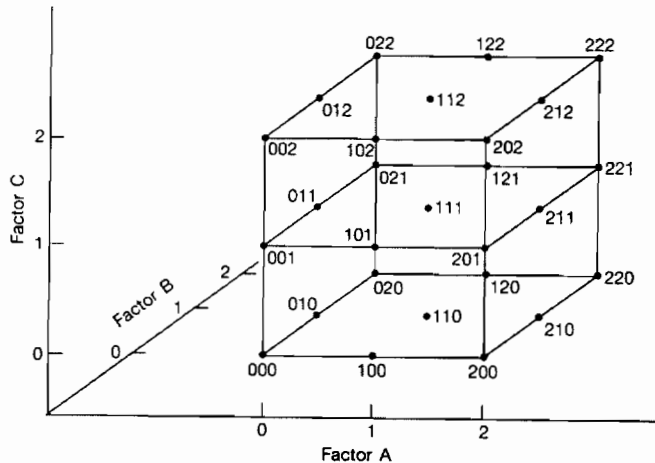
$$\sigma = \sqrt{\frac{\sum_{i=1}^n (x_i - \mu)^2}{N}} \quad (2.8)$$

### 2.4.3 การออกแบบการทดลองเชิงแฟกทอเรียลแบบ $3^2$

การออกแบบที่ง่ายที่สุดในระบบ  $3^k$  คือการออกแบบ  $3^2$  ซึ่งประกอบด้วย 2 ปัจจัย (A และ B) แต่ละปัจจัยประกอบด้วย 3 ระดับ คือ ต่ำ ปานกลาง และสูง สัญลักษณ์ที่ใช้แทนระดับทั้ง 3 อาจใช้เป็นตัวเลข 0(ต่ำ), 1 (ปานกลาง) และ 2 (สูง) ดังนั้นการทดลองนี้มีการทดลองร่วมปัจจัย  $3^2 = 9$  การทดลองระดับขั้นความเสี่ยงของการทดลองร่วมปัจจัยจะมีค่าเท่ากับ 8 ผลหลัก A และ B จะมีระดับขั้นความเสี่ยงเท่ากับ 2 และอันตรกิริยา AB จะมีระดับขั้นความเสี่ยงเท่ากับ 4 ถ้าจำนวนของการเพลิดเพลินค่า  $n$  ค่าของระดับขั้นความเสี่ยงทั้งหมดจะมีค่าเท่ากับ  $n3^2 - 1$  และค่าผิดพลาดของระดับขั้นความเสี่ยงเท่ากับ  $3^2(n-1)$  (รูปที่ 19 และ 20)



รูปที่ 2.19 การทดลองร่วมปัจจัยของการออกแบบ  $3^2$



รูปที่ 2.20 การทดลองร่วมปัจจัยของการออกแบบ  $3^2$  ในลักษณะ 3 มิติ

ค่าผลรวมของกำลังสองสำหรับ A, B และ AB สามารถหาได้จากการวิธีปกติ

พิจารณาผลรวมของกำลังสองของ A, B และ AB กำหนดให้ว่าค่าอนแทรส์ที่จะใช้ในการประมาณผลของ A คือ

$$\text{Contrast}_A = ab + a - b - (1) \quad (2.9)$$

เรียกค่าอนแทรส์นี้ว่า ผลทั้งหมด (Total Effect) ของ A พนว่าค่าอนแทรส์นี้ยังสามารถใช้ในการประมาณผลของ B และ AB ได้อีกด้วย ยิ่งกว่านั้นค่าอนแทรส์เหล่านี้ยังมีรูปแบบในเชิงตัวแปร (Orthogonal) และผลรวมของกำลังสองของค่าอนแทรส์ต่อ ๆ จะหาได้จากค่าอนแทรส์ยกกำลังสองหารด้วยผลคูณของจำนวนของข้อมูลทั้งหมดที่อยู่ในค่าอนแทรส์นั้น กับผลรวมกำลังสองของสัมประสิทธิ์ของค่าอนแทรส์ ดังนั้น ผลรวมของกำลังสองของ A, B และ AB สามารถเขียนได้ดังนี้

$$SS_A = \frac{[ab + a - b - (1)]^2}{4n} \quad (2.10)$$

$$SS_B = \frac{[ab + b - a - (1)]^2}{4n} \quad (2.11)$$

$$SS_{AB} = \frac{[ab + (1) - a - b]^2}{4n} \quad (2.12)$$

และผลรวมทั้งหมดของกำลังสองสามารถหาได้จาก

$$SS_T = \sum_{i=1}^2 \sum_{j=1}^2 \sum_{k=1}^n y_{ijk}^2 - \frac{\bar{y}^2}{4n} \quad (2.13)$$

ปกติแล้ว  $SS_T$  จะมีระดับขั้นความเรียบเท่ากับ  $4n-1$  และค่าผิดพลาดของผลรวมของกำลังสองซึ่งมีระดับขั้นความเรียบเท่ากับ  $4(n-1)$  สามารถคำนวณได้จาก

$$SS_E = SS_T - SS_A - SS_B - SS_{AB} \quad (2.14)$$

โดยการใช้  $SS_A$ ,  $SS_B$  และ  $SS_{AB}$  ผลสรุปของการวิเคราะห์ความแปรปรวนประกอบดังตารางที่ 2.5 ผลหลักทั้งคู่มีผลอย่างมีนัยสำคัญและอันตรกิริยาระหว่างปัจจัย A และ B มีผลหรือไม่ ซึ่งตาราง ANOVA นี้ช่วยยืนยันการตีความหมายของข้อมูลจากขนาดของปัจจัยดังได้กล่าวมาข้างต้นแล้ว

ตารางที่ 2.5 การวิเคราะห์ด้วย ANOVA ของตัวอย่างในรูปที่ 2.19

Source of Variation	Sum of Squares	Degrees of Freedom	Mean Square	F
A	$SS_A$	$a-1$	$MS_A = \frac{SS_A}{a-1}$	$F_0 = \frac{MS_A}{MS_E}$
B	$SS_B$	$b-1$	$MS_B = \frac{SS_B}{b-1}$	$F_0 = \frac{MS_B}{MS_E}$
AB	$SS_{AB}$	$(a-1)(b-1)$	$MS_{AB} = \frac{SS_{AB}}{(a-1)(b-1)}$	$F_0 = \frac{MS_{AB}}{MS_E}$
Error	$SS_E$	$ab(n-1)$	$MS_E = \frac{SS_E}{ab(n-1)}$	
Total	$SS_T$	$abn-1$		

## 2.7 งานวิจัยที่เกี่ยวข้อง

พิทูล ทิมฤกษ์ [1] ศึกษาการลดปัญหานผลกระทบจากการปนเปื้อนจากน้ำมันหล่อลื่นงานตัดเนื้อนโลหะ โดยระบบบำบัดน้ำหน้าห้องมีไฮดรอลิก 3 ส่วนคือ ระบบไฮโดรไซโคลน (Hydrocyclone) เพื่อคัดแยกวัตถุที่ปะปนอยู่ ระบบพาสเจลไฮโซร์ (Pasteurization) เพื่อกำจัดจุลชีพต่างๆ และระบบเติมฟองอากาศ (Aeration) เพื่อกำจัดน้ำมันสกปรก ผลจากการทดลองระบบสามารถปริมาณเศษวัตถุได้จากขนาดที่พบก่อนการคัดแยกมีขนาดระหว่าง 5-180 ไมครอน หลังจากการคัดแยกโดยไฮโดรไซโคลนแล้ว มีขนาดโดยเฉลี่ยประมาณ 15 ไมครอน จุลชีพต่างๆลดลงจากปริมาณเริ่มต้นประมาณ  $10^6$

cfu/ml.(colony forming unit per milliliter) ลดลงจนเป็น 0 cfu/ml. และปริมาณน้ำสกปรกลดลงจากร้อยละ 5 เหลือน้อยกว่าร้อยละ 0.1 (เมื่อทำการวัดผลโดยวิธีการถ่ายภาพและวัดพื้นที่ผิวที่มีน้ำมันสกปรกปะปนอยู่)

Ronaldo Yoshinobu Fusse และคณะ[2] ศึกษาการใช้น้ำมันตัดในกระบวนการที่การเจียระไนลีก มีความเหมาะสมและสำคัญมาก, ส่วนใหญ่ น้ำมันตัดถูกใช้ "ภายนอก" เป็นตัวควบคุมสภาพของงานเจียระไน, หน้าที่ของน้ำมันตัดในการเจียระไนคือ ระบายน้ำร้อนออกจากชิ้นงาน, กำจัดเศษโลหะออกจากชิ้นงาน, หล่อเลี้นบริเวณการเจียระไน, ระบายน้ำร้อนและทำความสะอาดผิวน้ำล้อหินเจียระไน ใน การทดลองนี้, ผลกระทบของน้ำมันตัดที่ใช้ในที่การเจียระไนลีกของเหล็ก VC131 เลือกใช้ล้อหินเจียระไนแบบ CBN ตัวแปรที่นำมาวิเคราะห์หลังจากการเจียระไน คือ แรงที่ใช้ในการเจียระไน, ความเรียบของผิวงาน, เสียงที่เกิดจากการเจียระไน (EA), อุณหภูมิของชิ้นงานและอัตราส่วน G (ความสัมพันธ์ระหว่างขนาดของชิ้นงานที่ถูกตัดออกไปและการสึกหรอของล้อหินเจียระไน) น้ำมันตัด (integral oil) แสดงให้เห็นว่ามีความสัมพันธ์ที่ดีกับตัวแปรอื่นๆดังนี้ ลดความดังของเสียงที่เกิดจากการเจียระไน (EA), แรงที่ใช้ในการเจียระไนและอัตราส่วน G ส่วนน้ำมันพืชช่วยระบายน้ำร้อนได้ดีที่บริเวณการเจียระไน

บำรุงสุข เทียนพันธ์[3] การศึกษาการแปรรูปร่วมของถ่านหินลิกไนต์และน้ำมันพืชใช้แล้วให้เป็นของเหลวโดยใช้ตัวเร่งปฏิกิริยา ในเครื่องปฏิกิริณแบบแบนตซ์ เพื่อศึกษาตัวแปรกระบวนการคือ อุณหภูมิ ความดัน และอัตราส่วนระหว่างถ่านหินกับน้ำมันพืชใช้แล้ว ทำการทดลองแบบแฟกทอร์ยอล สองระดับ ที่อุณหภูมิ 370-450 องศาเซลเซียส ความดันแก๊สไฮโดรเจน 5-9 เมกะพาสคัล และอัตราส่วนระหว่างถ่านหินกับน้ำมันพืชใช้แล้ว 5:5 ถึง 7:3 ในเวลา 30 นาที พบร่วมตัวแปรกระบวนการที่มีผลต่อร้อยละผลได้ของเหลวอย่างมีนัยสำคัญคือ อุณหภูมิ ความดัน และอัตราส่วนระหว่างถ่านหิน กับน้ำมันพืชใช้แล้ว โดยไม่มีอินทริกริยาของทุกด้านเพร ผลของตัวแปรกระบวนการคือ การเพิ่มอุณหภูมิทำให้ผลได้ผลิตภัณฑ์ของเหลวลดลง ค่าการเปลี่ยนของถ่านหินเพิ่มขึ้น และผลิตภัณฑ์ของเหลวมีคุณภาพดีขึ้น ความดันสูงช่วยให้ผลได้ของเหลวเพิ่มขึ้น ค่าการเปลี่ยนของถ่านหินเพิ่มขึ้น และไม่มีผลต่อคุณภาพของผลิตภัณฑ์ของเหลว สำหรับน้ำมันพืชใช้แล้วช่วยเพิ่มปริมาณผลได้ผลิตภัณฑ์ของเหลว ค่าการเปลี่ยนของถ่านหินลดลง และช่วยปรับปรุงคุณภาพผลิตภัณฑ์ของเหลว โดยภาวะที่เหมาะสมคือ อุณหภูมิ 370 องศาเซลเซียส และความดัน 9 เมกะพาสคัล ให้ผลได้ผลิตภัณฑ์ของเหลวที่อัตราส่วนระหว่างถ่านหินกับน้ำมันพืชใช้แล้ว 5:5 และ 7:3 เท่ากับร้อยละ 42 และ 38 ตามลำดับ จากภาวะที่เหมาะสมดังกล่าวคือ อุณหภูมิ 370 องศาเซลเซียส และความดัน 9 เมกะพาสคัล เมื่อทำการทดลองที่อัตราส่วนระหว่างถ่านหินกับน้ำมันพืชใช้แล้ว 3:7 ผลได้ผลิตภัณฑ์ของเหลวเพิ่มขึ้นเป็นร้อยละ 71 เพราะสัดส่วนน้ำมันพืชใช้แล้วที่เพิ่มขึ้นทำให้ปริมาณผลได้ผลิตภัณฑ์ของเหลว

เพิ่มขึ้นด้วย สำหรับผลของการเติมตัวเร่งปฏิกิริยาได้แก่ ไอร์อ่อน (III) ชัลไฟฟ์ (ปริมาณเหล็กบนถ่านหินร้อยละ 0.8, 1.67 และ 2.5 ของน้ำหนักถ่านหิน) โนลิบดีนัมເຊກສະຄາຣບອນິລ (ปริมาณโนลิบดีนัมร้อยละ 1.67 ของน้ำหนักถ่านหิน) และ HZSM-5 (ร้อยละ 1 ของน้ำหนักถ่านหินหรือน้ำมันพืชใช้แล้ว) พบว่าตัวเร่งปฏิกิริยาทุกชนิดช่วยปรับปรุงคุณภาพของผลิตภัณฑ์ของเหลว โดยโนลิบดีนัมເຊກສະຄາຣບອນິລ และ HZSM-5 ไม่มีผลทำให้ค่าการเปลี่ยนของถ่านหินและผลได้ผลิตภัณฑ์ของเหลวเพิ่มขึ้น ในขณะที่ตัวเร่งปฏิกิริยาไอร์อ่อน (III) ชัลไฟฟ์ช่วยให้ค่าการเปลี่ยนของถ่านหินและผลได้ผลิตภัณฑ์ของเหลวเพิ่มขึ้นเมื่อปริมาณเหล็กบนถ่านหินเท่ากับร้อยละ 2.5 โดยให้ร้อยละผลิตภัณฑ์ของเหลวที่อัตราส่วนระหว่างถ่านหินกับน้ำมันพืชใช้แล้ว 3:7 5:5 และ 7:3 เท่ากับร้อยละ 85, 52 และ 48 ตามลำดับ การใช้ตัวเร่งปฏิกิริยาไอร์อ่อน (III) ชัลไฟฟ์ร่วมกับ HZSM-5 ทำให้ผลได้ผลิตภัณฑ์ของเหลวลดลงเล็กน้อยแต่ช่วยปรับปรุงให้มีคุณภาพดีขึ้น

สุเทพ คงทัน[6] ศึกษาสมบัติการเป็นน้ำมันตัดเหลืองในการกลึง โดยการใช้น้ำมันพืชที่ไม่มีการเติมแต่งด้วยสารเคมี เปรียบเทียบกับน้ำมันตัดเหลืองแบบพสมน้ำ ที่มีการใช้งานอยู่โดยทั่วไป ข้อมูลที่ทำการศึกษาวิเคราะห์เปรียบเทียบได้แก่ ขนาดของแรงตัดเฉือน ความเรียบผิวงาน และการสึกหรอของมีดตัด ขนาดของความเร็วตัดอยู่ในช่วง 20 ถึง 38 เมตรต่อนาที วัสดุที่ใช้ในการทดลองเป็นเหล็กหนึ่ง แอลวัสดุมีดกลึงเป็นเหล็กความเร็วอบสูง จากการศึกษาพบว่า เมื่อใช้ความเร็วตัดต่ำกว่า 30 เมตรต่อนาที การใช้น้ำมันพืชเป็นน้ำมันตัดเฉือน ให้ค่าแรงตัดเฉือนและการสึกหรอของมีดตัดต่ำกว่า การใช้น้ำมันตัดเหลืองแบบพสมน้ำ ส่วนความเรียบผิวงานมีค่าใกล้เคียงกัน สาเหตุเนื่องจากการมีสมบัติของการหล่อลื่นที่ดีของน้ำมันพืช และความสามารถในการไหลแทรกเข้าไปถึงผิวสัมผัสของชิ้นงานและใบมีดตัดที่ดีที่ความเร็วตัดต่ำ

W. Belluco & L. De Chiffre (2002)[8] ได้ทำการประเมินหาสมบัติของน้ำมันตัดเฉือน 6 ชนิด ในการเจาะวัสดุ Austenitic Stainless Steel ด้วยดอกสว่าน HSS-Co เพื่อหาอัตราการใช้งาน การสึกหรอ แรงตัดเฉือน และลักษณะของเศษตัด โดยใช้ดอกสว่าน 7 ตัว สำหรับน้ำมันแต่ละชนิด ใช้งานจนกระทั่งถึงจุดที่เกิดความเสียหาย โดยการเปรียบเทียบระหว่างน้ำมันตัดเฉือนที่ทำจากปิโตรเลียม (Mineral Oil) กับน้ำมันตัดเฉือนที่ได้จากพืช (Vegetable Oil) ที่เติมสารเคมีบางชนิดเพื่อปรับปรุงสมบัติ คือ ชัลเฟอร์ และฟอสฟอรัส ในปริมาณต่างๆ กัน ซึ่งผลการทดลอง การสึกหรอของดอกสว่านและกลไกที่ทำให้เกิดความเสียหาย เนื่องจากการใช้งานด้วยน้ำมันตัดเฉือนแบบต่างๆ จะมีรูปแบบคล้ายๆ กัน การสึกหรอจะเกิดขึ้นเนื่องจาก Plastic Deformation ของวัสดุ มากกว่าการแตกหักแบบ Brittle Fracture อาทิ การใช้งานของดอกสว่าน จากผลการทดลองพบว่า อัตราการใช้งานของดอกสว่านที่ใช้น้ำมันพืชทั้ง 5 ชนิด มีอัตราการสูงกว่าน้ำมันตัดเฉือนที่ทำจากปิโตรเลียม ประมาณ 2-3 เท่า

J.M. Vieira , A.R. Machado , E.O. Ezugwu[9] ได้ศึกษาเรื่อง Performance of cutting fluid during face milling of steels เป็นการศึกษาประสิทธิผลของการใช้น้ำมันตัดเยื่อนในงานกัดผิวนาน เหล็กหนี่ง ซึ่งประกอบด้วย น้ำมันตัดเยื่อบาฟสมน้ำ น้ำมันกึ่งสังเคราะห์และน้ำมันสังเคราะห์ในการกัดผิวนาน เหล็กหนี่ง AISI 8640 โดยใช้มีดคาร์บไบด์เคลือบผิวเปรียบเทียบกับงานกัดแบบแห้งเพื่อวิเคราะห์หาอัตราการใช้งานของมีด กำลังงานที่ใช้ในการตัดเยื่อนและความเรียบผิวงานรวมทั้งศึกษาความสามารถในการหล่อเย็นของน้ำมันตัดเยื่อน อุณหภูมิระหว่างการตัดเยื่อบาฟสมน้ำ เหล็ก AISI 1020 โดยวิธีการใช้เทอร์โมคัปปีล จากการทดลองพบว่า เมื่อตัดเยื่อบาฟสมน้ำแห้งจะทำให้เกิดอุณหภูมิสูงที่สุด รองลงมาคือ การใช้น้ำมันสังเคราะห์ (Synthetic) น้ำมันแบบบาฟสมน้ำ (Emulsion) และน้ำมันกึ่งสังเคราะห์ (Semi-Synthetic) ตามลำดับ ส่วนกำลังที่ใช้ในการตัดเยื่อนจะเป็นส่วนกลับผิวที่บานกับอุณหภูมิส่วนอัตราการใช้งาน ได้สูงที่สุดคือ การตัดเยื่อบาฟสมน้ำแห้ง รองลงมาคือแบบสังเคราะห์และกึ่งสังเคราะห์ตามลำดับ การกะเทาะของคมตัดจะมีลักษณะเป็นแบบชี้คดaway (Comb Cracking) ส่วนความเรียบผิวงานนั้น การตัดเยื่อบาฟสมน้ำแห้งจะมีผิวงานที่ค่อนข้างเรียบกว่าการใช้น้ำมันตัดเยื่อบาฟสมน้ำอื่น ๆ

มาตรฐาน แซ่ห์ง แลและคณะ[10] ศึกษาการหาค่าการนำความร้อนในของเหลว ซึ่งของเหลวแต่ละชนิดมีค่าการนำความร้อนไม่เท่ากัน ขึ้นอยู่กับคุณสมบัติและองค์ประกอบต่าง ๆ ของเหลวที่ใช้ทดลองสำหรับโครงการนี้ได้แก่ น้ำ น้ำมันเครื่อง น้ำมันถัวเหลือง น้ำมันปาล์ม น้ำมันหล่อเย็น น้ำมันคอมเพรสเซอร์ น้ำมันหม้อแปลง น้ำมันชูบโลหะ และกลีเซอรีน ชุดทดลองออกแบบส่วนที่บรรจุของเหลว เป็นถังสแตนเลสแบบสองชั้น ระหว่างชั้นจะมีฉนวนไข่แก้วกันเพื่อ ลดการสูญเสียความร้อน อีทเตอร์สำหรับให้ความร้อนจะเชื่อมต่ออยู่ในของเหลวที่นำมาใช้ทดลอง มีกำลังเท่ากับ 700 วัตต์ ควบคุมกำลังวัตต์โดยวงจรทรีไฟ ปริมาณของเหลวที่ใช้สำหรับการทดลองเท่ากับ 700 ลูกบาศก์เซนติเมตร ช่วงของอุณหภูมิที่ใช้ทดลอง 40-60 °C การวัดอุณหภูมิของของเหลวที่ใช้ในการทดลองจะวัดในตำแหน่งต่าง ๆ ทั้งหมด 4 จุด โดยการวัดในแนวตั้ง ไล่ระดับจากจุดที่หนึ่งคือ จุดอุณหภูมิที่อีทเตอร์สำหรับให้ความร้อนของเหลว จุดที่สองคือ อุณหภูมิภายในของเหลวจุดล่างอยู่ห่างจากอีทเตอร์เป็นระยะห่าง 5 มม. จุดที่สามคือ อุณหภูมิภายในของเหลวจุดน้อยอยู่ห่างจากอีทเตอร์ เป็นระยะห่าง 10 มม. จุดที่สี่คือ อุณหภูมิที่ผิวของของเหลวอยู่ห่างจากอีทเตอร์ เป็นระยะห่าง 15 มม. เมื่ออีทเตอร์ผลิตความร้อนออกมาความร้อนจะเคลื่อนที่ผ่านตัวกลางของเหลวขึ้นสู่ด้านบน แล้วก็จะถูกแผ่นรับความร้อนดูดซับความร้อนแล้วจึงถูกปล่อยความร้อนออกที่ชุดระบบความร้อน เมื่อเราทราบค่า ของอุณหภูมิในจุดต่าง ๆ และกำลังวัตต์แล้ว จะนำค่าที่ได้ไปคำนวณหาค่าการนำความร้อนของของเหลว ชนิดต่าง ๆ ต่อไป ผลกระทบการทดลองทำให้ทราบว่าของเหลวแต่ละชนิดนั้นมีค่าการนำความร้อนไม่เท่ากัน และอุณหภูมนั้นเป็น ตัวแปรที่มีผลต่อค่าการนำความร้อนมาก ถ้าหากอุณหภูมิของของเหลวเปลี่ยนไปก็จะทำให้ค่าการนำความร้อนของของเหลวนั้นเปลี่ยนตามด้วย สรุปได้ว่าค่าการนำความร้อนนั้นจะเปร

ผันตามค่าของอุณหภูมิ โดยที่น้ำ และน้ำมันหล่อลื่น มีค่าการนำความร้อนอยู่ในช่วง  $0.586-1.1878 \text{ W/m}^2\text{K}$  ของเหลวกลุ่มของ น้ำมันเครื่อง น้ำมันถั่วเหลือง น้ำมันปาล์ม น้ำมันคอมเพรสเซอร์ น้ำมันหม้อแปลง และน้ำมันชูบูลิหะ มีค่าการนำความร้อนอยู่ในช่วง  $0.08-0.377 \text{ W/m}^2\text{K}$  และก๊าซเชอร์รินมีค่าการนำความร้อนอยู่ในช่วง  $0.287-0.324 \text{ W/m}^2\text{K}$

Witchakorn Charusiri[11] ได้ศึกษาเกี่ยวกับ การแปรรูปน้ำมันพืชแล้วซึ่งจัดว่าเป็นของเสียและมีศักยภาพ ในการเปลี่ยนให้เป็นเชื้อเพลิงเหลว โดยปฏิกริยาการแตกตัวด้วยตัวเร่งปฏิกริยา ทดลองในเครื่องปฏิกรณ์แบบเบลดซ์ ช่วงอุณหภูมิที่ใช้ในการทดลอง  $400-430^\circ\text{C}$  ความดันแก๊สไฮโดรเจนเริ่มต้นที่  $10-30$  บาร์ เวลาที่ใช้ในการทำปฏิกริยา  $45-90$  นาที โดยใช้ตัวเร่งปฏิกริยา HZSM-5 ชั้ลเฟเฟตเชอร์ โโคเนีย และตัวเร่งปฏิกริยาแบบผสม HZSM-5 และชัลเฟเฟตเชอร์ โโคเนียในสัดส่วนต่างๆ กัน เพื่อหาค่าร้อยละผลได้ของแก๊สโซลีน ผลิตภัณฑ์ที่ได้จากการแตกตัวประกอบด้วย ของเหลว แก๊ส และของแข็งเล็กน้อย ผลิตภัณฑ์ของเหลวนำไปวิเคราะห์ ทำการแยกแขงผลิตภัณฑ์ตามควบคุมเดือด ด้วยเครื่องจำลองการกัดน้ำด้วยซอฟต์แวร์แก๊สไฮโรมาโทกราฟ ผลการทดลองของการใช้ตัวเร่งปฏิกริยาแบบผสมที่สัดส่วนของ HZSM-5 และชัลเฟเฟตเชอร์ โโคเนีย  $0.3$  ต่อ  $0.7$  ให้ร้อยละผลได้ของแก๊สโซลีนสูงที่สุดที่  $26.57\%$  โดยน้ำหนักที่ภาวะอุณหภูมิ  $430^\circ\text{C}$  ความดันแก๊สไฮโดรเจนเริ่มต้น  $10$  บาร์ เวลาที่ใช้ทำปฏิกริยา  $90$  นาทีและมีองค์ประกอบเป็นคีโรเซน  $10.65\%$ , Light Gas Oil  $23.02\%$  Gas Oil  $6.05\%$  กาแกน้ำมัน  $12.88\%$  โดยมีแก๊สไฮโดรคาร์บอน  $20.20\%$  และของแข็ง  $0.63\%$  โดยน้ำหนัก ซึ่งเป็นผลของการเติม HZSM-5 ปริมาณเล็กน้อยลงในชัลเฟเฟตเชอร์ โโคเนีย มีส่วนช่วยปรับปรุงประสิทธิภาพการแตกตัวของน้ำมันพืชใช้แล้วเป็นแก๊สโซลีนได้มากขึ้น แบบจำลอง込んでสัตว์ ของการแตกตัวน้ำมันพืชใช้แล้วบนตัวเร่งปฏิกริยาแบบผสม HZSM-5 และชัลเฟเฟตเชอร์ โโคเนียเป็นปฏิกริยาลำดับสองที่มีค่าพลังงานกระตื้นเป็น  $116.072$  กิโลจูลต่้อมล และค่า pre-exponential เท่ากับ  $2.67 \times 10^{[superscript 5]}$  ต่อวินาที

### บทที่ 3 วิธีดำเนินการวิจัย

ในงานอุตสาหกรรมการผลิตจำนวนมากเกี่ยวกับการตัดเนื้อนโลหะ ได้นำสารหล่อเย็นชนิดน้ำมันหล่อเย็นชนิดพสมน้ำ (Water Soluble Oil) มาใช้ในกระบวนการตัดเนื้อนโลหะปริมาณจำนวนมาก เพื่อให้ได้ผลิตภัณฑ์ที่มีคุณภาพ ช่วยรักษาเครื่องจักร เครื่องมือตัด ยืดอายุการใช้งานของมีดตัด และยังช่วยลดต้นทุนการผลิตอีกด้วย ส่วนสารหล่อเย็นเมื่อเสื่อมคุณภาพแล้วจะถูกทิ้งลงในแหล่งน้ำต่างๆ หรือนำไปบำบัดก่อนจะปล่อยทิ้งลงในแม่น้ำลำคลอง ซึ่งทำให้เกิดมลภาวะเป็นพิษและเป็นการเพิ่มต้นทุนการผลิตอีกด้วย ส่วนน้ำมันพืช มีการนำเข้ามาใช้ในกระบวนการตัดเนื้อนโลหะปริมาณจำนวนน้อย ซึ่งเกิดจากความไม่มั่นใจในคุณสมบัติของน้ำมันพืชว่าจะใช้ได้หรือไม่ ผู้วิจัยจึงได้ดำเนินการศึกษาสารหล่อเย็น 2 ชนิด คือน้ำมันหล่อเย็นชนิดพสมน้ำ (Water Soluble Oil) และ น้ำมันพืช (Vegetable Oil) จะมีผลกระทบกับผิวของชิ้นงานและความเสียหายที่เกิดกับมีดกลึง เมื่ອอกันหรือแตกต่างกัน มีวิธีในการดำเนินการวิจัย ดังนี้



(a)



(b)

รูปที่ 3.1 สารหล่อเย็นสำหรับการทดลอง (a)น้ำมันพืช (b)น้ำมันหล่อเย็นชนิดพสมน้ำ

#### 3.1 ศึกษาข้อมูลของงานวิจัย

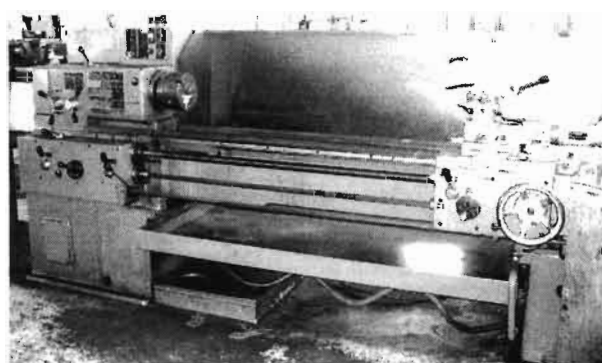
ในการกลึงเหล็กเครื่องมือ AISI4140 ปัจจัยหรือตัวแปรที่เกี่ยวข้องได้แก่ ความเร็วตัด อัตราป้อนและความลึกในการป้อน เครื่องมือ เครื่องจักรอุปกรณ์ประกอบด้วย เครื่องกลึงยันศูนย์ (Center Lathe) ชิ้นงานที่ใช้ในการทดลอง วัสดุมีดกลึง (Tool Bit Material) เวอร์เนียร์คาลิปเปอร์ (Vernier caliper) เครื่องทดสอบหาค่าความแข็ง เครื่องทดสอบหาค่าความชุรุยะของพื้นผิว และอุปกรณ์ขนาดการส่องประดูของคอมพิวเตอร์ (Scanning Electron Microscope) เป็นต้น ใน การทดลอง ได้ใช้เครื่องกลึงกึ่งอัตโนมัติชนิดธรรมดาสามารถปรับความเร็วรอบตั้งแต่ 22.4 – 2,000 รอบ/นาที มีขนาดความยาวระหว่างศูนย์เท่ากับ 1,500 มม. แต่เลือกใช้ที่ 250, 355 และ 500 รอบ/นาที กำหนดปัจจัยหรือตัวแปรในการทดลอง ได้แก่ ตัวแปรอิสระประกอบด้วย ความเร็วตัด ประกอบด้วย 20, 28 และ 36 ม/นาที อัตราป้อนที่ระดับ 0.08, 0.11 และ 0.14 มม./รอบ และความลึกในการป้อนที่ระดับ 1 มม. ส่วน ตัว

ประตามคือคุณภาพของผิวงาน(โดยวัดค่าความเรียบของพื้นผิว) และการสึกหรอของคมมีดกลึง การวิจัยครั้งนี้ เป็นการวิจัยเชิงทดลอง (Experiments Research) เพื่อศึกษาอิทธิพลของตัวแปรอิสระที่มีผลต่อคุณภาพของผิวงานกลึง และการสึกหรอของคมมีดกลึง

### 3.2 วัสดุ อุปกรณ์ และเครื่องมือที่ใช้ในการทดลอง

เครื่องมือและอุปกรณ์ที่ใช้ในงานวิจัย ในการศึกษาวิจัยนี้เพื่อเก็บข้อมูลที่ต้องการ ต้องใช้เครื่องมือและอุปกรณ์ในการทดลองหลายชนิด เครื่องมือหลักที่ต้องใช้ในการทดลองเพื่อให้ได้ค่าที่แม่นยำจะเสริมลิ้นกระบวนการ ได้แก่

**3.2.1 เครื่องกลึงยันศูนย์สำหรับการทดลอง (Center Lathe for Experimental)** ใช้เครื่องกลึงยันศูนย์ธรรมชาติ ที่ควบคุมด้วยระบบอัตโนมัติได้ สามารถปรับความเร็วรอบตั้งแต่ 22.4 – 2,000 รอบ/นาที มีขนาดความยาวระหว่างศูนย์เท่ากับ 1,500 มม.



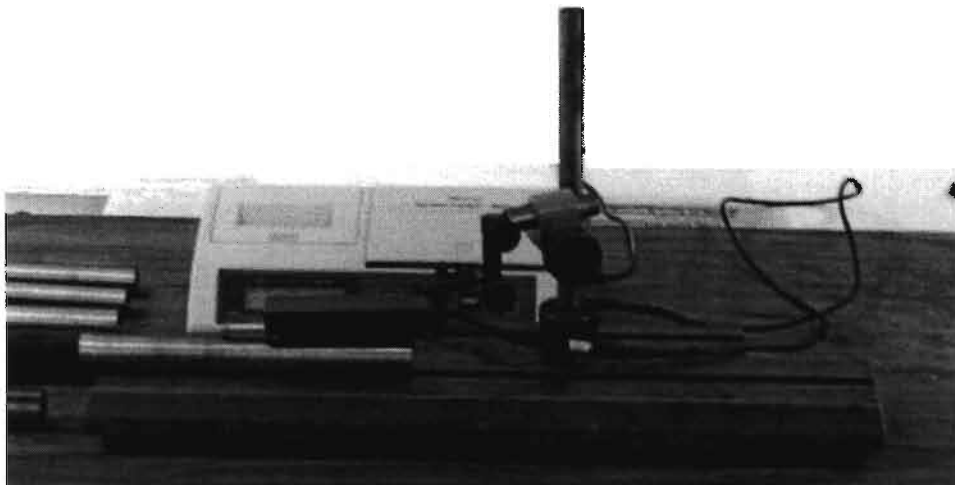
รูปที่ 3.2 เครื่องกลึงยันศูนย์ (Center Lathe) [7]

**3.2.2 เครื่องทดสอบหาค่าความแข็ง (Hardness Testing Machine)** เครื่องทดสอบหาค่าความแข็ง ใช้สำหรับทดสอบหาค่าความแข็งของชิ้นงาน และมีดกลึงมีความแข็งระหว่าง 58-62 HR<sub>C</sub>



รูปที่ 3.3 เครื่องทดสอบหาค่าความแข็ง

3.2.3 อุปกรณ์สำหรับการวัดขนาดความเรียบผิวงาน (Surface Roughness Testing Machine) เป็นอุปกรณ์ทางอิเล็กทรอนิกส์ ที่ใช้ในการ衡量ขนาดความเรียบของผิวงาน โดยการวัดขนาดของความเรียบผิวเฉลี่ย (Roughness Average,  $R_A$ ) จะแสดงผลเป็นตัวเลขดิจิตอล มีหน่วยวัดเป็นไมครอน ที่ความละเอียด 0.01 ไมครอน โดยก่อนทำการวัดต้องทำการสอบเทียบ (Calibrate) เพื่อวัดค่า และปรับแต่งค่าตัวเลขการวัดให้ได้ตามผิวงานอ้างอิงมาตรฐาน (Reference Surface)



รูปที่ 3.4 อุปกรณ์สำหรับการวัดขนาดความเรียบผิวงาน

3.2.4 อุปกรณ์衡量การสึกหรอของคอมตัดมีดกลีง(Scanning Electron Microscope, SEM) เป็นอุปกรณ์ที่ใช้ในการ衡量การสึกหรอของคอมมีดกลีง โดยเป็นการวัดความลึกการสึกหรอของมีดกลีงอย่างน้อย 5 ชุด อุปกรณ์ชุดนี้สามารถขยายภาพในจุดที่ต้องการ และวัดค่าการสึกหรอระดับไมครอน(Micron, เศษหนึ่งส่วนพันมิลลิเมตร)



รูปที่ 3.5 อุปกรณ์衡量การสึกหรอของคอมตัดมีดกลีง

**3.2.5 เครื่องลับมุนเมดขันสำเร็จ (Finish Tool Grinding Machine)** ใช้สำหรับลับมุนเมดกลึง ที่ผ่านการลับเบื้องต้นมาแล้ว ให้ได้ค่ามุนตามที่กำหนดไว้



รูปที่ 3.6 เครื่องลับมุนเมดขันสำเร็จ

**3.2.6 อุปกรณ์ช่วยงานอื่นๆ (Accessories)** นอกจากอุปกรณ์หลักที่ใช้ในการทดลองโดยตรงแล้ว ยังมีอุปกรณ์ที่จำเป็นอื่นๆ ที่ต้องใช้ ดังต่อไปนี้

1. เครื่องลับมุนเมดเบื้องต้น ใช้สำหรับเตรียมมุนเมดเบื้องต้น
2. เครื่องกลึงสำหรับการจัดเตรียมวัสดุงานเบื้องต้น (Basic Lathe Machine) ใช้สำหรับการเตรียมวัสดุทดสอบก่อนการทดลอง
3. เครื่องมือวัดอื่นๆ ได้แก่
  - 3.1 เวอร์เนียร์คาร์ลิปเปอร์ (Vernier Caliper)
  - 3.2 เวอร์เนียร์ไฮเกจ (Vernier Height Gauge)
  - 3.3 ฟิลเลอร์เกจ (Filler Gauge)

### 3.3 ชิ้นงานและเครื่องมือตัด

**3.3.1 วัสดุชิ้นงาน** วัสดุชิ้นงานที่ใช้ในการทดลองเป็นเหล็กกล้าเครื่องมือ AISI 4140 ผ่านการเตรียมงานแล้ว

**3.3.2 วัสดุเมดกลึง (Tool Bit Material)** ทำจากเหล็ก High Speed Steel ขนาดพื้นที่หน้าตัด 6.4 × 6.4 มิลลิเมตร ยาวประมาณ 50 มิลลิเมตร

### 3.4 ขั้นตอนในการเตรียมชิ้นงาน

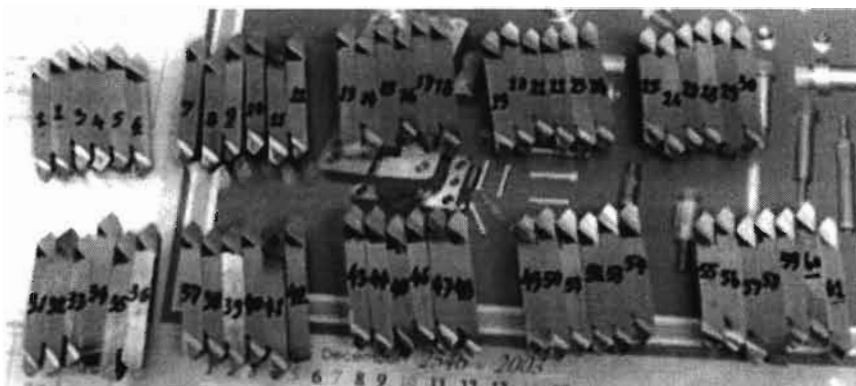
**3.4.1 การเตรียมชิ้นงานเบื้องต้น** นำเหล็กที่ใช้ในการทดสอบขนาดเส้นผ่าศูนย์กลาง 26 มม. ยาว 250 มม. กลึงให้ได้ขนาดเส้นผ่าศูนย์กลาง 25.5 มม. (สำหรับความเร็วตัด 20 ม./นาที), 25.1 มม. (สำหรับความเร็วตัด 28 ม./นาที), 22.9 มม.(สำหรับความเร็วตัด 36 ม./นาที) และ ยาว 200 มม. จำนวน 36 ชิ้น(แสดงไว้ในรูปที่ 3.8)



รูปที่ 3.7 การเตรียมชิ้นงานทดสอบ

**3.4.2 การทดสอบหาค่าคุณสมบัติของชิ้นงาน** ก่อนการทดสอบได้นำชิ้นงานไปทำการวัดค่าขนาดความแข็งของวัสดุชิ้นงานทดสอบ มีค่าความแข็งระหว่าง  $27-30 \text{ HR}_c$  มีส่วนผสมดังนี้  $\text{Fe} = 97.3329 \%$ ,  $\text{S} = 0.011 \%$ ,  $\text{C} = 0.396 \%$ ,  $\text{Cr} = 0.915 \%$ ,  $\text{Si} = 0.215 \%$ ,  $\text{Ni} = 0.120 \%$ ,  $\text{Sn} = 0.011 \%$ ,  $\text{Mn} = 0.634 \%$ ,  $\text{Mo} = 0.157 \%$ ,  $\text{Al} = 0.019 \%$ ,  $\text{Cu} = 0.167 \%$  และ  $\text{อื่นๆ} = 0.0221 \%$

**3.4.3 วัสดุมีดกลึง** นำมีดกลึง HSS มาลับมุมต่างๆในขนาดต่อไปนี้ มุนฟรีด้านข้าง 8 องศา, มุนลิ่ม 70 องศา, มุนคายเศษ โลหะ 12 องศา และมุนฟรีด้านหน้า 8 องศา มีความแข็งประมาณ  $58-62 \text{ HR}_c$



รูปที่ 3.8 มีดกลึงสำหรับการทดสอบ

### 3.5 ขั้นตอนการดำเนินการก่อนการทดลอง (Pilot Study)

การทดลองเบื้องต้นเป็นการศึกษาตัวแปรอิสระบางระดับเพื่อจะได้ทราบความเหมาะสมของการกำหนดตัวแปรอิสระที่ใช้ในการทดลอง เช่นทำให้ทราบถึงผลของตัวแปรและระดับที่นำมาศึกษาว่า มีความเหมาะสมหรือมีความสัมพันธ์กันแบบใดกับตัวแปรหลักที่ต้องการศึกษา เพื่อจะได้เลือกระดับของตัวแปรอิสระที่จะทำการศึกษาวิจัยได้ถูกต้อง ไม่ทำให้ล้าสัตว์เสียเวลาและค่าใช้จ่ายโดยไม่จำเป็น ทั้งยังป้องกันไม่ให้เกิดการทำร้ายสัตว์ เนื่องจากเครื่องมือและอุปกรณ์ที่ใช้ในการทดลองด้วย ซึ่งเมื่อทราบถึงแนวทางที่ถูกต้องแล้ว จะได้ทำการทดลองกับตัวแปรที่กำหนดไว้ทั้งหมด เพื่อหาข้อสรุปถึงปัจจัยที่มีผลต่อคุณภาพของผิวงานกลึง(ความเรียนของพื้นผิวงาน)และการสึกหรอของคนตัดมีคุณลักษณะ

ในการทดลองเบื้องต้นนี้ ผู้วิจัยได้วางแผนการทดลองไว้โดยกำหนดให้ความยาวในการกลึง 50 มม. ระดับความลึกในการกลึง 2 ระดับคือ 0.5 และ 1 มม. ความเร็วตัด 2 ระดับ คือ 20 และ 40 ม./นาที และอัตราป้อน 4 ระดับคือ 0.1, 0.2, 0.3 และ 0.4 มม./รอบ ตามลำดับ เครื่องกลึงที่ใช้ในการทดลองมีขั้นความเร็วรอบดังนี้ 22, 31.5, 45, 63, 90, 125, 180, 250, 355, 500, 710 และ 1000 รอบ/นาที อัตราป้อนของเครื่องกลึงมีดังนี้ 0.08, 0.09, 0.11, 0.12, 0.13, 0.14 ฯลฯ ชิ้นงานทดลองมีขนาดเส้นผ่าศูนย์กลาง 26 มม. ดังนั้นที่ความเร็วตัด 40 ม./นาที ความเร็วรอบ 500 รอบ/นาที ชิ้นงานทดลองมีขนาดเส้นผ่าศูนย์กลาง 25.5 มม. ที่ความเร็วตัด 20 ม./นาที ความเร็วรอบ 250 รอบ/นาที ชิ้นงานทดลองมีขนาดเส้นผ่าศูนย์กลาง 25.5 มม. จากสมการ

$$V = \frac{\pi dh}{1000}$$

กำหนดให้  $V$  = ความเร็วตัด (ม./นาที)  
 $d$  = ขนาดเส้นผ่าศูนย์กลางชิ้นงาน (มม.)  
 $h$  = ความเร็วรอบ (รอบ/นาที)

เตรียมชิ้นงานให้ได้ขนาดตามที่กำหนด แล้วทำการทดลอง

จากผลการทดลองเบื้องต้น ทำให้ผู้วิจัยเลือกใช้ตัวแปรต้นในการทดลองดังนี้คือ

1. ความเร็วตัด  $V_1 = 20$  ม./นาที,  $V_2 = 28$  ม./นาที และ  $V_3 = 36$  ม./นาที
2. อัตราการป้อน  $f_1 = 0.08$  ม./รอบ,  $f_2 = 0.11$  ม./รอบ และ  $f_3 = 0.14$  ม./รอบ
3. ป้อนลึก  $h = 1$  มม.

### 3.6 ขั้นตอนการออกแบบการทดลอง

ในการทดลองเพื่อให้ได้ข้อมูลที่จะนำไปวิเคราะห์ ให้ตรงกับวัตถุประสงค์และสมมุติฐาน จึงได้นำข้อมูลในตารางที่ 3.1 มากำหนดแผนการทดลองได้ดังนี้

ตารางที่ 3.1 แผนการทดลองกำหนดให้เงื่อนไขละ 2 Replicates

ชนิดของสารหล่อเย็น	ความเร็วตัด (ม./นาที)	อัตราการป้อน (nm./รอบ)		
		0.08	0.11	0.14
น้ำมันหล่อลื่นชนิดผสมน้ำ	20	A <sub>1</sub>	A <sub>2</sub>	A <sub>3</sub>
		A <sub>11</sub>	A <sub>22</sub>	A <sub>33</sub>
	28	B <sub>1</sub>	B <sub>2</sub>	B <sub>3</sub>
		B <sub>11</sub>	B <sub>22</sub>	B <sub>33</sub>
	36	C <sub>1</sub>	C <sub>2</sub>	C <sub>3</sub>
		C <sub>11</sub>	C <sub>22</sub>	C <sub>33</sub>
น้ำมันพืช	20	D <sub>1</sub>	D <sub>2</sub>	D <sub>3</sub>
		D <sub>11</sub>	D <sub>22</sub>	D <sub>33</sub>
	28	E <sub>1</sub>	E <sub>2</sub>	E <sub>3</sub>
		E <sub>11</sub>	E <sub>22</sub>	E <sub>33</sub>
	36	F <sub>1</sub>	F <sub>2</sub>	F <sub>3</sub>
		F <sub>11</sub>	F <sub>22</sub>	F <sub>33</sub>

หมายเหตุ A<sub>1</sub>, A<sub>2</sub> และ A<sub>3</sub> หมายถึง การกลึงด้วยความเร็วตัด 20 ม./นาที และใช้อัตราป้อนในการกลึง 0.08, 0.11 และ 0.14 nm./รอบ ใช้น้ำมันหล่อลื่นชนิดผสมน้ำ(A<sub>11</sub> A<sub>22</sub> A<sub>33</sub> คือการทดลองครั้งที่ 2)

B<sub>1</sub>, B<sub>2</sub> และ B<sub>3</sub> หมายถึง การกลึงด้วยความเร็วตัด 28 ม./นาที และมีอัตราป้อนในการกลึง 0.08, 0.11 และ 0.14 nm./รอบ ใช้น้ำมันหล่อลื่นชนิดผสมน้ำ(B<sub>11</sub> B<sub>22</sub> B<sub>33</sub> คือการทดลองครั้งที่ 2)

C<sub>1</sub>, C<sub>2</sub> และ C<sub>3</sub> หมายถึง การกลึงด้วยความเร็วตัด 36 ม./นาที และมีอัตราป้อนในการกลึง 0.08, 0.11 และ 0.14 nm./รอบ ใช้น้ำมันหล่อลื่นชนิดผสมน้ำ(C<sub>11</sub> C<sub>22</sub> C<sub>33</sub> คือการทดลองครั้งที่ 2)

D<sub>1</sub>, D<sub>2</sub> และ D<sub>3</sub> หมายถึง การกลึงด้วยความเร็วตัด 20 ม./นาที และมีอัตราป้อนในการกลึง 0.08, 0.11 และ 0.14 nm./รอบ ใช้สารหล่อลื่นน้ำมันพืช(D<sub>11</sub> D<sub>22</sub> D<sub>33</sub> คือการทดลองครั้งที่ 2)

$E_1, E_2$  และ  $E_3$  หมายถึง การกลึงด้วยความเร็วตัด 28 ม./นาที และมีอัตราป้อนใน การกลึง 0.08, 0.11 และ 0.14 มม./รอบ ใช้สารหล่อเย็นน้ำมันพืช( $E_{11}, E_{22}, EA_{33}$  คือ การทดลองครั้งที่ 2)

$F_1, F_2$  และ  $F_3$  หมายถึง การกลึงด้วยความเร็วตัด 36 ม./นาที และมีอัตราป้อนใน การกลึง 0.08, 0.11 และ 0.14 มม./รอบ ใช้สารหล่อเย็นน้ำมันพืช( $F_{11}, F_{22}, F_{33}$  คือ การทดลองครั้งที่ 2)

### 3.7 ขั้นตอนการทดลอง

ลำดับการทดลอง จะสุ่มเลือกชิ้นงานโดยใช้โปรแกรมคอมพิเตอร์ แล้วบันทึกลำดับการทดลองลงใน ตารางที่ 3.2 ทดลองภายใต้เงื่อนไขที่ได้ออกแบบไว้จนครบ 36 ชิ้น

ตารางที่ 3.2 การสุ่มเลือกชิ้นงานสำหรับการทดลอง

ชนิดของสารหล่อเย็น	ความเร็วตัด (ม/นาที)	อัตราการป้อน (มม./รอบ)		
		0.08	0.11	0.14
น้ำมันหล่อเย็นชนิดผสมน้ำ	20	13	1	7
		31	19	25
	28	9	15	3
		27	33	21
	36	17	5	11
		35	23	29
น้ำมันพืช	20	2	8	14
		20	26	32
	28	4	10	16
		22	28	34
	36	18	12	6
		36	30	24

#### 3.7.1 การหาผลลัพธ์การทดลอง

ผลลัพธ์ที่ได้จากทดลองคือตัวแปรตามที่ 1 ค่าความชรุของพื้นผิว, Ra วัดหาค่าความชรุของ ผิวงาน แต่ละชิ้นจะถูกวัด 3 ตำแหน่ง ตำแหน่งแรกห่างจากปลายประมาณ 15 มม. ตำแหน่งที่ 2 อยู่ต่ำ

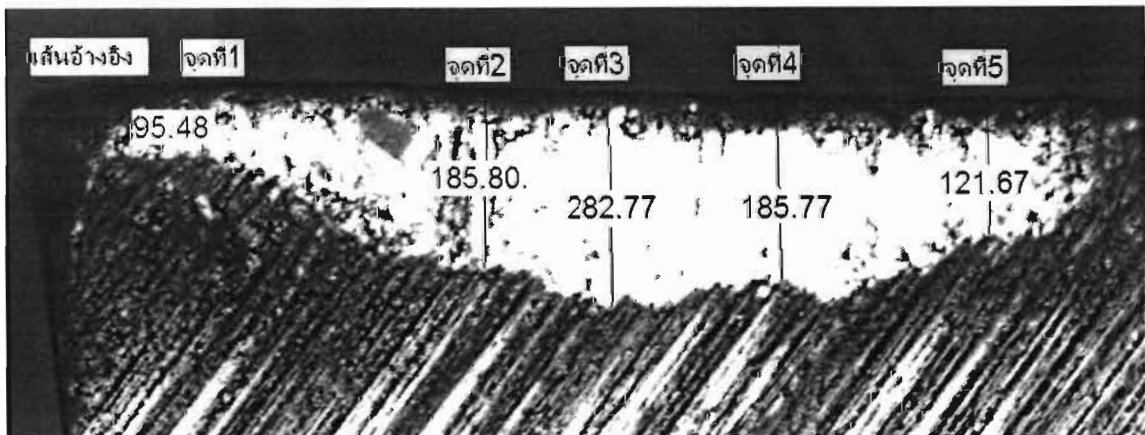
กล่างชิ้นงาน และตำแหน่งสุดท้ายห่างจากขอบประมาณ 15 มม. แล้วหาค่าเฉลี่ย (รูปที่ 3.9) ส่วนตัวแปรตามที่ 2 การวัดหาค่าการสีกหรือของมีดกลึง โดยวัดระยะที่สูงและต่ำ อย่างน้อย 5 ตำแหน่ง แล้วเฉลี่ยเป็นค่าการสีกหรือของมีดกลึง (รูปที่ 3.10) นำผลการทดลองบันทึกลงในตารางที่ 3.3 ตามลำดับ

### ตารางที่ 3.3 การเก็บผลการทดลอง

ตารางผลการทดลองครั้งที่ 1 (ความเรียบผิวและการสีกหรือของมีดกลึง)							
No	สารหล่อเย็น	V	Feed	Ra <sub>1</sub>	Ra <sub>2</sub>	Ra <sub>3</sub>	Ra <sub>Ave</sub>
1	น้ำมันหล่อเย็นชนิดผสมน้ำ	20	0.11	A <sub>2</sub>	A <sub>2</sub>	A <sub>2</sub>	A <sub>2Ave</sub>
2	น้ำมันพืช	20	0.08	B <sub>1</sub>	B <sub>1</sub>	B <sub>1</sub>	B <sub>1Ave</sub>
3	น้ำมันหล่อเย็นชนิดผสมน้ำ	28	0.14	C <sub>3</sub>	C <sub>3</sub>	C <sub>3</sub>	C <sub>3Ave</sub>
4	น้ำมันพืช	28	0.08	D <sub>1</sub>	D <sub>1</sub>	D <sub>1</sub>	D <sub>1Ave</sub>
5	น้ำมันหล่อเย็นชนิดผสมน้ำ	36	0.11	E <sub>2</sub>	E <sub>2</sub>	E <sub>2</sub>	E <sub>2Ave</sub>
6	น้ำมันพืช	36	0.14	F <sub>3</sub>	F <sub>3</sub>	F <sub>3</sub>	F <sub>3Ave</sub>
7	น้ำมันหล่อเย็นชนิดผสมน้ำ	20	0.14	A <sub>3</sub>	A <sub>3</sub>	A <sub>3</sub>	A <sub>3Ave</sub>
8	น้ำมันพืช	20	0.11	B <sub>2</sub>	B <sub>2</sub>	B <sub>2</sub>	B <sub>2Ave</sub>
9	น้ำมันหล่อเย็นชนิดผสมน้ำ	28	0.08	C <sub>1</sub>	C <sub>1</sub>	C <sub>1</sub>	C <sub>1Ave</sub>
10	น้ำมันพืช	28	0.11	D <sub>2</sub>	D <sub>2</sub>	D <sub>2</sub>	D <sub>2Ave</sub>
11	น้ำมันหล่อเย็นชนิดผสมน้ำ	36	0.14	E <sub>3</sub>	E <sub>3</sub>	E <sub>3</sub>	E <sub>3Ave</sub>
12	น้ำมันพืช	36	0.11	F <sub>2</sub>	F <sub>2</sub>	F <sub>2</sub>	F <sub>2Ave</sub>
13	น้ำมันหล่อเย็นชนิดผสมน้ำ	20	0.08	A <sub>1</sub>	A <sub>1</sub>	A <sub>1</sub>	A <sub>1Ave</sub>
14	น้ำมันพืช	20	0.14	B <sub>3</sub>	B <sub>3</sub>	B <sub>3</sub>	B <sub>3Ave</sub>
15	น้ำมันหล่อเย็นชนิดผสมน้ำ	28	0.11	C <sub>2</sub>	C <sub>2</sub>	C <sub>2</sub>	C <sub>2Ave</sub>
16	น้ำมันพืช	28	0.14	D <sub>3</sub>	D <sub>3</sub>	D <sub>3</sub>	D <sub>3Ave</sub>
17	น้ำมันหล่อเย็นชนิดผสมน้ำ	36	0.08	E <sub>1</sub>	E <sub>1</sub>	E <sub>1</sub>	E <sub>1Ave</sub>
18	น้ำมันพืช	36	0.08	F <sub>1</sub>	F <sub>1</sub>	F <sub>1</sub>	F <sub>1Ave</sub>



รูปที่ 3.9 การวัดหาค่าความเรียบผิวงานกลึง



รูปที่ 3.10 การวัดหาค่าการสึกหรอของมีดกลึง

### 3.8 ขั้นตอนการทดลองและการเก็บรวบรวมข้อมูล

**3.8.1 ขั้นตอนในการกลึง** ในการกลึงงานทดลองจะการสุ่มเลือกชิ้นงาน จากตารางที่ 3.2 มาทำ การกลึงภายใต้เงื่อนไขที่ได้ออกแบบการทดลองไว้จำนวน 36 ชิ้น โดยชิ้นงานทดลองถูกกำหนด เงื่อนไขและเตรียมไว้แล้วตามรายละเอียดในตารางที่ 3.3

**3.8.2 ขั้นตอนในการเก็บรวบรวมข้อมูล** ในการเก็บรวบรวมข้อมูลจากการทดลองมีลำดับ ขั้นตอนดังนี้

ก) นำชิ้นงานทดลองที่จะกลึงมาทัล 1 ชิ้น ตามตารางที่ 3.2 โดยวิธีการสุ่ม เมื่อสุ่มได้ตัวได้ ก็ ปรับค่าที่เครื่องกลึง ตามระดับตัวแปรตามที่กำหนดในตารางที่ 3.3

ข) ทำการกลึงปอกโดยป้อนลึก 1 มม. และกลึงยาวประมาณ 200 มม.

ค) เปลี่ยนมีดใหม่สำหรับงานต่อไป

ง) ทดสอบชิ้นงานออกจากเครื่องกลึง ดำเนินการตามข้อ ก. ถึง ง. จนครบทุกชิ้น

จ) นำชิ้นงานทดลองไปวัดหาค่าความเรียบของพื้นผิวงานกลึง ชิ้นงานแต่ละชิ้นจะถูกวัด 3 ตำแหน่ง ตำแหน่งแรกห่างจากปลายประมาณ 15 มม. ตำแหน่งที่ 2 อยู่ตรงกลางชิ้นงาน และตำแหน่งสุดท้ายห่างจากขอบประมาณ 15 มม. แล้วหาค่าเฉลี่ยความเรียบพิwa ข้อมูลที่ได้เก็บไว้ในตารางที่ 3.3 นำมีดกลึงจากการทดลองไปวัดหาค่าการสึกหรอโดย วัสดุที่สูงและต่ำ อย่างน้อย 5 ตำแหน่ง แล้วเฉลี่ยเป็นค่าการสึกหรอของมีดกลึง ข้อมูลที่ได้เก็บไว้ในตารางที่ 3.3

### 3.9 สติติที่ใช้ในการวิเคราะห์ข้อมูล[7]

ในการวิเคราะห์ข้อมูลซึ่งมีค่าพารามิเตอร์ต่างๆในการทดลอง โดยสติติดังนี้

**3.9.1 การหาค่าเฉลี่ยของค่าความแข็งและความเรียบของพื้นผิวใช้สูตรคือ**

$$\text{จากสูตร} \quad \bar{X} = \frac{\sum_{i=1}^n X}{N}$$

เมื่อ  $\bar{X}$  = ค่าเฉลี่ยของข้อมูลทั้งหมด

$\sum_{i=1}^n X$  = ผลรวมของข้อมูลทั้งหมด

N = จำนวนของข้อมูล

**3.9.2 ส่วนเบี่ยงเบนมาตรฐาน (Standard Deviation) เป็นการวัดการกระจายของข้อมูล (Measure of Variability) ที่เบี่ยงเบนออกจากค่าเฉลี่ยของข้อมูล**

$$\text{สูตร} \quad S = \sqrt{\frac{\sum_{i=1}^n (x - \bar{x})^2}{n-1}}$$

S = ส่วนเบี่ยงเบนมาตรฐาน

X = ข้อมูลแต่ละจำนวน

$\bar{X}$  = ค่าเฉลี่ยของข้อมูล

n = จำนวนของข้อมูลทั้งหมด

**3.9.3 การวิเคราะห์ความแปรปรวน (ANOVA)**

## บทที่ 4 ผลการทดลองและวิเคราะห์ข้อมูล

การวิจัยนี้ได้ศึกษาปัจจัยต่างๆ ที่มีอิทธิพลต่อผิวงานกลึง (เหล็กเกรียงเมือ AISI4140) และคอมมีดกลึง (High Speed Steel) ตัวแปรที่ใช้ศึกษาในงานกลึงนี้คือ สารหล่อเย็น ความเร็วตัด และอัตราป้อน ซึ่งเป็นตัวแปรต้น ตัวแปรตามประกอบด้วย ความเรียบของพื้นผิวงาน และการสึกหรอของคมมีดกลึง ใน การทดลองนี้ใช้กุ่มตัวอย่าง จำนวน 36 ชิ้น ใช้สารหล่อเย็น 2 ชนิดคือ น้ำมันหล่อเย็นชนิดผสมน้ำ และน้ำมันพืช ความเร็วตัดมี 3 ระดับ ประกอบด้วย 20 28 และ 36 ม./นาที อัตราป้อนมี 3 ระดับ คือ 0.08 0.11 และ 0.14 มม./รอบ เมื่อทำการกลึงชิ้นงานเสร็จแล้วจะนำไปวัดหาค่าความเรียบของพื้นผิวงาน โดยเครื่องวัดขนาดความเรียบของผิวงาน ( $\mu\text{m}$ ) และวัดความสึกหรอของมีดกลึงโดยใช้กล้องจุลทรรศน์ ( $\mu\text{m}$ ) จากผลการทดลองครั้งนี้ ใช้สถิติวิเคราะห์ข้อมูลแบบแผนการทดลองด้วยโปรแกรมคอมพิวเตอร์ โดยใช้ค่าทางสถิติวิเคราะห์ข้อมูลคือ F-Ratio และระดับความเชื่อมั่น 95 %

### 4.1 ผลของการทดลองเบื้องต้น

การศึกษาการดำเนินการก่อนการทดลอง(Pilot Study) เพื่อหาระดับของตัวแปรอิสระที่เหมาะสมกับ การทดลอง ได้ผลของการทดลองเบื้องต้นแสดงไว้ในตารางที่ 4.1 และ 4.2

**ตารางที่ 4.1 ระดับของตัวแปรและผลการทดลองเบื้องต้นของน้ำมันหล่อเย็นชนิดผสมน้ำ**

สารหล่อเย็น	ความเร็วตัด (ม./นาที)	ความลึก (มม.)	อัตราป้อน (มม./รอบ)	ผลที่ได้	หมายเหตุ
น้ำมันหล่อเย็นชนิดผสมน้ำ (Water Solute Oil)	20	0.5	0.1	ใช้ได้	กลึงได้ตลอดความยาวที่กำหนดไว้ เศษกลึงและมีดกลึงไม่ใหม่
			0.2	ใช้ได้	
			0.3	ใช้ได้	
			0.4	ใช้ได้	
	1	1	0.1	ใช้ได้	ผิวชุรุยะมาก
			0.2	ใช้ไม่ได้	
			0.3	ใช้ไม่ได้	
			0.4	ใช้ไม่ได้	
	40	0.5	0.1	ใช้ได้	กลึงได้ตลอดความยาวที่กำหนดไว้
			0.2	ใช้ได้	
			0.3	ใช้ไม่ได้	
			0.4	ใช้ไม่ได้	
	1	1	0.1	ใช้ได้	ผิวชุรุยะมาก
			0.2	ใช้ไม่ได้	
			0.3	ใช้ไม่ได้	
			0.4	ใช้ไม่ได้	

ตารางที่ 4.2 ระดับของตัวแปรและผลที่ได้จากการทดลองเบื้องต้นของน้ำมันพืช

สารหล่อเย็น น้ำมันพืช (Vegetable Oil)	ความเร็วตัด (ม./นาที)	ความลึก (มม.)	อัตราป้อน (มม./รอบ)	ผลที่ได้	หมายเหตุ
น้ำมันพืช (Vegetable Oil)	20	0.5	0.1	ใช้ได้	กลึงได้ตลอดความยาวที่กำหนดไว้
			0.2	ใช้ได้	
			0.3	ใช้ได้	
			0.4	ใช้ไม่ได้	ผิวขรุขระมาก
		1	0.1	ใช้ได้	ผิวขรุขระมาก
			0.2	ใช้ไม่ได้	
			0.3	ใช้ไม่ได้	
			0.4	ใช้ไม่ได้	
น้ำมันพืช (Vegetable Oil)	40	0.5	0.1	ใช้ได้	กลึงได้ตลอดความยาวที่กำหนดไว้
			0.2	ใช้ได้	
			0.3	ใช้ไม่ได้	
			0.4	ใช้ไม่ได้	ผิวขรุขระมาก
		1	0.1	ใช้ได้	กลึงไม่ได้ตลอดความยาวที่กำหนดไว้ เศษกลึงและปลายมีเศษกลึงใหม่
			0.2	ใช้ไม่ได้	
			0.3	ใช้ไม่ได้	
			0.4	ใช้ไม่ได้	

เมื่อ ได้ระดับตัวแปรที่เหมาะสมแล้ว จึงทำการทดลองตามแผนการทดลอง และ วัดหาค่าตัวแปรตาม

## 4.2 ผลของการทดลอง

ผลลัพธ์ที่ได้จากการทดลองคือ ค่าเฉลี่ยความเรียบผิวงานกึ่ง (Ra) และค่าเฉลี่ยการสึกหรอของมีดกลึง (แสดงไว้ในตารางที่ 4.3 และตารางที่ 4.4 )

ตารางที่ 4.3 ข้อมูลค่าเฉลี่ยความเรียบผิวงานกึ่ง ( $\mu\text{m}$ )

ชนิดของสารหล่อเย็น	ความเร็วตัด (ม/นาที)	อัตราการปื้น (มม./รอบ)		
		0.08	0.11	0.14
น้ำมันหล่อลื่นชนิดผสมน้ำ	20	6.62	8.69	10.82
		5.56	10.10	11.70
	28	6.90	8.56	13.23
		6.83	10.26	13.00
	36	7.07	7.43	13.47
		6.02	11.92	12.08
น้ำมันพืช	20	7.07	10.53	12.90
		3.74	9.36	11.09
	28	9.33	10.74	11.30
		8.69	8.93	9.65
	36	6.19	6.75	8.81
		5.69	6.44	9.69

ตารางที่ 4.4 ข้อมูลค่าเฉลี่ยความสึกหรอของคมมีดกลึง ( $\mu\text{m}$ )

ชนิดของสารหล่อเย็น	ความเร็วตัด (ม/นาที)	อัตราการปื้น (มม./รอบ)		
		0.08	0.11	0.14
น้ำมันหล่อลื่นชนิดผสมน้ำ	20	45.70	53.27	82.86
		44.80	73.75	84.84
	28	142.77	172.64	218.37
		151.32	174.30	191.41
	36	94.78	147.41	272.90
		112.12	161.78	333.15

ตารางที่ 4.4 (ต่อ)

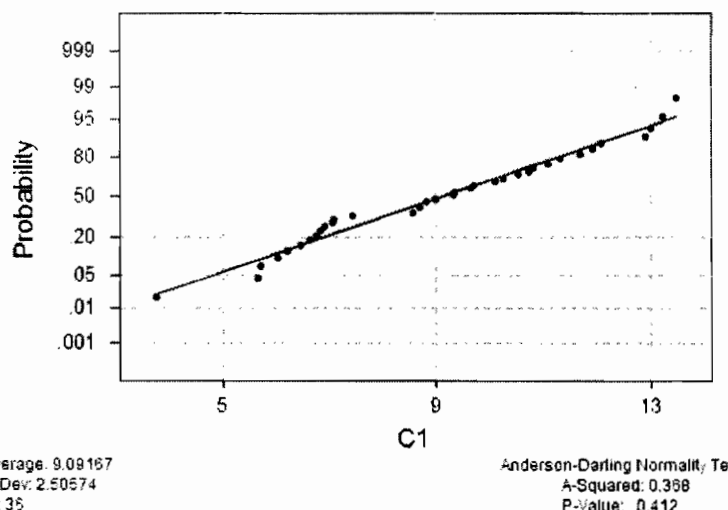
ชนิดของสารหล่อเย็น	ความเร็วตัด (ม/นาที)	อัตราการป้อน (มม./รอบ)		
		0.08	0.11	0.14
น้ำมันพืช	20	41.78	61.54	112.14
		46.12	88.20	148.36
	28	122.65	156.33	163.77
		101.54	131.34	194.35
	36	123.71	171.37	282.80
		132.56	222.94	277.23

### 4.3 ปัจจัยของสารหล่อเย็น ความเร็วตัด และอัตราป้อน ส่งผลต่อความเรียนของผิวงานกึ่ง

จากการทดลองพบว่า สารหล่อเย็น ความเร็วตัด และ อัตราป้อน ส่งผลกระทบต่อความเรียนของผิวงานกึ่ง โดยทำการวัดค่าที่ผิวชั้นงานจากการทดสอบ จะได้ค่าความเรียนของพื้นผิวชั้นงานทดสอบ ภายใต้เงื่อนไขการทดลองตามแผนการทดลอง แล้วนำมาวิเคราะห์ทางสถิติ ดังรายละเอียด ดังต่อไปนี้

1. แจกแจงข้อมูลของสารหล่อเย็น ความเร็วตัด และ อัตราป้อน ที่มีอิทธิพลต่อความเรียนของผิวงาน โดยกำหนดค่าันยสำคัญเท่ากับ 0.05 (ระดับความเชื่อมั่น 95 %) ค่าความเรียนของผิวงานทุกระดับของพารามิเตอร์การกลึงปอกผิวมีการแจกแจงแบบปกติ (รูปที่ 4.1)

Normal Probability Plot



รูปที่ 4.1 กราฟแสดงการแจกแจงของข้อมูลแบบปกติของความเรียนของผิวงาน

2. ตรวจสอบการแจกแจงของข้อมูล แล้วทำการทดสอบการกระจายของข้อมูลค่าความเรียนของผู้งาน

3. พิจารณาการกระจายของข้อมูลแล้ว นำข้อมูลทั้งหมดมาวิเคราะห์หาความสัมพันธ์ของสารหล่อเย็น ความเร็วตัด และ อัตราป้อน ต่อความเรียนของผู้งาน

ตารางที่ 4.5 แสดงผลการวิเคราะห์ ANOVA ของค่าตัวแปรที่มีอิทธิพลต่อความเรียนของผู้งาน

Source	Type III Sum of Squares	df	Mean Square	F	Sig.
สารหล่อเย็น	4.988	1	4.988	3.399	.082
ความเร็วตัด	10.648	2	5.324	3.628	.047
อัตราป้อน	139.981	2	69.991	47.695	.000
สารหล่อเย็น * ความเร็วตัด	12.442	2	6.221	4.239	.031
สารหล่อเย็น * อัตราป้อน	6.492	2	3.246	2.212	.138
ความเร็วตัด * อัตราป้อน	7.273	4	1.818	1.239	.330
สารหล่อเย็น * ความเร็วตัด * อัตราป้อน	11.518	4	2.879	1.962	.144
ค่าพิเศษ	26.414	18	1.467		
รวมทั้งหมด	3195.458	36			

จากตารางที่ 4.5 เมื่อพิจารณาค่า P-value ที่ได้จากการวิเคราะห์กระจายของข้อมูล นำผลที่ได้ทั้งหมด มาหาความสัมพันธ์ของ สารหล่อเย็น ความเร็วตัด และ อัตราป้อน พนวณว่าปัจจัยที่เป็นอิทธิพลหลัก (Main Effect) ส่งผลกระทบต่อความเรียนของผู้งานคือ ความเร็วตัดมีอิทธิพลต่อความเรียนของผู้งาน อย่างมีนัยสำคัญทางสถิติที่ระดับ 0.05 และ อัตราป้อนมีอิทธิพลต่อความเรียนของผู้งาน อย่าง มีนัยสำคัญทางสถิติที่ระดับ 0.01 ปัจจัยที่เป็นอิทธิพลร่วม (Interaction Effect) ส่งผลกระทบต่อความเรียนของผู้งาน คือ สารหล่อเย็นมีความสัมพันธ์กับความเร็วตัด ส่งผลกระทบต่อความเรียนของผู้งาน อย่างมีนัยสำคัญทางสถิติที่ระดับ 0.05 ปัจจัยอื่นๆ ไม่มีอิทธิพลต่อความเรียนของผู้งาน ดัง รายละเอียดต่อไปนี้

1. ความเร็วตัดมีอิทธิพลต่อความเรียนของผู้งาน จากการทดสอบความแปรปรวนพบว่า มี ค่าเฉลี่ยของระดับความเร็วอย่างน้อยหนึ่งคู่ที่แตกต่างจากคู่อื่น ดังนั้นจึงทำการวิเคราะห์ว่ามีคู่ใดบ้างที่ ต่างกัน โดยใช้วิธีการวิเคราะห์แบบ LSD (Least Significant Difference) ผลการวิเคราะห์แสดงไว้ใน ตารางที่ 4.6

ตารางที่ 4.6 ความแตกต่างของระดับความเร็วตัด ที่มีอิทธิพลต่อความเรียบของผิวงาน โดยวิธี LSD

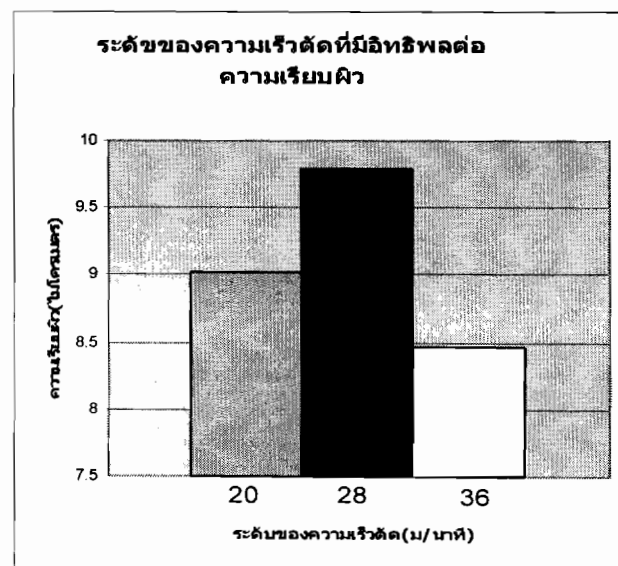
(I) ความเร็วตัด	(J) ความเร็ว	Mean Difference (I-J)	Std. Error	Sig.	95% Confidence Interval	
					Lower Bound	Upper Bound
20 m/min	28 m/min	-.7683	.49455	.138	-1.8073	.2707
	36 m/min	.5583	.49455	.274	-.4807	1.5973
28 m/min	20 m/min	.7683	.49455	.138	-.2707	1.8073
	36 m/min	1.3267(*)	.49455	.015	.2877	2.3657
36 m/min	20 m/min	-.5583	.49455	.274	-1.5973	.4807
	28 m/min	-1.3267(*)	.49455	.015	-2.3657	-.2877

การวิเคราะห์หาค่าเฉลี่ยของระดับความเร็วตัด จากตารางที่ 4.6 พบว่าความเร็วตัดระดับ 28 ถูกกับ 36 ม/นาที มีความแตกต่างต่อความเรียบของผิวงาน อย่างมีนัยสำคัญทางสถิติที่ระดับ 0.05 แสดงไว้ในตารางที่ 4.7 และ รูปที่ 4.2

ตารางที่ 4.7 สรุปผลการวิเคราะห์ความสัมพันธ์ของความเร็วตัดที่ระดับต่าง ๆ

ความเร็วตัดที่ระดับ	1(20 ม/นาที)	2 (28 ม/นาที)	(36 ม/นาที)
1 (20 ม/นาที)		0.138	0.274
2 (28 ม/นาที)			*
3 (36 ม/นาที)			

\* มีนัยสำคัญที่ระดับ .05



รูปที่ 4.2 กราฟแสดงความแตกต่างของระดับความเร็วตัด ที่มีอิทธิพลต่อความเรียบของผิวงาน

2. อัตราปืนมีอิทธิพลต่อความเรียบของผิวงาน จากการทดสอบความแปรปรวนพบว่า มีค่าเฉลี่ยของระดับอัตราปืนอย่างน้อยหนึ่งคู่ที่แตกต่างจากกันอื่น จึงทำการวิเคราะห์ว่ามีคูณด้านที่ต่างกัน โดยใช้วิธีการวิเคราะห์แบบ LSD (Least Significant Difference) ผลการวิเคราะห์แสดงไว้ในตารางที่ 4.8

ตารางที่ 4.8 ความแตกต่างของระดับอัตราปืน ที่มีอิทธิพลต่อความเรียบของผิวงาน โดยวิธี LSD

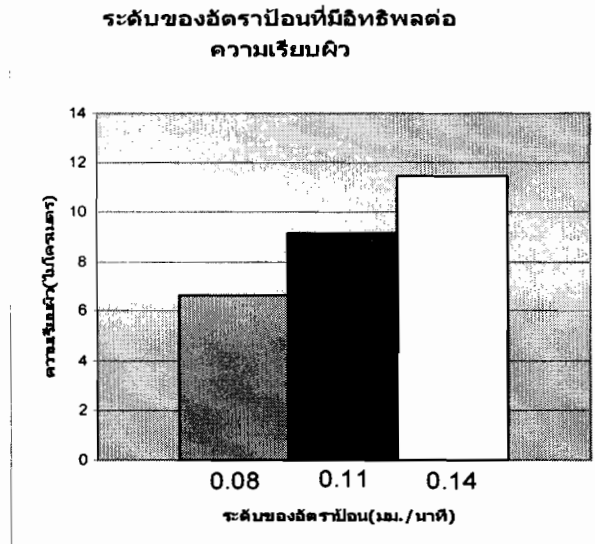
(I) อัตราปืน	(J) อัตราปืน	Mean Difference (I-J)	Std. Error	Sig.	95% Confidence Interval	
					Lower Bound	Upper Bound
0.08 mm/round	0.11 mm/round	-2.4983(*)	.49455	.000	-3.5373	-1.4593
	0.14 mm/round	-4.8292(*)	.49455	.000	-5.8682	-3.7902
0.11 mm/round	0.08 mm/round	2.4983(*)	.49455	.000	1.4593	3.5373
	0.14 mm/round	-2.3308(*)	.49455	.000	-3.3698	-1.2918
0.14 mm/round	0.08 mm/round	4.8292(*)	.49455	.000	3.7902	5.8682
	0.11 mm/round	2.3308(*)	.49455	.000	1.2918	3.3698

การวิเคราะห์หาค่าเฉลี่ยของระดับอัตราปืนจากตารางที่ 4.8 พบว่าอัตราปืนระดับ 0.08 คู่กับ 0.11 นม./รอบ มีความแตกต่างต่อความเรียบของผิวงาน อย่างมีนัยสำคัญทางสถิติที่ระดับ 0.01 อัตราปืนระดับ 0.08 คู่กับ 0.14 นม./รอบ มีความแตกต่างต่อความเรียบของผิวงาน อย่างมีนัยสำคัญทางสถิติที่ระดับ 0.01 อัตราปืนระดับ 0.11 คู่กับ 0.14 นม./รอบ มีความแตกต่างต่อความเรียบของผิวงาน อย่างมีนัยสำคัญทางสถิติที่ระดับ 0.01 และ รูปที่ 4.3

ตารางที่ 4.9 สรุปผลการวิเคราะห์ความสัมพันธ์ของอัตราปืนที่ระดับต่าง ๆ

ความเร็วตัดที่ระดับ	1 (0.08 นม./รอบ)	2 (0.11 นม./รอบ)	3 (0.14 นม./รอบ)
1 (0.08 นม./รอบ)		**	**
2 (0.11 นม./รอบ)			**
3 (0.14 นม./รอบ)			

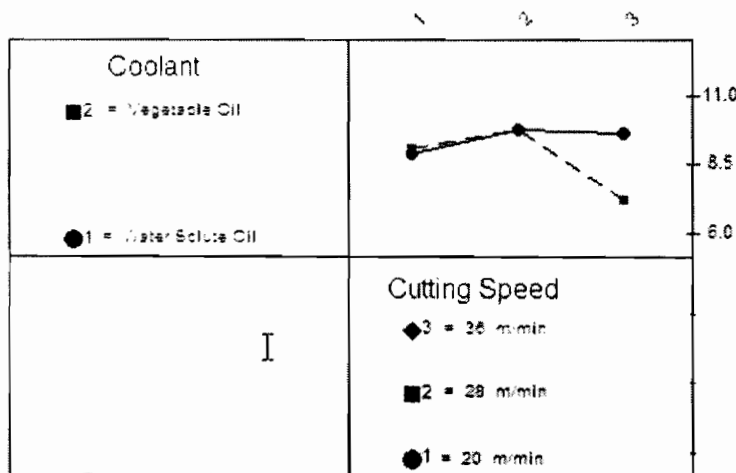
\*\* มีนัยสำคัญที่ระดับ .01



รูปที่ 4.3 กราฟแสดงความแตกต่างของระดับอัตราป้อน ที่มีอิทธิพลต่อความเรียนของผิวงาน

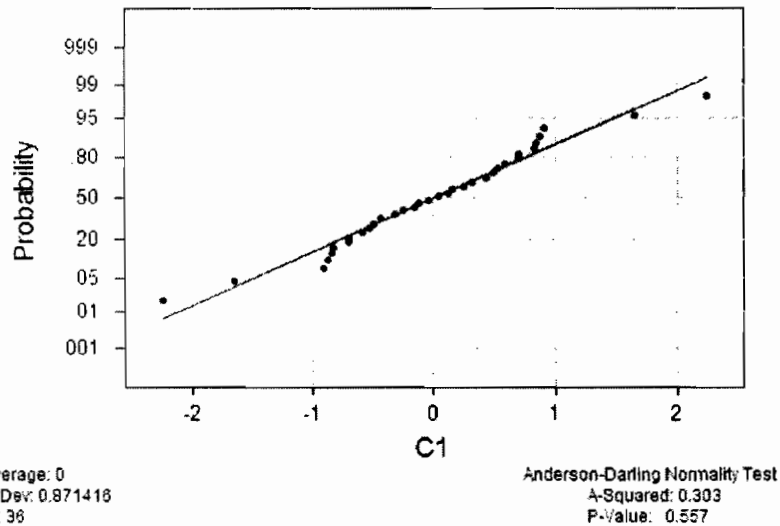
3. สารหล่อลื่นมีความสัมพันธ์กับความเร็วตัด ส่งผลกระทบต่อความเรียนของผิวงาน อย่างมีนัยสำคัญทางสถิติที่ระดับ 0.05 จากรูปที่ 4.4 พบว่า น้ำมันหล่อลื่นชนิดผสมน้ำ มีผลต่อความเรียนของผิวงานน้อยกว่าน้ำมันพืชที่ความเร็วตัดระดับ 20 ม/นาที น้ำมันหล่อลื่นชนิดผสมน้ำ มีผลต่อความเรียนของผิวงานไม่แตกต่างกับน้ำมันพืชที่ความเร็วตัดระดับ 28 ม/นาที น้ำมันหล่อลื่นชนิดผสมน้ำมีผลต่อความเรียนของผิวงานมากกว่าน้ำมันพืชที่ความเร็วตัดระดับ 36 ม/นาที จากผลการวิเคราะห์พบว่า เมื่อใช้สารหล่อลื่นและความเร็วตัดร่วมกัน น้ำมันพืชทำให้ผิวงานเรียนกว่าน้ำมันหล่อลื่นชนิดผสมน้ำ ที่ความเร็วตัดระดับ 36 ม/นาที

**Interaction Plot – LS Means for Roughness**



รูปที่ 4.4 กราฟแสดงอิทธิพลร่วม (Interaction) ของสารหล่อลื่นที่มีความสัมพันธ์กับความเร็วตัด ส่งผลกระทบต่อความเรียนของผิวงาน

เมื่อทำการทดสอบความคลาดเคลื่อนของค่าความเรียบของผิวงาน พบร่วมกับ มีการแจกแจงแบบปกติ (Normal Distribution) ได้ค่า P-Value = 0.557 ซึ่งมีค่ามากกว่า 0.05 (แสดงไว้ในรูปที่ 4.5)



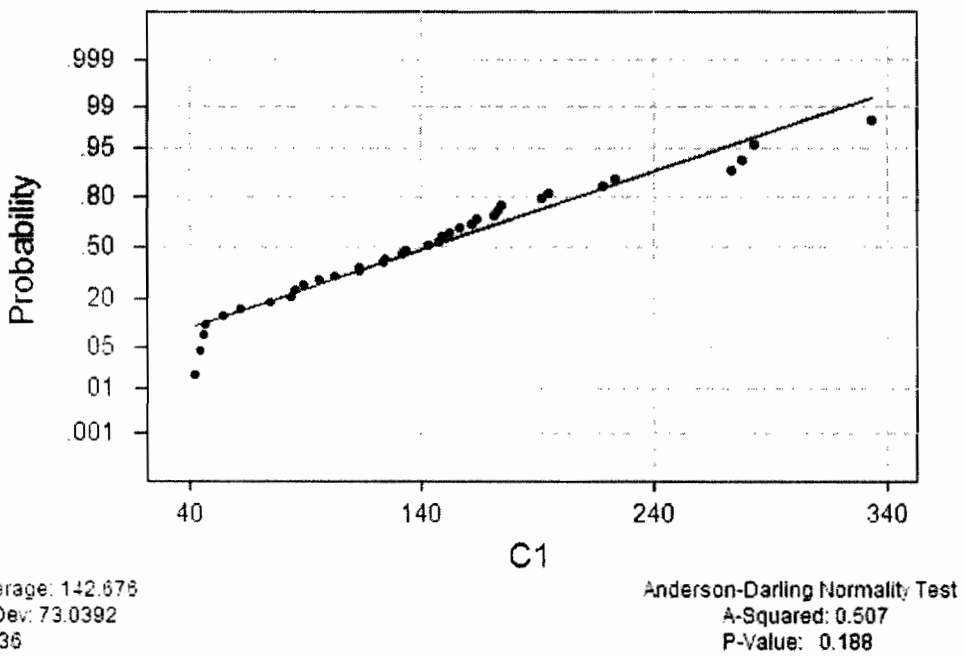
รูปที่ 4.5 กราฟแสดงการแจกแจงปกติค่าความคลาดเคลื่อนของความเรียบของผิวงาน (Surface Roughness)

#### 4.4 ปัจจัยของสารหล่อเย็น ความเร็วตัด และอัตราปืน ส่งผลต่อการสึกหรอของมีดกลึง

จากการทดลองพบว่า สารหล่อเย็น ความเร็วตัด และ อัตราปืน ส่งผลกระทบต่อการสึกหรอของมีดกลึง (Tool Wear) โดยทำการวัดค่าการสึกหรอที่ผิวด้านข้างของมีดกลึง ภายใต้เงื่อนไขการทดลองตามแผนการทดลอง แล้วนำวิเคราะห์ทางสถิติ ดังรายละเอียด ดังต่อไปนี้

1. การแจกแจงของข้อมูลการสึกหรอของมีดกลึง โดยพบว่าเมื่อกำหนดค่านัยสำคัญเท่ากับ 0.05 (ระดับความเชื่อมั่น 95 %) ค่าการสึกหรอของมีดกลึง ทุกรอบคับของพารามิเตอร์การกลึงปอกผิวมีการแจกแจงข้อมูลแบบปกติ (รูปที่ 4.6)

### Normal Probability Plot



**รูปที่ 4.6** กราฟแสดงการแจกแจงข้อมูลแบบปกติของการสีกหรือของมีดกลึง

2. ตรวจสอบการแจกแจงของข้อมูล แล้วทำการทดสอบการกระจายข้อมูลของค่าการสีกหรือของมีดกลึง

3. พิจารณาการกระจายของข้อมูลแล้ว นำข้อมูลทั้งหมดมาวิเคราะห์หาความสัมพันธ์ของสารหล่อเย็น ความเร็วตัด และ อัตราปืน ต่อการสีกหรือของมีดกลึง

**ตารางที่ 4.10** แสดงผลการวิเคราะห์ ANOVA ของค่าตัวแปรที่มีอิทธิพลต่อการสีกหรือของมีดกลึง

Source	Type III Sum of Squares	df	Mean Square	F	Sig.
สารหล่อเย็น	12.769	1	12.769	.038	.848
ความเร็วตัด	93041.369	2	46520.685	137.386	.000
อัตราปืน	61483.534	2	30741.767	90.788	.000
สารหล่อเย็น * ความเร็วตัด	4443.637	2	2221.819	6.562	.007
สารหล่อเย็น * อัตราปืน	228.951	2	114.475	.338	.718
ความเร็วตัด * อัตราปืน	18093.529	4	4523.382	13.359	.000
สารหล่อเย็น * ความเร็วตัด * อัตราปืน	3316.448	4	829.112	2.449	.084
ค่าผิดพลาด	6095.014	18	338.612		
รวมทั้งหมด	919548.267	36			

จากตารางที่ 4.8 เมื่อพิจารณาค่า P-value ที่ได้จากการวิเคราะห์กระจายของข้อมูล นำผลที่ได้ทั้งหมด มาหาความสัมพันธ์ของ สารหล่อเย็น ความเร็วตัด และอัตราป้อน พบร่วมกันที่เป็นอิทธิพลหลัก (Main Effect) ส่งผลกระทบต่อการสึกหรอของมีดกลึงคือ ความเร็วตัดมีอิทธิพลต่อการสึกหรอของมีด กลึง อย่างมีนัยสำคัญทางสถิติที่ระดับ 0.01 และ อัตราป้อนมีอิทธิพลต่อการสึกหรอของมีดกลึง อย่าง มีนัยสำคัญทางสถิติที่ระดับ 0.01 ปัจจัยที่เป็นอิทธิพลร่วม (Interaction Effect) ส่งผลกระทบต่อการ สึกหรอของมีดกลึงคือ สารหล่อเย็นมีความสัมพันธ์กับความเร็วตัด ส่งผลกระทบต่อการสึกหรอของ มีดกลึง อย่างมีนัยสำคัญทางสถิติที่ระดับ 0.01 และความเร็วตัดมีความสัมพันธ์กับอัตราป้อน ส่งผล ผลกระทบต่อการสึกหรอของมีดกลึง อย่างมีนัยสำคัญทางสถิติที่ระดับ 0.01 ปัจจัยอื่นๆ ไม่ส่งผลต่อการ สึกหรอของมีดกลึง ดังรายละเอียดต่อไปนี้

1. ความเร็วตัดมีอิทธิพลต่อการสึกหรอของมีดกลึง จากการทดสอบความแปรปรวนพบว่า มี ค่าเฉลี่ยของระดับความเร็วตัดอย่างน้อยหนึ่งคู่ที่แตกต่างจากคู่อื่น ดังนั้นจึงทำการวิเคราะห์ว่ามีคู่ ใดบ้างที่ต่างกัน โดยใช้วิธีการวิเคราะห์แบบ LSD (Least Significant Difference) ผลการวิเคราะห์ แสดงไว้ในตารางที่ 4.11

**ตารางที่ 4.11 แสดงความแตกต่างของระดับความเร็วตัด ที่มีอิทธิพลต่อการสึกหรอของมีดกลึง**

โดยวิธี LSD

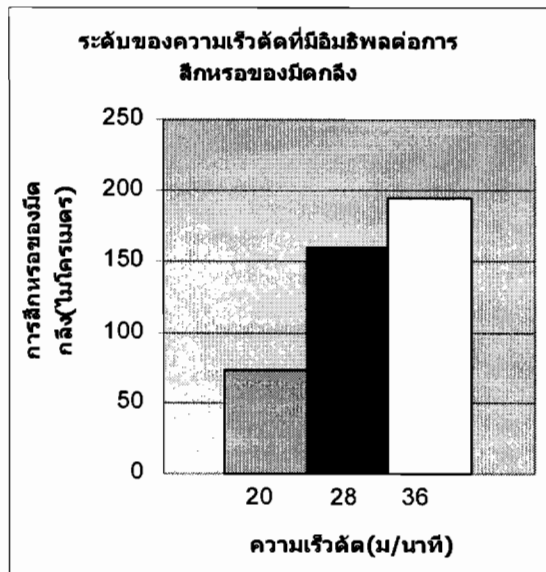
(I) ความเร็วตัด (J) ความเร็วตัด	Mean Difference (I-J)	Std. Error	Sig.	95% Confidence Interval		
				Lower Bound	Upper Bound	
20 m/min	28 m/min	-86.4992(*)	7.51234	.000	-102.2820	-70.7163
	36 m/min	-120.8292(*)	7.51234	.000	-136.6120	-105.0463
28 m/min	20 m/min	86.4992(*)	7.51234	.000	70.7163	102.2820
	36 m/min	-34.3300(*)	7.51234	.000	-50.1128	-18.5472
36 m/min	20 m/min	120.8292(*)	7.51234	.000	105.0463	136.6120
	28 m/min	34.3300(*)	7.51234	.000	18.5472	50.1128

การวิเคราะห์หาค่าเฉลี่ยของระดับความเร็วตัดจากตารางที่ 4.11 พบร่วมกันที่ระดับ 20 กับ 28 m/นาที มีความแตกต่างต่อการสึกหรอของมีดกลึง อย่างมีนัยสำคัญทางสถิติที่ระดับ 0.01 ความเร็วตัด ระดับ 20 คู่กับ 36 m/นาที มีความแตกต่างต่อการสึกหรอของมีดกลึง อย่างมีนัยสำคัญทางสถิติที่ ระดับ 0.01 ความเร็วตัดระดับ 28 กับ 36 m/นาที มีความแตกต่างต่อการสึกหรอของมีดกลึง อย่างมี นัยสำคัญทางสถิติที่ระดับ 0.01 แสดงไว้ในตารางที่ 4.12 และ รูปที่ 4.7

ตารางที่ 4.12 สรุปผลการวิเคราะห์ความสัมพันธ์ของความเร็วตัดที่ระดับต่าง ๆ

ความเร็วตัดที่ระดับ	1(20 ม/นาที)	2 (28 ม/นาที)	(36 ม/นาที)
1 (20 ม/นาที)		**	**
2 (28 ม/นาที)			**
3 (36 ม/นาที)			

\*\* มีนัยสำคัญที่ระดับ .01



รูปที่ 4.7 กราฟแสดงความแตกต่างของระดับความเร็วตัด ที่มีอิทธิพลต่อการสกัดของกอนเม็ดกลึง

2. อัตราป้อนมีอิทธิพลต่อการสกัดของกอนเม็ดกลึง จากการทดสอบความแปรปรวนพบว่า มีค่าเฉลี่ยของระดับอัตราป้อนอย่างน้อยหนึ่งคู่ที่แตกต่างจากคู่อื่น ดังนั้นจึงทำการวิเคราะห์ว่ามีคู่ใดบ้าง ที่ต่างกัน โดยใช้วิธีการวิเคราะห์แบบ LSD (Least Significant Difference) ผลการวิเคราะห์แสดงไว้ในตารางที่ 4.9

ตารางที่ 4.13 แสดงความแตกต่างของระดับอัตราปืน ที่มีอิทธิพลต่อการสึกหรอของมีดกลึง โดยวิธี LSD

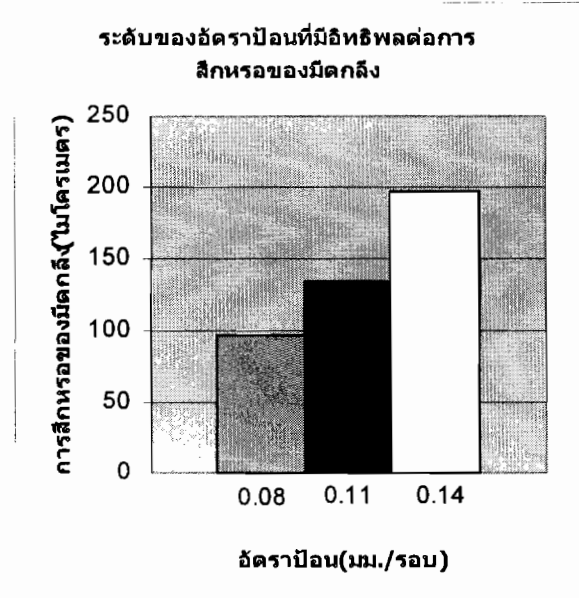
(I) อัตราปืน	(J) อัตราปืน	Mean Difference (I-J)	Std. Error	95% Confidence Interval	
				Lower Bound	Upper Bound
0.08 mm/round	0.11 mm/round	-37.9917(*)	7.51234	.000	-53.7745 -22.2088
	0.14 mm/round	-100.2542(*)	7.51234	.000	-116.0370 -84.4713
0.11 mm/round	0.08 mm/round	37.9917(*)	7.51234	.000	22.2088 53.7745
	0.14 mm/round	-62.2625(*)	7.51234	.000	-78.0453 -46.4797
0.14 mm/round	0.08 mm/round	100.2542(*)	7.51234	.000	84.4713 116.0370
	0.11 mm/round	62.2625(*)	7.51234	.000	46.4797 78.0453

การวิเคราะห์หาค่าเฉลี่ยของระดับอัตราปืน จากตารางที่ 4.9 พบร้าอัตราปืนระดับ 0.08 กับ 0.11 ม/นาที มีความแตกต่างต่อการสึกหรอของมีดกลึง อย่างมีนัยสำคัญทางสถิติที่ระดับ 0.01 อัตราปืนระดับ 0.08 กับ 0.14 ม/นาที มีความแตกต่างต่อการสึกหรอของมีดกลึง อย่างมีนัยสำคัญทางสถิติที่ระดับ 0.01 อัตราปืนระดับ 0.11 กับ 0.14 ม/นาที มีความแตกต่างต่อการสึกหรอของมีดกลึง อย่างมีนัยสำคัญทางสถิติที่ระดับ 0.01 แสดงไว้ในตารางที่ 4.14 และ รูปที่ 4.8

ตารางที่ 4.14 สรุปผลการวิเคราะห์ความสัมพันธ์ของอัตราปืนที่ระดับต่าง ๆ

อัตราปืนที่ระดับ	1(0.08 มม./รอบ)	2 (0.11 มม./รอบ)	3 (0.14 มม./รอบ)
1 (0.08 มม./รอบ)		**	**
2 (0.11 มม./รอบ)			**
3 (0.14 มม./รอบ)			

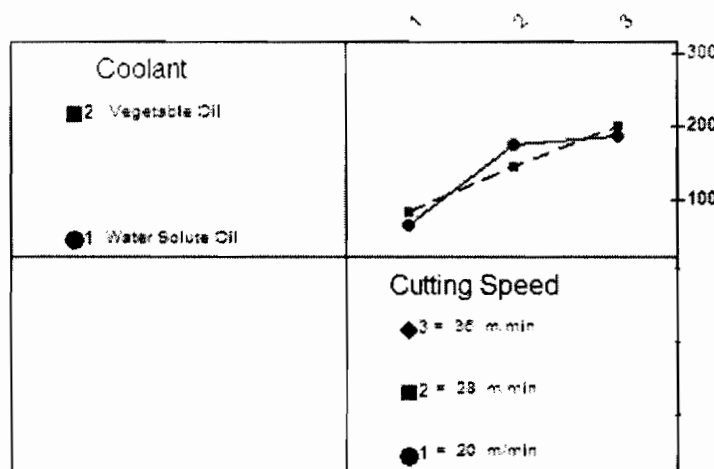
\*\* มีนัยสำคัญที่ระดับ .01



รูปที่ 4.8 กราฟแสดงความแตกต่างของระดับอัตราป้อน ที่มีอิทธิพลต่อการสึกหรอของมีดกลึง

3. สารหล่อลื่นมีความสัมพันธ์กับความเร็วตัด ส่งผลกระทบต่อการสึกหรอของมีดกลึง อย่างมีนัยสำคัญทางสถิติที่ระดับ 0.01 จากรูปที่ 4.9 พบว่า น้ำมันหล่อลื่นเย็นชนิดพสมน้ำ มีผลต่อการสึกหรอของมีดกลึงค่อนข้างกว่าน้ำมันพืชที่ความเร็วตัด 20 และ 36 ม/นาที แต่ที่ความเร็วตัด 28 ม/นาที น้ำมันหล่อลื่นเย็นชนิดพสมน้ำ มีผลต่อการสึกหรอของมีดกลึงมากกว่าน้ำมันพืช จากผลการวิเคราะห์ พบว่า เมื่อใช้สารหล่อลื่นและความเร็วตัดร่วมกัน น้ำมันพืชทำให้มีดกลึงสึกหรอน้อยกว่าน้ำมันหล่อลื่นเย็นชนิดพสมน้ำ ที่ความเร็วตัดระดับ 36 ม/นาที และน้ำมันพืชทำให้มีดกลึงสึกหรอมากกว่าน้ำมันหล่อลื่นเย็นชนิดพสมน้ำที่ความเร็วตัด 20 และ 36 ม/นาที

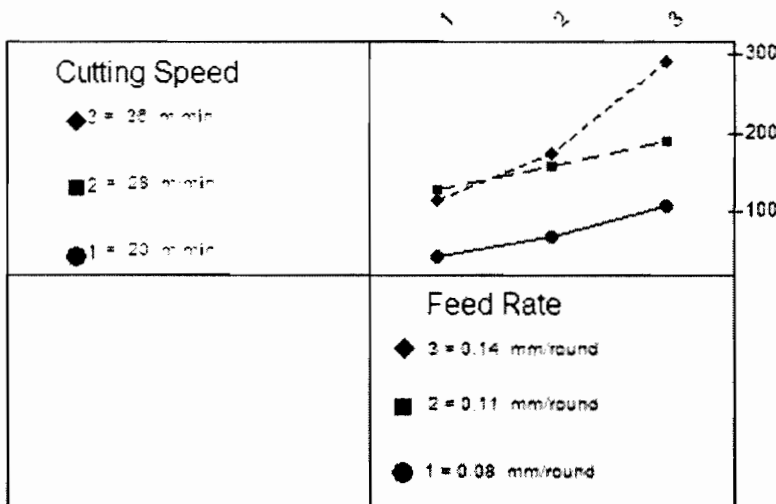
Interaction Plot – LS Means for Wear



รูปที่ 4.9 กราฟแสดงอิทธิพลร่วม(Interaction) ของสารหล่อลื่นที่มีความสัมพันธ์กับความเร็วตัด ส่งผลกระทบต่อการสึกหรอของมีดกลึง

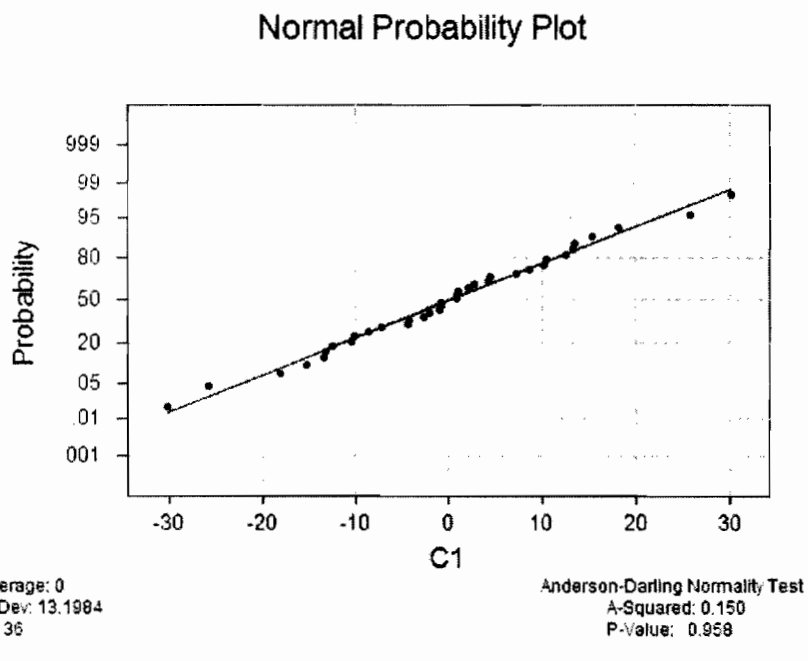
4. ความเร็วตัดมีความสัมพันธ์กับอัตราปื้น ส่งผลกระทบต่อการสึกหรอของมีดกลึง อย่างมีนัยสำคัญทางสถิติที่ระดับ 0.01 จากรูปที่ 4.10 พบว่าความเร็วตัด 20 ม/นาที มีอิทธิพลต่อการสึกหรอของมีดกลึงน้อยกว่าความเร็วตัด 28 และ 36 ม/นาที ความเร็วตัด 36 ม/นาที มีอิทธิพลต่อการสึกหรอของมีดกลึงน้อยกว่าความเร็วตัด 28 ม/นาที ที่อัตราปื้นระดับ 0.08 มม./รอบ และความเร็วตัด 28 ม/นาที มีผลต่อการสึกหรอของมีดกลึงน้อยกว่าความเร็วตัด 36 ม/นาที ที่ระดับอัตราปื้น 0.11 และ 0.14 มม./รอบ จากผลการวิเคราะห์ พบว่า เมื่อใช้ความเร็วตัดและอัตราปื้นที่ระดับต่ำจะทำให้มีดกลึงสึกหรอน้อยกว่าการใช้ความเร็วตัดและอัตราปื้นที่ระดับสูง

**Interaction Plot – LS Means for Wear**



**รูปที่ 4.10** กราฟแสดงอิทธิพลร่วม(Interaction) ของความเร็วตัดที่มีความสัมพันธ์กับอัตราปื้น ส่งผลกระทบต่อการสึกหรอของมีดกลึง

เมื่อทำการทดสอบความคลาดเคลื่อนของค่าการสึกหรอของมีดกลึงพบว่ามีการแจกแจงแบบปกติ (Normal Distribution) ได้ค่า P-Value = 0.958 ซึ่งมีค่ามากกว่า 0.05 (แสดงไว้ในรูปที่ 4.6)



รูปที่ 4.11 แสดงการทดสอบการแจกแจงปกติค่าความคลาดเคลื่อนของ  
ค่าการสึกหรอของมีดกสีง(Tool Wear)

## บทที่ 5 สรุปผลการวิจัยและข้อเสนอแนะ

การศึกษาปัจจัยที่มีผลกระทบต่อความเรียบผิวและการสึกหรอของมีดกลึง ในการกลึงเหล็กเครื่องมือ AISI4140 มีดกลึงทำจากเหล็ก High Speed Steel ขนาดพื้นที่หน้าตัด  $6.4 \times 6.4$  มิลลิเมตร ยาวประมาณ 50 มิลลิเมตร โดยอาศัยพารามิเตอร์ที่ใช้ในการกลึง ประกอบด้วย สารหล่อลื่น ความเร็วตัด และ อัตราป้อน ผลที่ได้จากการทดลองเป็นการแจกแจงข้อมูลแบบปกติ สามารถสรุปได้ดังนี้

### 5.1 สรุปผลการทดลอง

5.1.1 ปัจจัยที่มีอิทธิพลต่อความเรียบของผิวงานกลึง พบว่ามีปัจจัยที่ทำให้เกิดอิทธิพลหลัก (Main Effect) และอิทธิพลร่วม (Interaction Effect) มีดังนี้

- ความเร็วตัด มีอิทธิพลต่อความเรียบของผิวงานกลึง อย่างมีนัยสำคัญทางสถิติที่ระดับ 0.05
- อัตราป้อน มีอิทธิพลต่อความเรียบของผิวงานกลึง อย่างมีนัยสำคัญทางสถิติที่ระดับ 0.01
- สารหล่อลื่นและความเร็วตัด ส่งผลกระทบต่อความเรียบของผิวงานกลึง อย่างมีนัยสำคัญทางสถิติที่ระดับ 0.05

5.1.2 ปัจจัยที่มีอิทธิพลต่อการสึกหรอของมีดกลึง พบว่ามีปัจจัยที่ทำให้เกิดอิทธิพลหลัก (Main Effect) และอิทธิพลร่วม(Interaction Effect) มีดังนี้

- ความเร็วตัด มีอิทธิพลต่อการสึกหรอของมีดกลึง อย่างมีนัยสำคัญทางสถิติที่ระดับ 0.01
- อัตราป้อน มีอิทธิพลต่อการสึกหรอของมีดกลึง อย่างมีนัยสำคัญทางสถิติที่ระดับ 0.01
- สารหล่อลื่นและความเร็วตัดส่งผลกระทบต่อการสึกหรอของมีดกลึง อย่างมีนัยสำคัญทางสถิติที่ระดับ 0.01
- ความเร็วตัดและอัตราป้อน ส่งผลกระทบต่อการสึกหรอของมีดกลึง อย่างมีนัยสำคัญทางสถิติที่ระดับ 0.01

### 5.2 อภิปรายผลการทดลอง

5.2.1 พิจารณาปัจจัยที่มีอิทธิพลต่อความเรียบของผิวงาน

สารหล่อลื่น เมื่อนำเข้ามูลของสารหล่อลื่นจำนวน 2 ชนิดมาเปรียบเทียบกัน พบว่ามันพืชทำให้ผิวงานเรียบกว่า นำมันหล่อลื่นชนิดผสมน้ำ สอดคล้องกับงานวิจัยของ Ronaldo Yoshinobu Fusse[2] ศึกษาความเรียบของผิวงานเจียร์ไนท์มีสารหล่อลื่น 3 ชนิดคือ Integral Oil, Vegetal emulsion และ

Synthetic solution พบว่า Vegetal emulsion และ Synthetic solution ทำให้ผิวงานเรียบมากกว่า Integral Oil ขัดเย็บกับงานวิจัยของ สุเทพ คงทัน[6] ศึกษาการกลึงเหล็กหนาเนื้อพบว่า น้ำมันพืชให้ค่าความเรียบผิวมากกว่าน้ำมันหล่อลื่นชนิดผสมน้ำ เท่ากับ 0.35 ไมครอน หรือมากกว่า 5.3 เปอร์เซ็นต์

ความเร็วตัด(Cutting Speed) กำหนดความเร็วตัดไว้ 3 ระดับคือ 20, 28 และ 36 เมตร/นาที ซึ่งความเร็วตัด มีอิทธิพลต่อความเรียบของผิวงานไม่แตกต่างกัน ดังนี้ ความเร็วตัดระดับ 20 เมตร/นาที ค่าความเรียบของผิวงานเฉลี่ย  $9.02 \mu\text{m}$  ความเร็วตัดระดับ 28 เมตร/นาที ค่าความเรียบของผิวงานเฉลี่ย  $9.71 \mu\text{m}$  และความเร็วตัดระดับ 36 เมตร/นาที ค่าความเรียบของผิวงานเฉลี่ย  $8.46 \mu\text{m}$  แสดงถึงกับงานวิจัยของ สุเทพ คงทัน[6] ศึกษาการกลึงเหล็กหนาเนื้อพบว่า เมื่อใช้ความเร็วตัดต่ำกว่า 30 ม/นาที ให้ค่าความเรียบของผิวงานเฉลี่ย ใกล้เคียงกัน

อัตราป้อน (Feed) มีอิทธิพลต่อความเรียบของผิวงานแตกต่างกันดังนี้ อัตราป้อนที่ระดับ 0.08 มม./รอบ ค่าความเรียบของผิวงานเฉลี่ย  $6.65 \mu\text{m}$  อัตราป้อนที่ระดับ 0.11 มม./รอบ ค่าความเรียบของผิวงานเฉลี่ย  $9.15 \mu\text{m}$  อัตราป้อนที่ระดับ 0.14 มม./รอบ ค่าความเรียบของผิวงานเฉลี่ย  $11.40 \mu\text{m}$  อัตราป้อนที่ระดับต่ำทำให้ผิวงานมีความเรียบน้อยกว่าอัตราป้อนที่ระดับสูง แสดงถึงกับงานวิจัยของ ชาญ ราชวงศ์[7] ศึกษาการกลึงงานแข็ง(Hard Turning)พบว่า อัตราป้อนมีอิทธิพลต่อความเรียบของผิวงานอย่างมีนัยสำคัญทางสถิติที่ระดับ 0.01

### 5.2.2 พิจารณาปัจจัยที่มีอิทธิพลต่อการสีกหรอของมีดกลึง

สารหล่อลื่น เมื่อนำเข้ามูลของสารหล่อลื่นทั้ง 2 ชนิดมาเปรียบเทียบกัน พบว่า น้ำมันพืชให้ค่าการสีกหรอของมีดกลึงเฉลี่ยมากกว่าน้ำมันหล่อลื่นชนิดผสมน้ำ ประมาณ 5.07 % ต่างกัน  $7.42 \mu\text{m}$  (น้ำมันหล่อลื่นชนิดผสมน้ำ ให้ค่าการสีกหรอเฉลี่ยประมาณ  $138.96 \mu\text{m}$  และน้ำมันพืชให้ค่าการสีกหรอเฉลี่ยประมาณ  $146.38 \mu\text{m}$ ) น้ำมันพืชมีอิทธิพลต่อการสีกหรอของมีดกลึงเฉลี่ยมากกว่าน้ำมันหล่อลื่นชนิดผสมน้ำ ขัดเย็บกับงานวิจัยของ W.Bellucco[8] ศึกษาการเจาะสว่าน ที่มีสารหล่อลื่น 6 ชนิดประกอบด้วย น้ำมันพืช 5 ชนิด และน้ำมันตัดที่ได้จากปิโตรเลียม 1 ชนิด พบว่า ดอกสว่านที่ใช้กับน้ำมันพืชมีอายุการใช้งานสูงกว่าน้ำมันตัดที่ได้จากปิโตรเลียม ประมาณ 2 - 3 เท่า ขัดเย็บกับงานวิจัยของ สุเทพ คงทัน[6] ศึกษาการกลึงเหล็กหนาเนื้อพบว่า น้ำมันพืชจึงทำให้มีเดเกิดการสีกหรอเฉลี่ยน้อยกว่าน้ำมันหล่อลื่นชนิดผสมน้ำเท่ากับ 0.96 ไมครอน หรือน้อยกว่า 5.4 เปอร์เซ็นต์

ความเร็วตัด(Cutting Speed) เมื่อกำหนดความเร็วตัดไว้ 3 ระดับคือ 20, 28 และ 36 เมตร/นาที ซึ่งความเร็วตัดทั้งหมดให้ค่าการสีกหรอของมีดกลึงแตกต่างกัน มีดังนี้ ความเร็วตัดระดับ 20 เมตร/นาที ค่าการสีกหรอของมีดกลึงเฉลี่ย  $73.57 \mu\text{m}$  ความเร็วตัดระดับ 28 เมตร/นาที ค่าการสีกหรอของมีดกลึง

เฉลี่ย  $160.07 \mu\text{m}$  และความเร็วตั้งระดับ 36 เมตร/นาที ค่าการสึกหรอของมีดกลึงเฉลี่ย  $194.40 \mu\text{m}$  ความเร็วตัดที่ระดับสูง มีอิทธิพลต่อการสึกหรอของมีดกลึงมากกว่าความเร็วตัดที่ระดับต่ำ สอดคล้องกับงานวิจัยของ สุรศักดิ์ ศิริศิลป์[12] ศึกษาการสึกหรอของคอกสว่าน พนว่า เมื่อเพิ่มความเร็วตัดสูงขึ้นส่งผลให้อายุการใช้งานของคอกสว่านลดลง

อัตราป้อน (Feed) มีอิทธิพลต่อการสึกหรอของมีดกลึงแตกต่างกันดังนี้ อัตราป้อนที่ระดับ  $0.08 \text{ mm./รอบ}$  ค่าการสึกหรอของมีดกลึงเฉลี่ย  $96.59 \mu\text{m}$  อัตราป้อนที่ระดับ  $0.11 \text{ mm./รอบ}$  ค่าการสึกหรอของมีดกลึงเฉลี่ย  $134.59 \mu\text{m}$  อัตราป้อนที่ระดับ  $0.14 \text{ mm./รอบ}$  ค่าการสึกหรอของมีดกลึงเฉลี่ย  $196.85 \mu\text{m}$  อัตราป้อนที่ระดับต่ำมีอิทธิพลต่อการสึกหรอของมีดกลึงน้อยกว่าอัตราป้อนที่ระดับสูง สอดคล้องกับงานวิจัยของ สุรศักดิ์ ศิริศิลป์[12] ศึกษาการสึกหรอของคอกสว่าน พนว่า เมื่อเพิ่มอัตราป้อนสูงขึ้นส่งผลให้อายุการใช้งานของคอกสว่านลดลง

### 5.3 ข้อเสนอแนะ

จากผลการวิจัยครั้งนี้ พนว่าสมนับติของสารหล่อเย็น 2 ชนิด ไม่มีผลกระแทบกับวัสดุที่ใช้ในการทดลองโดยตรง แต่มีผลกระแทบเมื่อใช้ร่วมกับปั๊ปจัจยอื่น ดังนั้นจึงเสนอแนะไว้ดังนี้

1. กำหนดระดับของปั๊ปจัจยอื่นๆ เช่น ความเร็วตัด อัตราป้อน ฯลฯ ให้มีระยะห่างมากกว่าการทดลองในครั้งนี้ ซึ่งอาจจะพบข้อแตกต่างของสารหล่อเย็นทั้งสองชนิด
2. ทดลองกับวัสดุอื่นๆ โดยเฉพาะวัสดุที่นิยมนิยมนำมาใช้ในอุตสาหกรรมประเภทต่างๆ เพื่อค้นหาวัสดุ หรือปั๊ปจัจยอื่นๆ ที่เหมาะสมกับการน้ำมันพืชมาใช้ในการหล่อเย็น
3. พัฒนาน้ำมันพืชให้มีสมบัติในการหล่อเย็น การตัดเฉือนวัสดุ และการรักษาเครื่องจักรเครื่องมือให้มีอายุการใช้งานมากขึ้น เพื่อใช้ในงานอุตสาหกรรมอย่างมีประสิทธิภาพ

## เอกสารอ้างอิง

1. พิชุร ทิมฤกษ์, 2547, “การพัฒนาระบบนำบัดน้ำหล่อเย็นงานตัดเนื่องโลหะ เพื่อนำน้ำหล่อเย็นงานตัดเนื่องโลหะที่ใช้แล้วนำกลับมาใช้ใหม่”, ปริญญาโท วิศวกรรมการผลิต สถาบันเทคโนโลยีพระจอมเกล้าพระนครเหนือ.
2. Ronaldo Yoshinobu Fusse<sup>I</sup>; Thiago Valle França<sup>I</sup>; Rodrigo Eduardo Catai<sup>II</sup>; Leonardo Roberto da Silva<sup>III</sup>; Paulo Roberto de Aguiar<sup>IV</sup>; Eduardo Carlos Bianchi<sup>V,\*</sup>, 2004, “**Analysis of the cutting fluid influence on the deep grinding process with a CBN grinding wheel Materials Research**”, Mat. Res. vol.7 no.3 São Carlos July/Sept.
3. บำรุงสุข เทียนพันธ์, 2546 , “การแปรรูปร่วมของถ่านหินและน้ำมันพืชใช้แล้วให้เป็นของเหลวโดยใช้ตัวเร่งปฏิกิริยา”, ปริญญาโท, เคมีเทคนิค จุฬาลงกรณ์มหาวิทยาลัย.
4. สุคนธ์ อาจฤทธิ์, 2535, “การตัดโลหะโดยเครื่องมือกล”, พิมพ์ครั้งที่ 2, หน่วยสารบรรณ งานบริหารธุรกิจ คณะวิศวกรรมศาสตร์ มหาวิทยาลัยขอนแก่น จ.ขอนแก่น 40002.
5. ศุภชัย ร่มยานนท์ ฉวีวรรณ ร่มยานนท์, 2534, “**ทฤษฎีงานเครื่องมือกลเบื้องต้น (Basic Machine Tools) งานกลึง**”, พิมพ์ครั้งที่ 2, บริษัทสำนักพิมพ์ ไทยวัฒนาพานิช จำกัด, กรุงเทพฯ.
6. สุเทพ คงทัน, 2549, “การใช้น้ำมันพืชเป็นน้ำมันตัดเฉือน”, ปริญญาโท, วิศวกรรมอุตสาหการ มหาวิทยาลัยขอนแก่น.
7. ชาญ ราชวงศ์, 2548, “การศึกษาปัจจัยที่มีผลต่อคุณภาพพิริงานในการกลึงงานแข็ง”, วิทยานิพนธ์ปริญญาครุศาสตร์อุตสาหกรรมมหาบัณฑิต สาขาวิชาวิศวกรรมอุตสาหการ มหาวิทยาลัยเทคโนโลยีพระจอมเกล้าธนบุรี.
8. Belluco W., Chiffre L. D., 2003, “**Performance Evaluation of Vegetable-base Oils in Drilling Austenitic Stainless Steel**”, Journal of materials Processing. Elsevier Science Ltd.

9. J.M. Vieira, A.R. Machado and E.O. Ezugwu, 2005, **Performance of cutting fluid during face mill**, Journal of Material of Processing Technology, pp. 16 - 20.
10. นารุต แซ่ห์ง จักรพงษ์ สิงห์พุ้ย สมพร วรรณ, 2544, “ชุดทดลองหาค่าการนำความร้อนของของเหลว”, ปริญญาตรี สถาบันเทคโนโลยีพระจอมเกล้าพระนครเหนือ.
11. Witchakorn Charusiri, 2004, “**Catalytic conversion of used vegetable oil to liquid fuels over HZSM-5 and sulfated zirconia**”, Doctoral degree Chemical Technology Chulalongkorn University.
12. สุรศักดิ์ ศิริศิลป์, 2548, “**การศึกษาปัจจัยที่มีผลต่ออายุการใช้งานของคมตัดในดอกสว่านชนิดเกลียวแบบไฮสปีด และ ชนิดเกลียวแบบไฮสปีดโคนอล 8%**”, วิทยานิพนธ์ปริญญาครุศาสตร์ อุตสาหกรรมนาโนทีต สาขาวิชาวิศวกรรมอุตสาหการ มหาวิทยาลัยเทคโนโลยีพระจอมเกล้าชลบุรี.
13. E.J.A. Armarego, R.H. Brown, 1969, “**The Machining of Metals**”, Prentice-Hall, Inc. Englewood Cliffs, New Jersey.
14. Robert I. King, 1985, “**Handbook of High-speed Machining Technology**”, Chapman and Hall Ltd, New York, N.Y. 10001.
15. Arshinov V., Alekseev G. Metal Machining Fundamentals., 1976, “**Metal Cutting Theory and Cutting Tool Design**”, Moscow: MIR Publishers; pp. 24-144.
16. Davies R., 1957, “**A Tentative Model for Mechanical Wear Process**”, Symposium on Friction and Wear. USA: Detroit.
17. Higginbotham W. B., 1961, “**Metal Cutting and built-up Nose**”, Proceedings: I. Mech. E. (Prod. Group); No. 18. Vol. 175.
18. Ernst H., Martellotti M., 1935, “**Metal Cutting**”, American Society of Mech. Engineer, USA.

19. Ernst H., 1938, “**Physical of Metal Cutting**”, ASM paper on Machining of Metals. Ohio: Cleveland.
20. Rozenberg A. M., Eremin A. N., 1956, “**Elements of Theory of Process of Metal Cutting**”, Moscow: Mashgiz.
21. Merchant M. E., 1950, “**The Action of Cutting Fluid in Machining**”, Journal of Iron and Steel Engineers. November.
22. Taylor F. W., 1907, “**On the Art of Cutting Metals**”, Trans. ASME. Vol. 28;
23. TY G. Dawson and Thomas R. Kurfess., 2001, “**Tool life, Wear Rates, and Surface Quality in Hard Turning**”, Transaction of the North American Manufacturing Research Institution of SME, Vol. (29), pp. 175 – 182.
24. Tonshoff,H.k., Wobker, H.G., and Brandt, D., 1996, “**Tool Wear and Surface Integrity in Hard Tuming**”, Production Engineering, Vol.(3) No. (1), pp. 19-24.
25. A. E. Diniz, R. Micaroni., 2002, “**Cutting conditions for finish turning process aiming; the use of dry cutting**”, International Journal of Machine Tools & Manufacture, Vol. 42, pp. 899-904.
26. O.B. Abouelatta, J. Madi., 2001, “**Surface roughness prediction based on cutting parameters and tool vibrations in turning operations**”, Journal of Materials Processing Technology, Vol. 118, pp. 269-277.
27. บรรยง จงไวยรุ่งเรือง, 2537, “การศึกษาความสัมพันธ์ของส่วนโค้งปลายมีด ความลึกในการตัด และอัตราการเดินมีดที่มีผลต่อความเรียบผิว”, วิทยานิพนธ์ปริญญาวิศวกรรมศาสตรมหาบัณฑิต สาขาวิชาจักรกลระบบการผลิต มหาวิทยาลัยเทคโนโลยีพระจอมเกล้าธนบุรี.
28. มีงขวัญ บุตรวงศ์, 2543, “การพัฒนาฐานแบบการบำบัดน้ำทึบห้ามันตัดกึ่งโลหะ”, ปริญญาโท, เทคโนโลยีสิ่งแวดล้อม มหาวิทยาลัยเทคโนโลยีพระจอมเกล้าธนบุรี.

29. เกรลิงก์ ไชน์ริช, 2518, “**ทฤษฎีงานเครื่องมือกล**”, แปลโดย ศ. บุญศักดิ์ ใจงกิจ, พิมพ์ครั้งที่ 2 กรุงเทพฯ, สำนักพิมพ์สถาบันเทคโนโลยีพระจอมเกล้า วิทยาเขตพระนครเหนือ.
30. มนูญ เทพกิจอารีกุล, 2547, “**การศึกษาองค์ประกอบในงานกลึงที่มีผลกระทบต่อการสึกหรอของมีดกลึง**”, วิทยานิพนธ์ ปริญญาวิศวกรรมศาสตรมหาบัณฑิต สาขาวิชาวิศวกรรมการจัดการอุตสาหกรรม (โครงการผู้บริหาร) ภาควิชาวิศวกรรมอุตสาหการ บัณฑิตวิทยาลัย สถาบันเทคโนโลยีพระจอมเกล้าพระนครเหนือ.
31. สุคนธ์ อาจฤทธิ์, 2535, “**การตัดโลหะโดยเครื่องมือกล**”, พิมพ์ครั้งที่ 2, หน่วยสารบรรณ งานบริหารธุรกิจ คณะวิศวกรรมศาสตร์ มหาวิทยาลัยขอนแก่น จ.ขอนแก่น 40002.

## ภาคผนวก ก.

ตารางบันทึกผลการทดลอง

**ตารางที่ ก.1 ลำดับการเก็บผลการทดลองที่ได้จากการสั่นการทดลอง**

ตารางผลการทดลองครั้งที่ 1 (ค่าความเรียบของผิวงานกึ่ง)							
No	สารหล่อเย็น	V	Feed	Ra <sub>1</sub>	Ra <sub>2</sub>	Ra <sub>3</sub>	Ra <sub>Ave</sub>
1	น้ำมันหล่อเย็นชนิดผสมน้ำ	20	0.11	8.79	8.01	9.26	8.69
2	น้ำมันพีช	20	0.08	6.38	8.26	6.54	7.06
3	น้ำมันหล่อเย็นชนิดผสมน้ำ	28	0.14	12.36	14.81	12.48	13.23
4	น้ำมันพีช	28	0.08	8.09	11.03	8.86	9.33
5	น้ำมันหล่อเย็นชนิดผสมน้ำ	36	0.11	9.25	7.13	5.90	7.43
6	น้ำมันพีช	36	0.14	7.34	9.99	9.09	8.81
7	น้ำมันหล่อเย็นชนิดผสมน้ำ	20	0.14	13.23	8.50	10.73	10.82
8	น้ำมันพีช	20	0.11	8.33	11.18	12.07	10.53
9	น้ำมันหล่อเย็นชนิดผสมน้ำ	28	0.08	6.41	7.73	6.56	6.90
10	น้ำมันพีช	28	0.11	10.57	10.99	10.66	10.74
11	น้ำมันหล่อเย็นชนิดผสมน้ำ	36	0.14	12.79	14.23	13.40	13.47
12	น้ำมันพีช	36	0.11	5.30	6.70	8.24	6.75
13	น้ำมันหล่อเย็นชนิดผสมน้ำ	20	0.08	7.10	6.48	6.29	6.62
14	น้ำมันพีช	20	0.14	12.88	13.27	12.55	12.9/
15	น้ำมันหล่อเย็นชนิดผสมน้ำ	28	0.11	9.51	9.42	6.74	8.56
16	น้ำมันพีช	28	0.14	11.01	9.67	13.22	11.30
17	น้ำมันหล่อเย็นชนิดผสมน้ำ	36	0.08	7.67	6.39	7.14	7.07
18	น้ำมันพีช	36	0.08	5.83	6.54	6.21	6.19

**ตารางที่ ก.2 ลำดับการเก็บผลการทดลองที่ได้จากการสุ่มการทดลอง**

<b>ตารางผลการทดลองครั้งที่ 2 (ค่าความเรียบของผิวงานกลี๊ง)</b>							
No	สารหล่อเย็น	V	Feed	Ra <sub>1</sub>	Ra <sub>2</sub>	Ra <sub>3</sub>	Ra <sub>Ave</sub>
1	น้ำมันหล่อลื่นชนิดผสมน้ำ	20	0.11	9.34	10.08	10.89	10.10
2	น้ำมันพีช	20	0.08	3.11	4.33	3.77	3.74
3	น้ำมันหล่อลื่นชนิดผสมน้ำ	28	0.14	12.28	12.14	14.58	13.00
4	น้ำมันพีช	28	0.08	8.57	9.45	8.04	8.69
5	น้ำมันหล่อลื่นชนิดผสมน้ำ	36	0.11	12.44	10.59	12.72	11.92
6	น้ำมันพีช	36	0.14	8.95	10.29	9.82	9.69
7	น้ำมันหล่อลื่นชนิดผสมน้ำ	20	0.14	11.18	12.66	11.25	11.70
8	น้ำมันพีช	20	0.11	8.33	9.77	9.98	9.36
9	น้ำมันหล่อลื่นชนิดผสมน้ำ	28	0.08	7.89	7.31	5.29	6.83
10	น้ำมันพีช	28	0.11	10.00	9.06	7.90	8.99
11	น้ำมันหล่อลื่นชนิดผสมน้ำ	36	0.14	12.54	12.00	11.70	12.08
12	น้ำมันพีช	36	0.11	7.58	5.92	5.81	6.44
13	น้ำมันหล่อลื่นชนิดผสมน้ำ	20	0.08	6.17	5.45	5.32	5.65
14	น้ำมันพีช	20	0.14	11.34	10.25	11.69	11.09
15	น้ำมันหล่อลื่นชนิดผสมน้ำ	28	0.11	10.67	10.13	9.98	10.26
16	น้ำมันพีช	28	0.14	10.74	11.07	7.13	9.65
17	น้ำมันหล่อลื่นชนิดผสมน้ำ	36	0.08	6.24	4.68	7.15	6.02
18	น้ำมันพีช	36	0.08	5.90	5.52	5.65	5.69

ตารางที่ ก.3 ลำดับการเก็บผลการทดลองที่ได้จากการสุ่มการทดลอง

ตารางผลการทดลองครั้งที่ 1 (การสีกหรือของมีค่าลึกลับ)									
No	สารหล่อเย็น	V	Feed	wear1	wear2	wear3	wear4	wear5	wear <sub>Ave</sub>
1	น้ำมันหล่อลื่นชนิดผสมน้ำ	20	0.11	32.81	57.54	62.47	55.99	57.54	53.27
2	น้ำมันพีช	20	0.08	41.13	46.06	50.99	42.74	27.95	41.77
3	น้ำมันหล่อลื่นชนิดผสมน้ำ	28	0.14	338.47	146.30	269.62	235.11	102.33	218.37
4	น้ำมันพีช	28	0.08	105.23	149.60	147.97	121.66	88.78	122.65
5	น้ำมันหล่อลื่นชนิดผสมน้ำ	36	0.11	145.15	234.13	150.02	97.29	110.50	147.41
6	น้ำมันพีช	36	0.14	314.07	268.10	355.38	165.70	310.73	282.80
7	น้ำมันหล่อลื่นชนิดผสมน้ำ	20	0.14	49.32	74.00	90.43	90.42	110.15	82.86
8	น้ำมันพีช	20	0.11	26.30	97.42	100.41	69.13	44.42	61.54
9	น้ำมันหล่อลื่นชนิดผสมน้ำ	28	0.08	141.10	149.40	116.44	155.90	151.07	142.77
10	น้ำมันพีช	28	0.11	64.20	241.76	202.21	161.25	112.23	156.33
11	น้ำมันหล่อลื่นชนิดผสมน้ำ	36	0.14	256.46	282.80	323.87	341.95	159.50	272.90
12	น้ำมันพีช	36	0.11	240.03	142.49	121.93	249.76	102.61	171.37
13	น้ำมันหล่อลื่นชนิดผสมน้ำ	20	0.08	50.96	57.54	42.74	47.68	29.59	45.70
14	น้ำมันพีช	20	0.14	118.41	110.15	123.31	105.23	103.59	112.14
15	น้ำมันหล่อลื่นชนิดผสมน้ำ	28	0.11	149.61	146.40	198.95	215.32	152.90	172.64
16	น้ำมันพีช	28	0.14	203.86	161.25	177.56	149.10	127.08	163.77
17	น้ำมันหล่อลื่นชนิดผสมน้ำ	36	0.08	139.83	54.35	124.40	70.71	80.62	94.78
18	น้ำมันพีช	36	0.08	157.82	194.38	64.12	97.01	105.22	123.71

ตารางที่ ก.4 ลำดับการเก็บผลการทดลองที่ได้จากการสุ่มการทดลอง

ตารางผลการทดลองครั้งที่ 2 (การสึกหรอของมีดกลึง)									
No	สารหล่อเย็น	V	Feed	wear1	wear2	wear3	wear4	wear5	wear <sub>Ave</sub>
1	น้ำมันหล่อลื่นชนิดพสมน้ำ	20	0.11	75.62	64.39	61.10	53.85	113.79	73.75
2	น้ำมันพีช	20	0.08	54.66	38.27	43.15	48.08	46.44	46.12
3	น้ำมันหล่อลื่นชนิดพสมน้ำ	28	0.14	248.24	205.56	223.74	169.34	110.15	191.41
4	น้ำมันพีช	28	0.08	135.64	92.88	88.38	74.81	115.99	101.54
5	น้ำมันหล่อลื่นชนิดพสมน้ำ	36	0.11	179.20	193.50	138.60	139.78	157.82	161.78
6	น้ำมันพีช	36	0.14	343.60	182.51	263.22	327.16	269.64	277.23
7	น้ำมันหล่อลื่นชนิดพสมน้ำ	20	0.14	54.28	75.62	80.56	115.08	98.64	84.84
8	น้ำมันพีช	20	0.11	122.30	79.54	75.04	61.46	102.65	88.20
9	น้ำมันหล่อลื่นชนิดพสมน้ำ	28	0.08	142.78	208.50	134.56	132.95	137.81	151.32
10	น้ำมันพีช	28	0.11	95.66	189.24	82.46	93.84	95.48	131.34
11	น้ำมันหล่อลื่นชนิดพสมน้ำ	36	0.14	452.11	302.50	336.67	368.26	206.21	333.15
12	น้ำมันพีช	36	0.11	200.52	263.10	235.09	200.63	215.36	222.94
13	น้ำมันหล่อลื่นชนิดพสมน้ำ	20	0.08	44.39	49.32	77.29	21.44	27.95	44.08
14	น้ำมันพีช	20	0.14	154.25	142.78	154.28	147.73	142.78	148.36
15	น้ำมันหล่อลื่นชนิดพสมน้ำ	28	0.11	282.77	121.67	185.77	95.48	185.80	174.30
16	น้ำมันพีช	28	0.14	139.78	218.68	200.59	231.83	180.87	194.35
17	น้ำมันหล่อลื่นชนิดพสมน้ำ	36	0.08	156.18	118.37	83.84	138.10	64.12	112.12
18	น้ำมันพีช	36	0.08	141.47	110.15	154.61	75.64	180.91	132.56

ตารางที่ ก.5 ข้อมูลค่าเฉลี่ยความเรียบของผิวงานกลึง(μm)

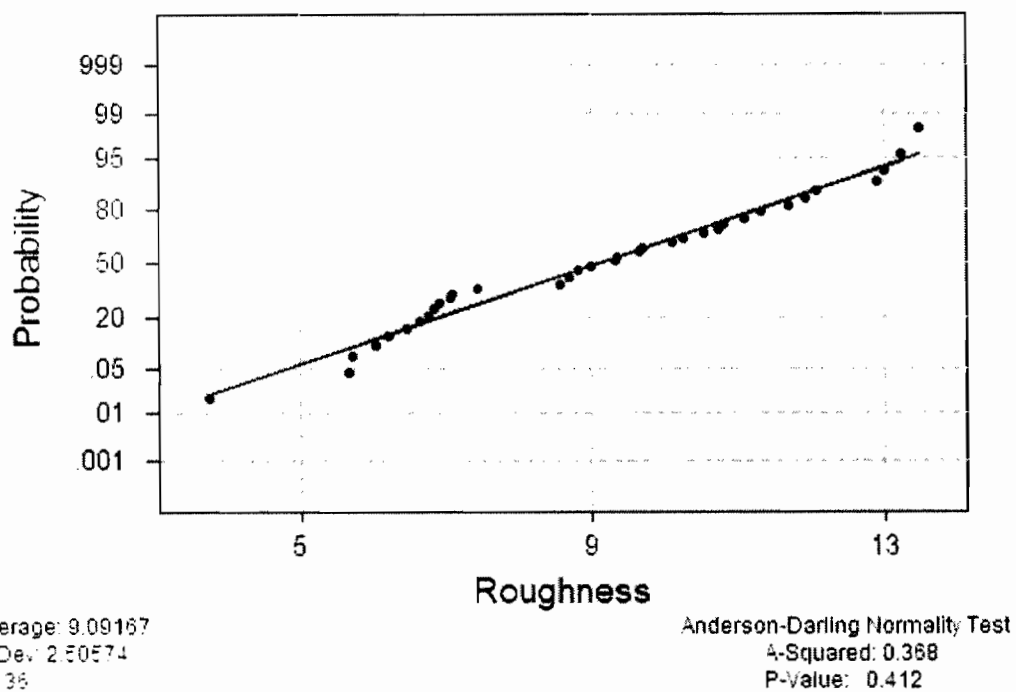
ชนิดของสารหล่อเย็น	ความเร็วตัด (ม/นาที)	อัตราการป้อน (มม./รอบ)		
		0.08	0.11	0.14
น้ำมันหล่อยืนชานิคสมน้ำ	20	6.62	8.69	10.82
		5.56	10.10	11.70
	28	6.90	8.56	13.23
		6.83	10.26	13.00
	36	7.07	7.43	13.47
		6.02	11.92	12.08
น้ำมันพีช	20	7.07	10.53	12.90
		3.74	9.36	11.09
	28	9.33	10.74	11.30
		8.69	8.93	9.65
	36	6.19	6.75	8.81
		5.69	6.44	9.69

ตารางที่ ก.6 ข้อมูลค่าเฉลี่ยความสึกหรือของคอมมิคกลึง (μm)

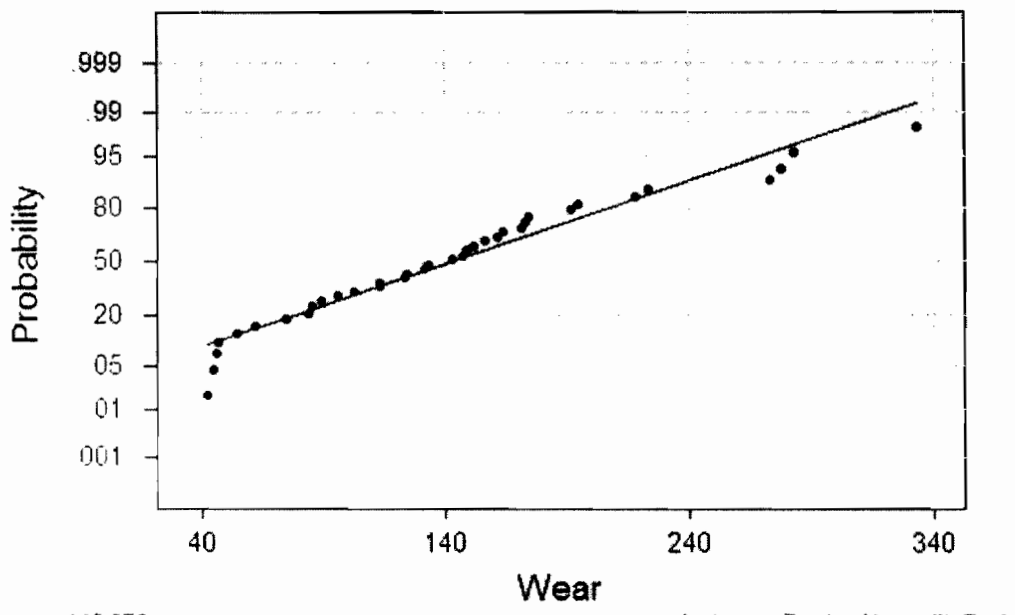
ชนิดของสารหล่อเย็น	ความเร็วตัด (ม/นาที)	อัตราการป้อน (มม./รอบ)		
		0.08	0.11	0.14
น้ำมันหล่อยืนชานิคสมน้ำ	20	45.70	53.27	82.86
		44.80	73.75	84.84
	28	142.77	172.64	218.37
		151.32	174.30	191.41
	36	94.78	147.41	272.90
		112.12	161.78	333.15
น้ำมันพีช	20	41.78	61.54	112.14
		46.12	88.20	148.36
	28	122.65	156.33	163.77
		101.54	131.34	194.35
	36	123.71	171.37	282.80
		132.56	222.94	277.23

## ภาคผนวก ๖.

ตารางวิเคราะห์ผลข้อมูล



รูปที่ ข.1 กราฟแสดงข้อมูลความเรียบของผิวงานกึ่ง  
เป็นการแจกแจงแบบปกติ ค่า P-Value มากกว่า 0.05



รูปที่ ข.2 กราฟแสดงข้อมูลการสึกหรอของมีดกึ่ง  
เป็นการแจกแจงแบบปกติ ค่า P-Value มากกว่า 0.05

ตารางที่ ข.1 แสดงการวิเคราะห์ปัจจัยที่มีอิทธิพลต่อกำลังทางคณิตศาสตร์

Source	Type III Sum of Squares	df	Mean Square	F	Sig.
Corrected Model	193.341(a)	17	11.373	7.750	.000
Intercept	2975.703	1	2975.703	2027.797	.000
สารหล่อเย็น	4.988	1	4.988	3.399	.082
ความเร็วตัด	10.648	2	5.324	3.628	.047
อัตราปื้อน	139.981	2	69.991	47.695	.000
สารหล่อเย็น * ความเร็วตัด	12.442	2	6.221	4.239	.031
สารหล่อเย็น * อัตราปื้อน	6.492	2	3.246	2.212	.138
ความเร็วตัด * อัตราปื้อน	7.273	4	1.818	1.239	.330
สารหล่อเย็น * ความเร็วตัด * อัตราปื้อน	11.518	4	2.879	1.962	.144
Error	26.414	18	1.467		
Total	3195.458	36			
Corrected Total	219.755	35			

a R Squared = .880 (Adjusted R Squared = .766)

ตารางที่ ข.2 ความแตกต่างของระดับความเร็วตัด ที่มีอิทธิพลต่อกำลังทางคณิตศาสตร์ โดยวิธี LSD

(I) ความเร็วตัด	(J) ความเร็วตัด	Mean Difference (I-J)	Std. Error	Sig.	95% Confidence Interval	
					Lower Bound	Upper Bound
20 m/min	28 m/min	-.7683	.49455	.138	-1.8073	.2707
	36 m/min	.5583	.49455	.274	-.4807	1.5973
28 m/min	20 m/min	.7683	.49455	.138	-.2707	1.8073
	36 m/min	1.3267(*)	.49455	.015	.2877	2.3657
36 m/min	20 m/min	-.5583	.49455	.274	-1.5973	.4807
	28 m/min	-1.3267(*)	.49455	.015	-2.3657	-.2877

Based on observed means.

\* The mean difference is significant at the .05 level.

ตารางที่ ข.3 ความแตกต่างของระดับอัตราป้อน ที่มีอิทธิพลต่อความเรียบของผิวงาน โดยวิธี LSD

(I) อัตราป้อน	(J) อัตราป้อน	Mean Difference (I-J)	Std. Error	Sig.	95% Confidence Interval	
					Lower Bound	Upper Bound
0.08 mm/round	0.11 mm/round	-2.4983(*)	.49455	.000	-3.5373	-1.4593
	0.14 mm/round	-4.8292(*)	.49455	.000	-5.8682	-3.7902
0.11 mm/round	0.08 mm/round	2.4983(*)	.49455	.000	1.4593	3.5373
	0.14 mm/round	-2.3308(*)	.49455	.000	-3.3698	-1.2918
0.14 mm/round	0.08 mm/round	4.8292(*)	.49455	.000	3.7902	5.8682
	0.11 mm/round	2.3308(*)	.49455	.000	1.2918	3.3698

Based on observed means.

\* The mean difference is significant at the .05 level.

ตารางที่ ข.4 แสดงการวิเคราะห์ปัจจัยที่มีอิทธิพลต่อการสึกหรอของนีดกลึง

Source	Type III Sum of Squares	df	Mean Square	F	Sig.
Corrected Model	180620.237(a)	17	10624.720	31.377	.000
Intercept	732833.017	1	732833.017	2164.227	.000
สารหล่อเย็น	12.769	1	12.769	.038	.848
ความเร็วตัด	93041.369	2	46520.685	137.386	.000
อัตราป้อน	61483.534	2	30741.767	90.788	.000
สารหล่อเย็น * ความเร็วตัด	4443.637	2	2221.819	6.562	.007
สารหล่อเย็น * อัตราป้อน	228.951	2	114.475	.338	.718
ความเร็วตัด * VAR00004	18093.529	4	4523.382	13.359	.000
สารหล่อเย็น * ความเร็วตัด * อัตราป้อน	3316.448	4	829.112	2.449	.084
Error	6095.014	18	338.612		
Total	919548.267	36			
Corrected Total	186715.250	35			

a R Squared = .967 (Adjusted R Squared = .937)

ตารางที่ ข.5 แสดงความแตกต่างของระดับความเร็วตัด ที่มีอิทธิพลต่อการสึกหรอของมีดกลึง โดยวิธี LSD

(I) ความเร็วตัด	(J) ความเร็ว	Mean Difference (I-J)	Std. Error	Sig.	95% Confidence Interval	
					Lower Bound	Upper Bound
20 m/min	28 m/min	-86.4992(*)	7.51234	.000	-102.2820	-70.7163
	36 m/min	-120.8292(*)	7.51234	.000	-136.6120	-105.0463
28 m/min	20 m/min	86.4992(*)	7.51234	.000	70.7163	102.2820
	36 m/min	-34.3300(*)	7.51234	.000	-50.1128	-18.5472
36 m/min	20 m/min	120.8292(*)	7.51234	.000	105.0463	136.6120
	28 m/min	34.3300(*)	7.51234	.000	18.5472	50.1128

Based on observed means.

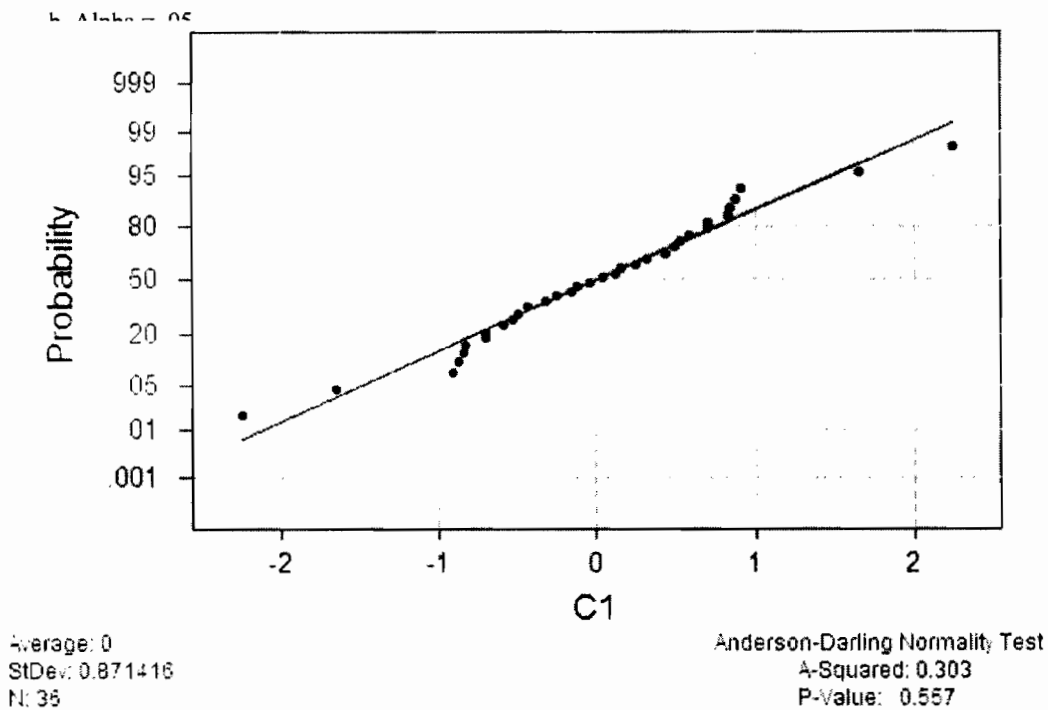
\* The mean difference is significant at the .05 level.

ตารางที่ ข.6 แสดงความแตกต่างของระดับอัตราป้อน ที่มีอิทธิพลต่อการสึกหรอของมีดกลึง โดยวิธี LSD

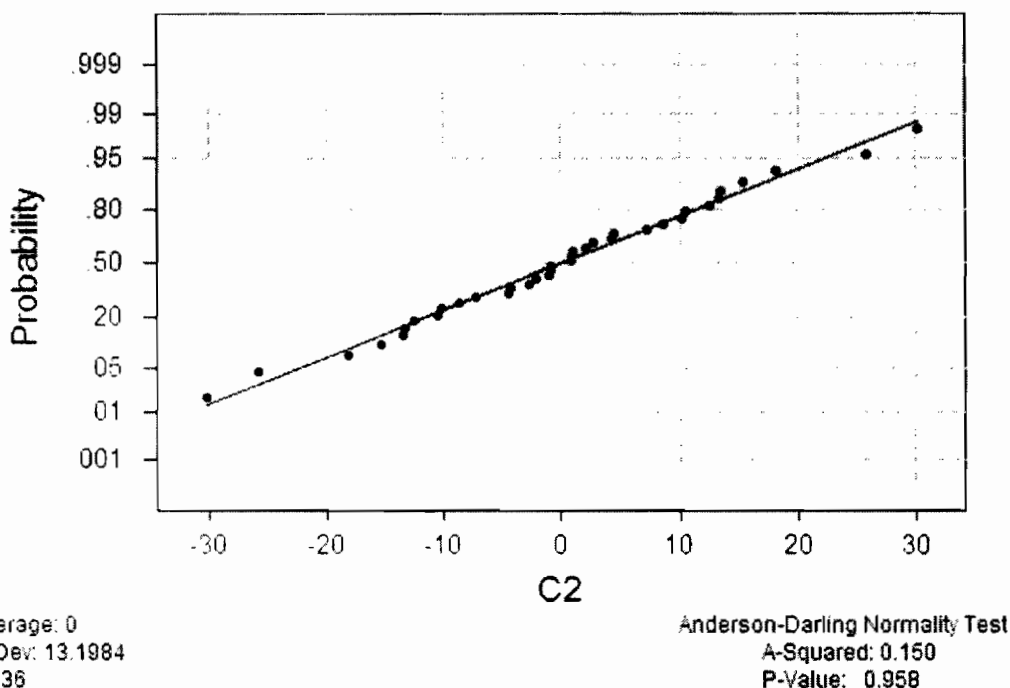
(I) อัตราป้อน	(J) อัตราป้อน	Mean Difference (I-J)	Std. Error	Sig.	95% Confidence Interval	
					Lower Bound	Upper Bound
0.08 mm/round	0.11 mm/round	-37.9917(*)	7.51234	.000	-53.7745	-22.2088
	0.14 mm/round	-100.2542(*)	7.51234	.000	-116.0370	-84.4713
0.11 mm/round	0.08 mm/round	37.9917(*)	7.51234	.000	22.2088	53.7745
	0.14 mm/round	-62.2625(*)	7.51234	.000	-78.0453	-46.4797
0.14 mm/round	0.08 mm/round	100.2542(*)	7.51234	.000	84.4713	116.0370
	0.11 mm/round	62.2625(*)	7.51234	.000	46.4797	78.0453

Based on observed means.

\* The mean difference is significant at the .05 level.

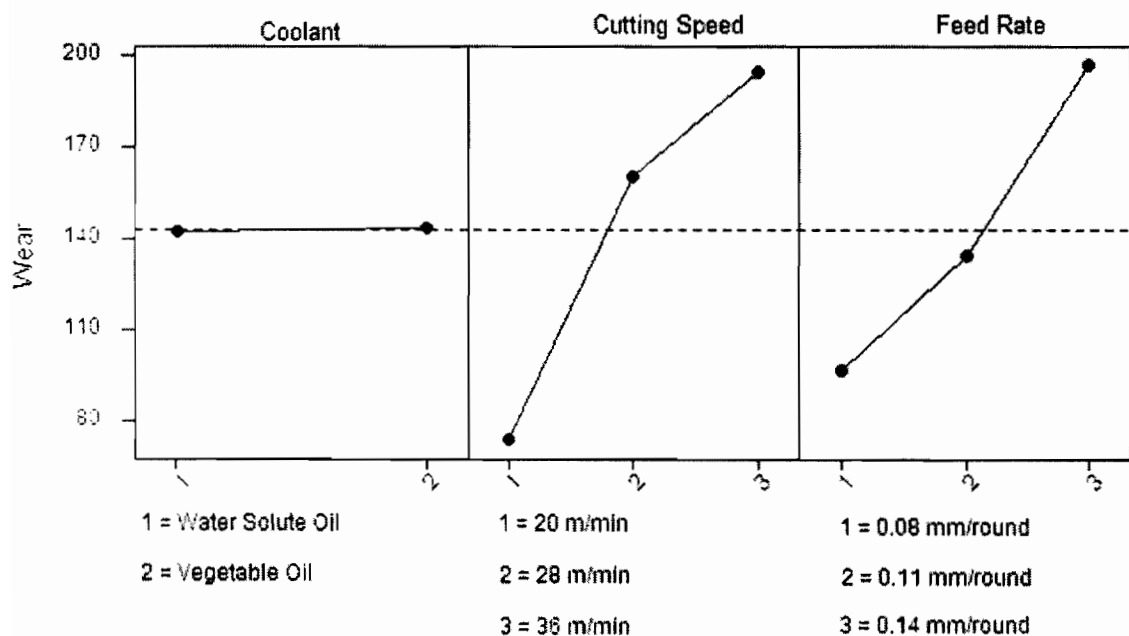


รูปที่ ข.3 กราฟแสดงการแจกแจงปกติ ค่าความคลาดเคลื่อนของ  
ความชุ่มชื้น ค่า P-Value มากกว่า 0.05



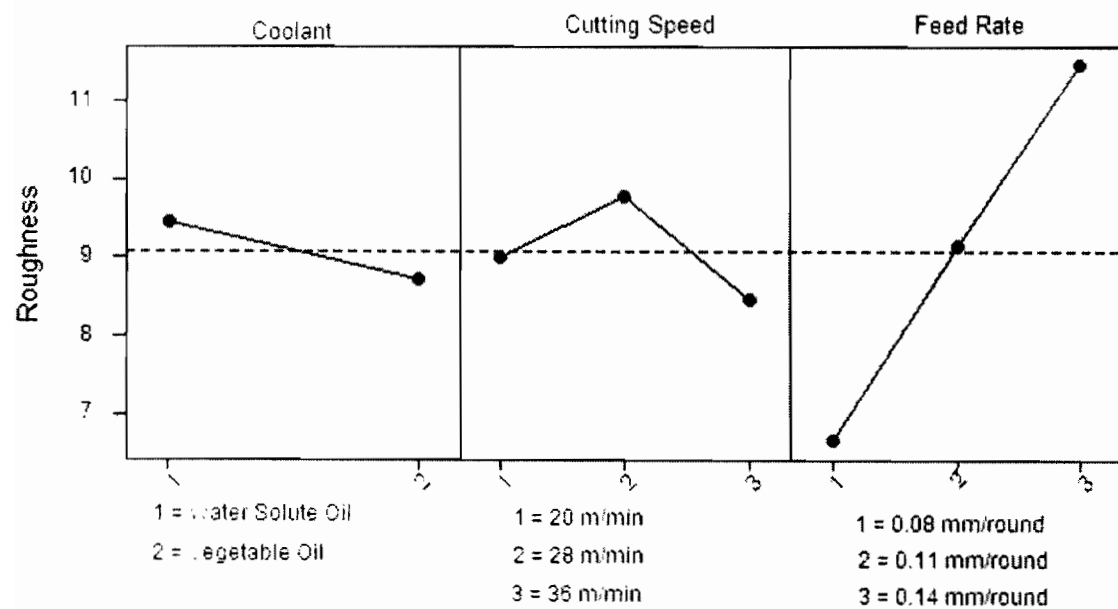
รูปที่ ข.4 กราฟแสดงการแจกแจงข้อมูลแบบปกติ ค่าความคลาดเคลื่อน  
ของการสีกหรอของมีคกึ่ง ค่า P-Value มากกว่า 0.05

Main Effects Plot - LS Means for Wear



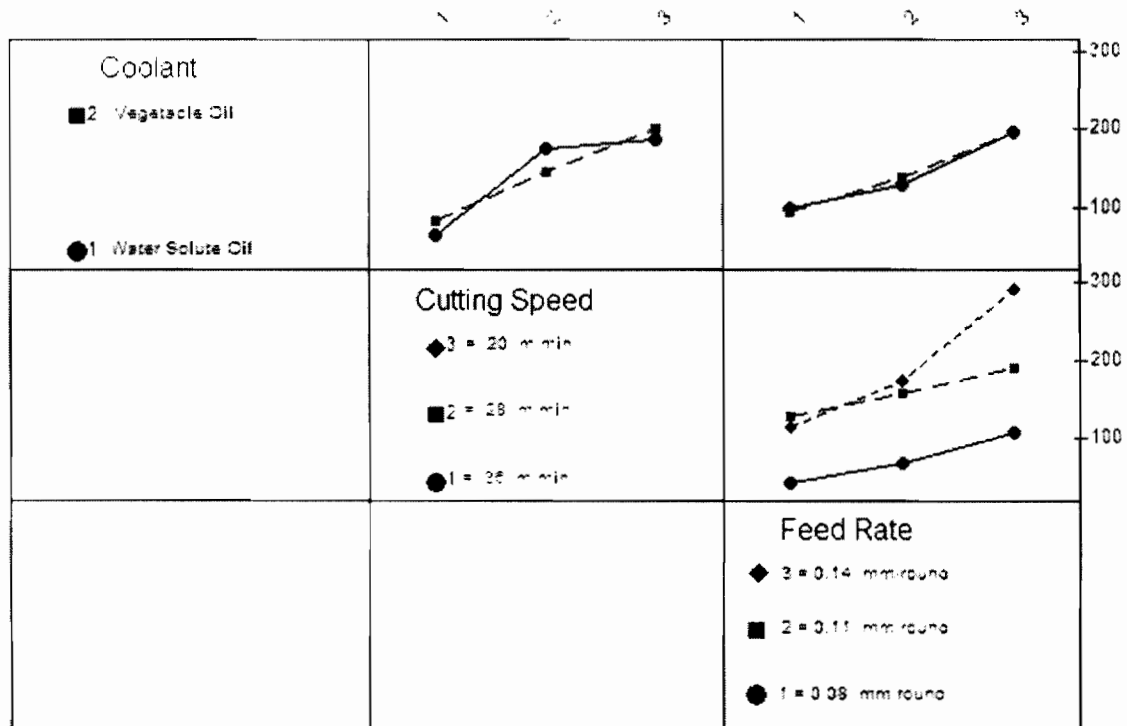
รูปที่ ข.5 แสดงปัจจัยหลัก(Main effect) ที่มีอิทธิพลต่อการสึกหรอของมีดกลึง

Main Effects Plot - LS Means for Roughness



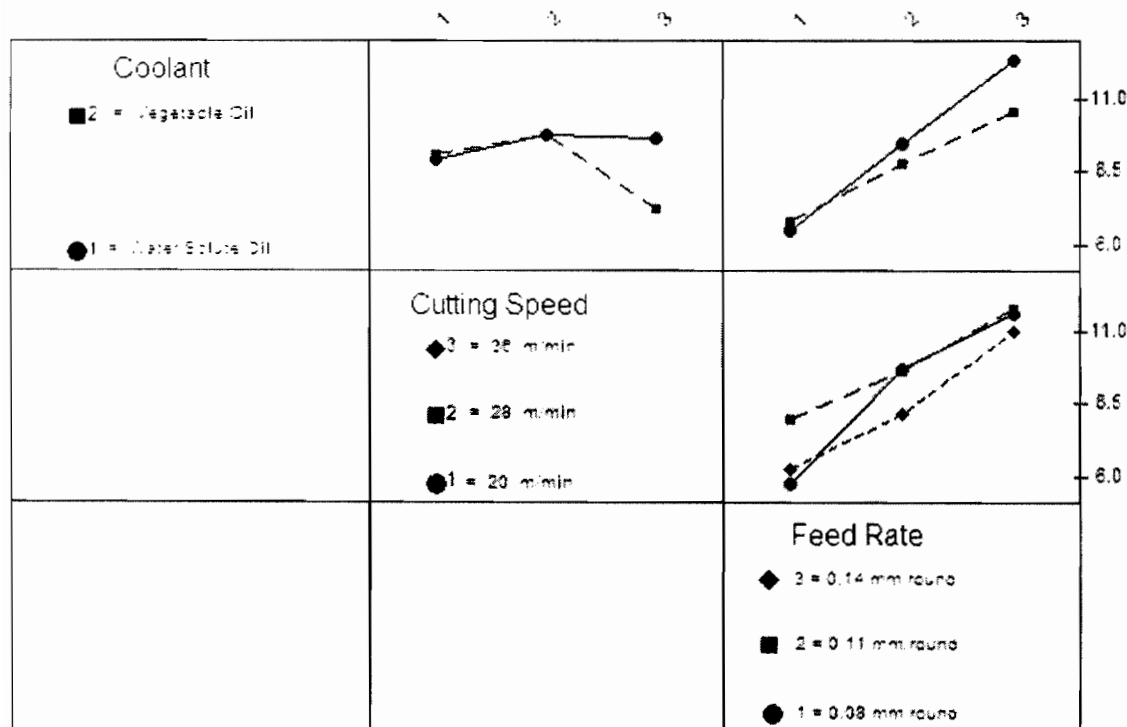
รูปที่ ข.6 แสดงปัจจัยหลัก (Main effect) ที่มีอิทธิพลต่อกลางเรียบของผิวงานกลึง

### Interaction Plot - LS Means for Wear



รูปที่ ข.7 แสดงปัจจัยร่วม (Interaction) ที่มีอิทธิพลต่อการสึกหรอของมีดกลึง

### Interaction Plot - LS Means for Roughness



รูปที่ ข.8 แสดงปัจจัยร่วม (Interaction) ที่มีอิทธิพลต่อความเรียบของผิวงานกลึง

## ผลการวิเคราะห์ข้อมูลด้วยโปรแกรมคอมพิวเตอร์

### Factorial Design

General Factorial Design

Factors: 3      Factor Levels: 2, 3, 3  
 Runs: 36      Replicates: 2

### General Linear Model: Roughness, Wear versus Coolant, Cutting, Feed

Factor	Type	Levels	Values
Coolant	fixed	2 1 2	
Cutting	fixed	3 1 2 3	
Feed	fixed	3 1 2 3	

Analysis of Variance for Roughnes, using Adjusted SS for Tests

Source	DF	Seq SS	Adj SS	Adj MS	F	P
Coolant	1	4.988	4.988	4.988	3.40	0.082
Cutting	2	10.648	10.648	5.324	3.63	0.047
Feed	2	139.981	139.981	69.991	47.70	0.000
Coolant*Cutting	2	12.442	12.442	6.221	4.24	0.031
Coolant*Feed	2	6.492	6.492	3.246	2.21	0.138
Cutting*Feed	4	7.273	7.273	1.818	1.24	0.330
Coolant*Cutting*Feed	4	11.518	11.518	2.879	1.96	0.144
Error	18	26.414	26.414	1.467		
Total	35	219.755				

Unusual Observations for Roughnes

Obs	Roughnes	Fit	SE Fit	Residual	St Resid
17	7.4300	9.6750	0.8566	-2.2450	-2.62R
25	11.9200	9.6750	0.8566	2.2450	2.62R

R denotes an observation with a large standardized residual.

Analysis of Variance for Wear, using Adjusted SS for Tests

Source	DF	Seq SS	Adj SS	Adj MS	F	P
Coolant	1	13	13	13	0.04	0.849
Cutting	2	93063	93063	46532	137.52	0.000
Feed	2	61486	61486	30743	90.86	0.000
Coolant*Cutting	2	4441	4441	2220	6.56	0.007
Coolant*Feed	2	228	228	114	0.34	0.719
Cutting*Feed	4	18092	18092	4523	13.37	0.000
Coolant*Cutting*Feed	4	3319	3319	830	2.45	0.083
Error	18	6091	6091	338		
Total	35	186733				

Unusual Observations for Wear

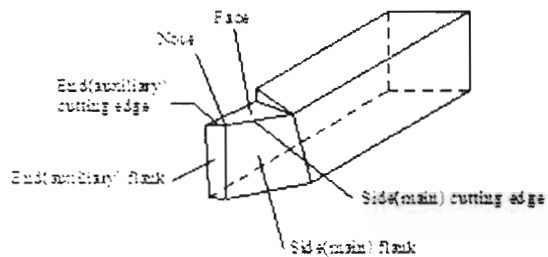
Obs	Wear	Fit	SE Fit	Residual	St Resid
14	272.900	303.025	13.007	-30.125	-2.32R
34	333.150	303.025	13.007	30.125	2.32R

R denotes an observation with a large standardized residual.

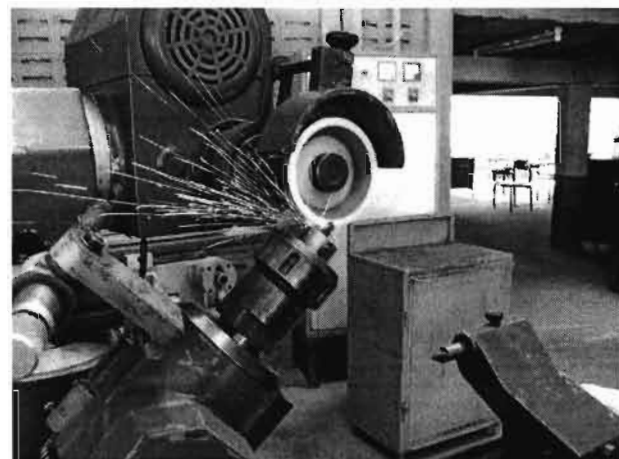
#### Least Squares Means

	.. Roughnes ..		.... Wear ....	
	Mean	SE Mean	Mean	SE Mean
Coolant				
1	9.464	0.2855	142.081	4.3357
2	8.719	0.2855	143.263	4.3357
Cutting				
1	9.022	0.3497	73.553	5.3102
2	9.790	0.3497	160.066	5.3102
3	8.463	0.3497	194.396	5.3102
Feed				
1	6.649	0.3497	96.594	5.3102
2	9.148	0.3497	134.573	5.3102
3	11.478	0.3497	196.848	5.3102
Coolant*Cutting				
1 1	8.930	0.4945	64.083	7.5097
1 2	9.797	0.4945	175.135	7.5097
1 3	9.665	0.4945	187.023	7.5097
2 1	9.113	0.4945	83.023	7.5097
2 2	9.783	0.4945	144.997	7.5097
2 3	7.262	0.4945	201.768	7.5097
Coolant*Feed				
1 1	6.515	0.4945	98.462	7.5097
1 2	9.493	0.4945	130.525	7.5097
1 3	12.383	0.4945	197.255	7.5097
2 1	6.783	0.4945	94.727	7.5097
2 2	8.802	0.4945	138.620	7.5097
2 3	10.573	0.4945	196.442	7.5097
Cutting*Feed				
1 1	5.768	0.6057	44.420	9.1975
1 2	9.670	0.6057	69.190	9.1975
1 3	11.628	0.6057	107.050	9.1975
2 1	7.938	0.6057	129.570	9.1975
2 2	9.638	0.6057	158.653	9.1975
2 3	11.795	0.6057	191.975	9.1975
3 1	6.243	0.6057	115.793	9.1975
3 2	8.135	0.6057	175.875	9.1975
3 3	11.012	0.6057	291.520	9.1975
Coolant*Cutting*Feed				
1 1 1	6.135	0.8566	44.890	13.0072
1 1 2	9.395	0.8566	63.510	13.0072
1 1 3	11.260	0.8566	83.850	13.0072
1 2 1	6.865	0.8566	147.045	13.0072
1 2 2	9.410	0.8566	173.470	13.0072
1 2 3	13.115	0.8566	204.890	13.0072
1 3 1	6.545	0.8566	103.450	13.0072
1 3 2	9.675	0.8566	154.595	13.0072
1 3 3	12.775	0.8566	303.025	13.0072
2 1 1	5.400	0.8566	43.950	13.0072
2 1 2	9.945	0.8566	74.870	13.0072
2 1 3	11.995	0.8566	130.250	13.0072
2 2 1	9.010	0.8566	112.095	13.0072
2 2 2	9.865	0.8566	143.835	13.0072
2 2 3	10.475	0.8566	179.060	13.0072
2 3 1	5.940	0.8566	128.135	13.0072
2 3 2	6.595	0.8566	197.155	13.0072
2 3 3	9.250	0.8566	280.015	13.0072

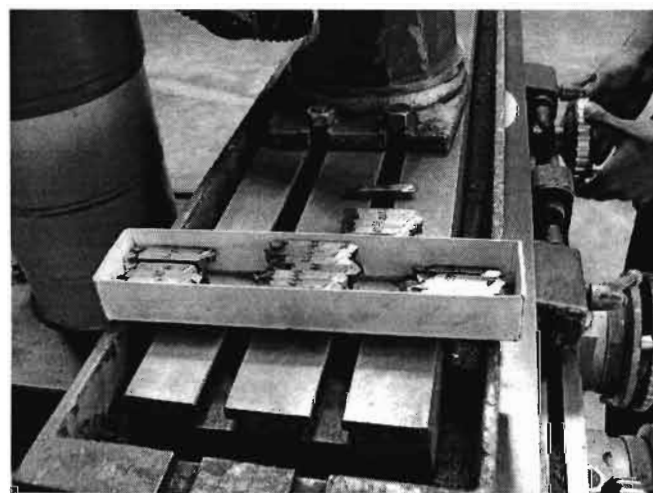
**ภาคผนวก ค.**  
ภาพประกอบขั้นตอนในการดำเนินงานวิจัย



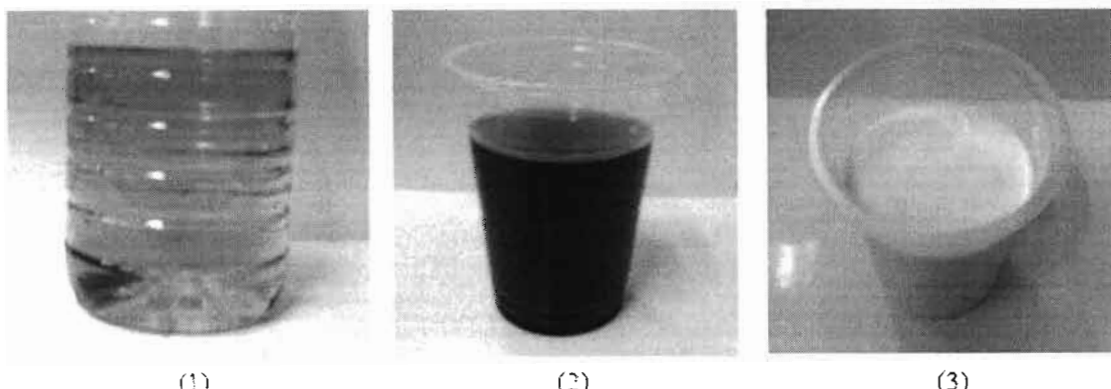
รูปที่ ค.1 ลับมีดกลึง HSS ให้ได้มุมดังนี้ มุมฟรีด้านข้าง(Side Relieve Angle,  $\alpha$ ) 8 องศา, มุมลิ่ม (Wedge Angle,  $\beta$ ) 70 องศา, มุมคายเศษโลหะ 12 องศา และมุมฟรีด้านหน้า (End flank) 8 องศา



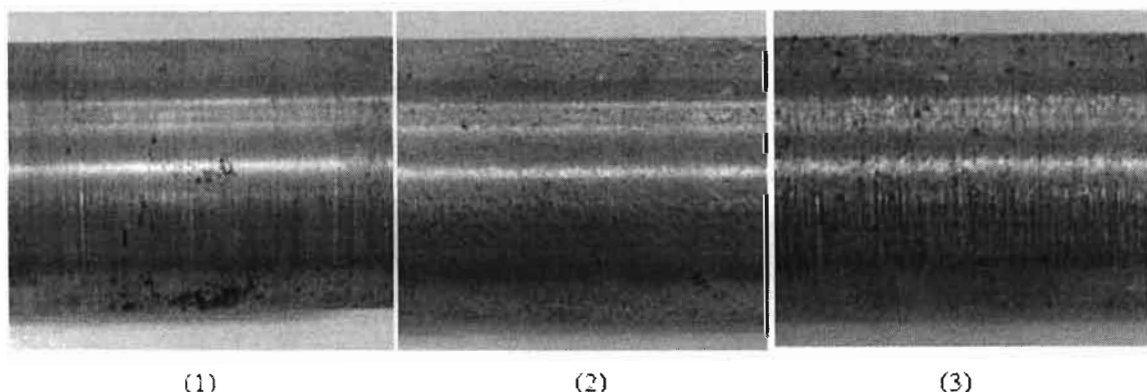
รูปที่ ค.2 การลับมีดกลึงให้ได้มุมตามที่กำหนดไว้ในการทดลอง



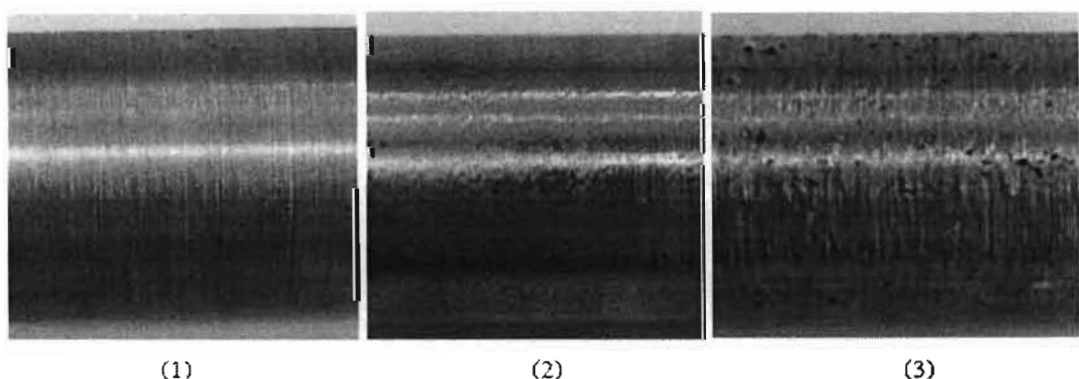
รูปที่ ค.3 มีดกลึงที่ลับเสร็จแล้ว



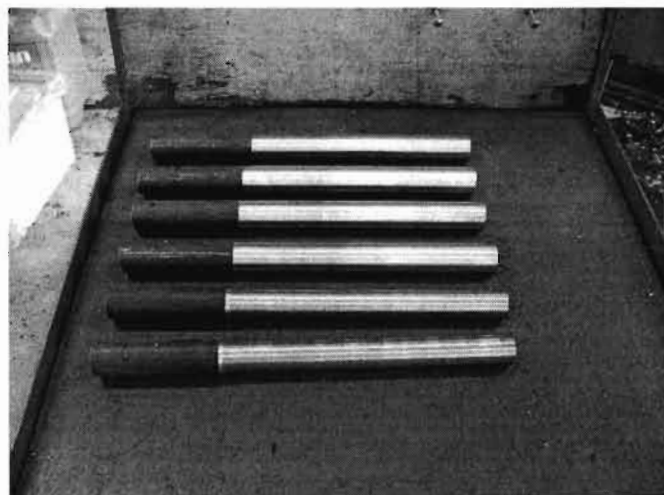
รูปที่ ค.4 สารหล่อเย็นที่ใช้ในการทดลอง (1) น้ำมันพีช, (2) น้ำมันหล่อเย็น และ น้ำมันหล่อเย็นผสมกับน้ำสะอาดในอัตราส่วน 1:20



รูปที่ ค.5 ผิวของชิ้นงานจากการทดลองเบื้องต้น (1)  $V = 40 \text{ m/min}$ ,  $F = 0.1 \text{ mm/round}$   
 (2)  $V = 40 \text{ m/min}$ ,  $F = 0.2 \text{ mm/round}$ ,  $V = 40 \text{ m/min}$ ,  $F = 0.3 \text{ mm/round}$   
 ป้อนลีก 1 มม. หล่อเย็นด้วยน้ำมันหล่อเย็นชนิดผสมน้ำ



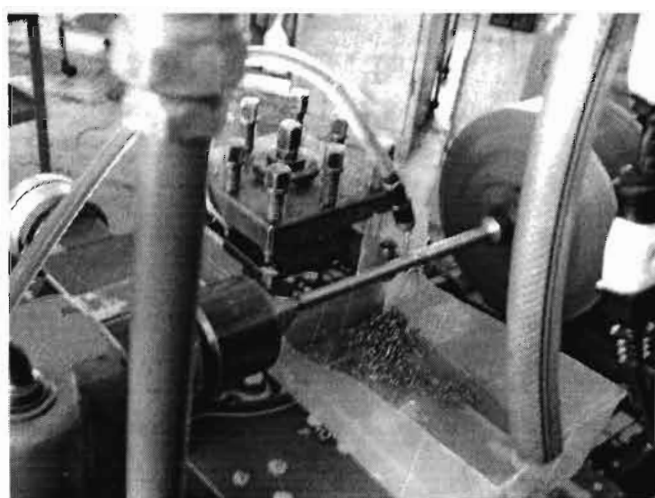
รูปที่ ค.6 ผิวของชิ้นงานจากการทดลองเบื้องต้น (1)  $V = 40 \text{ m/min}$ ,  $F = 0.1 \text{ mm/round}$   
 (2)  $V = 40 \text{ m/min}$ ,  $F = 0.2 \text{ mm/round}$ ,  $V = 40 \text{ m/min}$ ,  $F = 0.3 \text{ mm/round}$   
 ป้อนลีก 1 มม. หล่อเย็นด้วยน้ำมันพีช



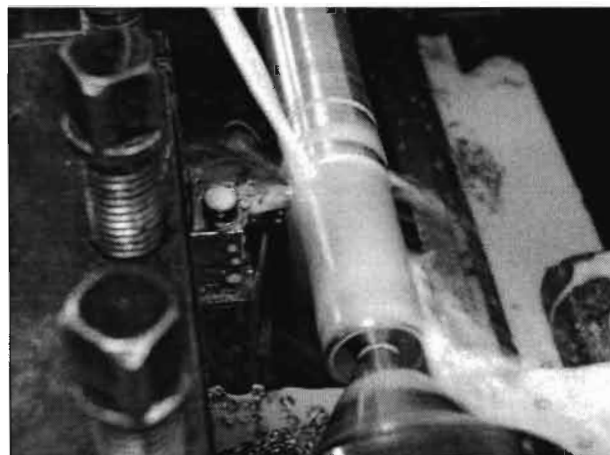
รูปที่ ก.7 ชิ้นงานที่ถูกเตรียมไว้สำหรับการทดลอง



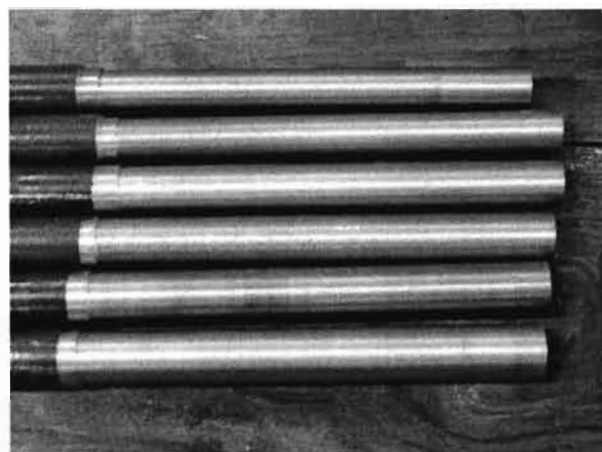
รูปที่ ก.8 ตัวระบบมีดกลึงโดยใช้ Filler gauge สำหรับการป้อนลึก 1 มม.



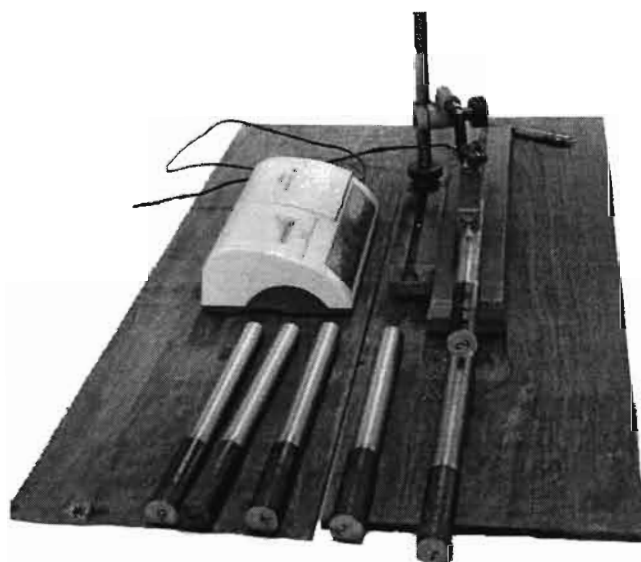
รูปที่ ก.9 การกลึงงานเมื่อหล่อเย็นด้วยน้ำมันพืช



รูปที่ ค.10 การกลึงงานเมื่อหล่อล้อเย็นคัวบันน้ำมันหล่อเย็นชนิดผสมน้ำ



รูปที่ ค.11 ชิ้นงานที่ถูกกลึงตามเงื่อนไขการทดลองแล้ว



รูปที่ ค.12 เตรียมวัดความเรียบผิวชิ้นงาน



รูปที่ ค.13 ลักษณะของแผ่นเทียบพิวามาตรฐานขนาด  $Ra = 2.95 \mu\text{m}$ .



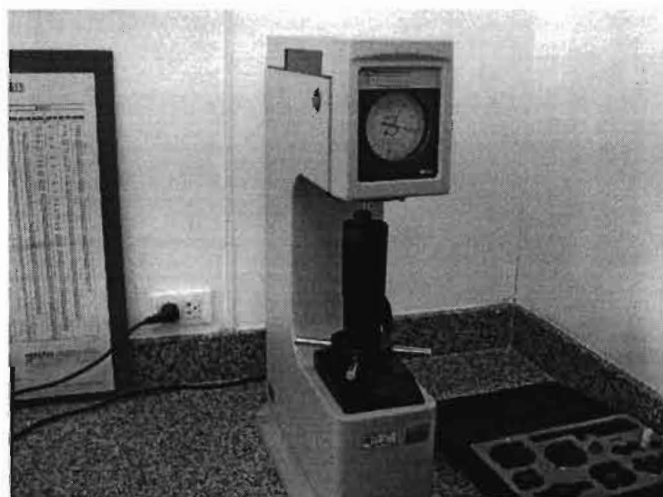
รูปที่ ค.14 การปรับเทียบเครื่องวัดค่าความเรียบของพื้นผิวกับแผ่นมาตรฐาน



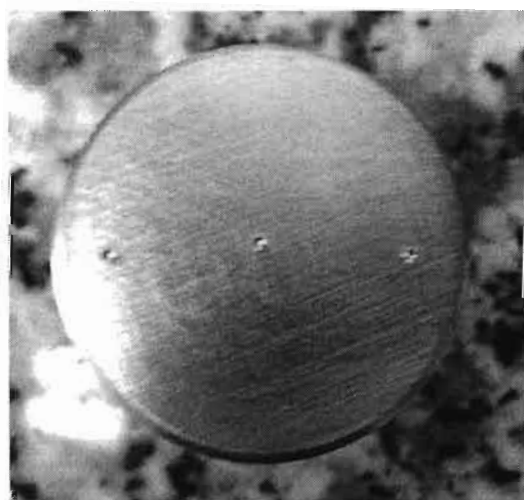
รูปที่ ค.15 วัดค่าความเรียบของพื้นผิวงานกลึงที่ทำเหมือนแรก



รูปที่ ค.16 วัดค่าความเรียบของพื้นผิวงานกลึงที่ตัดແแนงที่สอง



รูปที่ ค.17 เครื่องทดสอบความแข็งแบบ Rockwell scale C



รูปที่ ค.18 ทดสอบหาค่าความแข็งของชิ้นงานมีความแข็งที่  $27\text{--}30 \text{ HR}_C$



รูปที่ ค.19 ทดสอบหาค่าความแข็งของมีดกลึง ทดสอบได้  $58-62 \text{ HR}_c$



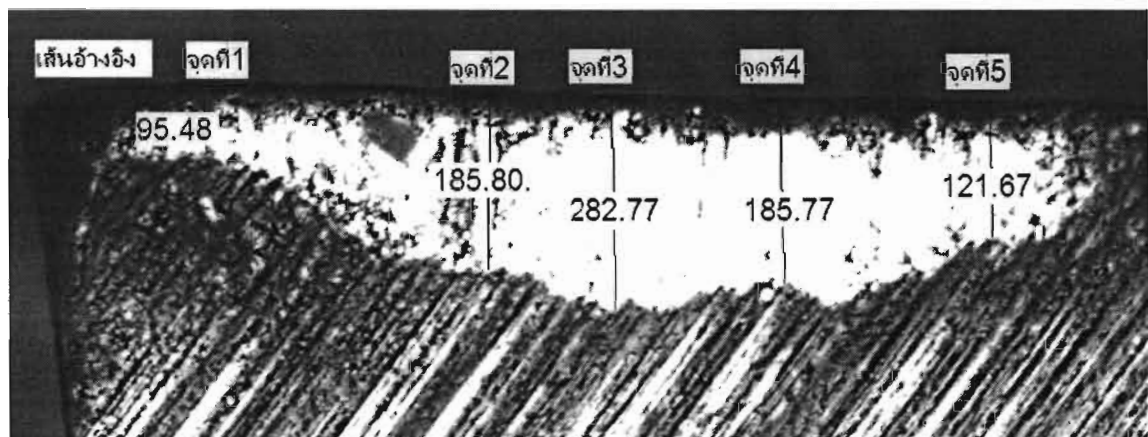
รูปที่ ค.20 เครื่องทดสอบหาค่าส่วนผสมของชิ้นงาน



รูปที่ ค.21 ชิ้นงานมีส่วนผสมประกอบด้วย  $\text{Fe} = 97.3329 \%$ ,  $\text{S} = 0.011 \%$ ,  $\text{C} = 0.396 \%$ ,  
 $\text{Cr} = 0.915 \%$ ,  $\text{Si} = 0.215 \%$ ,  $\text{Ni} = 0.120 \%$ ,  $\text{Sn} = 0.011 \%$ ,  $\text{Mn} = 0.634 \%$ ,  
 $\text{Mo} = 0.157 \%$ ,  $\text{Al} = 0.019 \%$ ,  $\text{Cu} = 0.167 \%$  และ  $\text{อิน}_{\text{ๆ}} = 0.0221 \%$



รูปที่ ก.22 เครื่องวัดค่าการสึกหรอของมีดกลึง



รูปที่ ก.23 การสึกหรอของมีดกลึง และตัวແเน่งการวัดความลึกการสึกหรอคอมมีดกลึง

## ประวัติผู้วิจัย

ชื่อ – สกุล

นายปัญญาคม เจริญไชย

วัน เดือน ปีเกิด

6 มิถุนายน 2502

### **ประวัติการศึกษา**

ระดับมัธยมศึกษา

มัธยมศึกษาตอนต้น

โรงเรียนสว่างศึกษา อ.สว่างแคนดิน จ.สกลนคร พ.ศ. 2518

ระดับอาชีวศึกษา

ประกาศนียบัตรวิชาชีพ สาขาวิชาช่างกลโรงงาน

วิทยาลัยเทคโนโลยีและอาชีวศึกษา วิทยาเขตขอนแก่น พ.ศ. 2521

ประกาศนียบัตรวิชาชีพชั้นสูง สาขาวิชาช่างกลโรงงาน

วิทยาลัยเทคโนโลยีและอาชีวศึกษา วิทยาเขตขอนแก่น พ.ศ. 2523

ระดับปริญญาตรี

ครุศาสตร์อุดสาหกรรมบัณฑิต สาขาวิชาเครื่องมือกล

วิทยาลัยเทคโนโลยีและอาชีวศึกษา วิทยาเขตเทเวศร์ พ.ศ. 2525

ระดับปริญญาโท

ครุศาสตร์อุดสาหกรรมมหาบัณฑิต

สาขาวิชาศิวกรรมอุตสาหการ

มหาวิทยาลัยเทคโนโลยีพระจอมเกล้าธนบุรี พ.ศ. 2549

ประวัติการทำงาน

อาจารย์ประจำแผนกวิชาช่างกลโรงงาน

วิทยาลัยเทคนิคสกลนคร พ.ศ. 2526 - ปัจจุบัน

มหาวิทยาลัยเทคโนโลยีพระจอมเกล้าธนบุรี  
ข้อตกลงว่าด้วยการโอนสิทธิ์วิทยานิพนธ์

วันที่ 13 มิถุนายน 2550

ข้าพเจ้า นายปัญญาคม เจริญ ไชย รหัสประจำตัว 48480213 เป็นนักศึกษาของมหาวิทยาลัยเทคโนโลยีพระจอมเกล้าธนบุรี ระดับปริญญาโท หลักสูตรครุศาสตร์อุดสาหกรรมมหาบัณฑิต สาขาวิศวกรรมอุตสาหการ คณะครุศาสตร์อุดสาหกรรมและเทคโนโลยี อยู่บ้านเลขที่ 219/33 ถนนนิตไชย ตำบลราษฎรเชิงชุม อำเภอเมือง จังหวัดสกลนคร รหัสไปรษณีย์ 47000 ขอโอนสิทธิ์วิทยานิพนธ์ให้ไว้กับมหาวิทยาลัยเทคโนโลยีพระจอมเกล้าธนบุรี โดยมี รศ.ดร.สักดิ์ กองสุวรรณ ตำแหน่งคณบดีคณะครุศาสตร์อุดสาหกรรมและเทคโนโลยี เป็นผู้รับโอนสิทธิ์และมีข้อตกลงดังนี้

1. ข้าพเจ้าได้ข้อตกลงว่าด้วยการทำวิทยานิพนธ์เรื่อง การศึกษาปัจจัยที่ส่งผลต่อความเรียบผิวและการสึกหรอของมีดกลึงในการล้างเหล็กเครื่องมือ ซึ่งอยู่ในความควบคุมของ พศ. ดร. สิทธิชัย แก้วเกื้อกูล และ พศ.คอมสัน จิระวัฒน์ศิลป ตามมาตรา 14 แห่ง พ.ร.บ.สิทธิ์ พ.ศ.2537 และถือว่าเป็นส่วนหนึ่งของการศึกษาตามหลักสูตรของมหาวิทยาลัยเทคโนโลยีพระจอมเกล้าธนบุรี

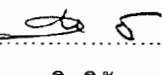
2. ข้าพเจ้าตกลงโอนสิทธิ์จากผลงานทั้งหมดที่เกิดขึ้น จากการสร้างสรรค์ของข้าพเจ้าในวิทยานิพนธ์ ให้ทางมหาวิทยาลัยเทคโนโลยีพระจอมเกล้าธนบุรี ตลอดอายุแห่งการคุ้มครองสิทธิ์ตามมาตรา 23 แห่งพระราชบัญญัติสิทธิ์ พ.ศ.2537 ตั้งแต่วันที่ได้รับอนุญาตโครงร่างวิทยานิพนธ์จากมหาวิทยาลัย

3. ในกรณีที่ข้าพเจ้าประสงค์จะนำวิทยานิพนธ์ไปใช้ในการเผยแพร่ในสื่อใดๆ ก็ตาม ข้าพเจ้าจะต้องระบุว่าวิทยานิพนธ์เป็นผลงานของมหาวิทยาลัยเทคโนโลยีพระจอมเกล้าธนบุรี ทุกๆ ครั้งที่มีการเผยแพร่

4. ในกรณีที่ข้าพเจ้าประสงค์จะนำวิทยานิพนธ์ไปเผยแพร่ หรืออนุญาตให้ผู้อื่นทำซ้ำหรือดัดแปลงหรือเผยแพร่ต่อสาธารณะ หรือกระทำการอื่นใดตามมาตรา 27, มาตรา 28, มาตรา 29 และมาตรา 30 แห่งพระราชบัญญัติสิทธิ์ พ.ศ.2537 โดยมีค่าตอบแทนในเชิงธุรกิจ ข้าพเจ้าจะกระทำได้เมื่อได้รับความยินยอมเป็นลายลักษณ์อักษรจากมหาวิทยาลัยเทคโนโลยีพระจอมเกล้าธนบุรี

ลงชื่อ.....  ผู้โอนสิทธิ์  
(นายปัญญาคม เจริญ ไชย)

ลงชื่อ.....  ผู้รับโอนสิทธิ์  
(รศ.ดร.สักดิ์ กองสุวรรณ)

ลงชื่อ.....  พยาน  
(พศ. ดร. สิทธิชัย แก้วเกื้อกูล)

ลงชื่อ.....  พยาน  
(พศ.คอมสัน จิระวัฒน์ศิลป)